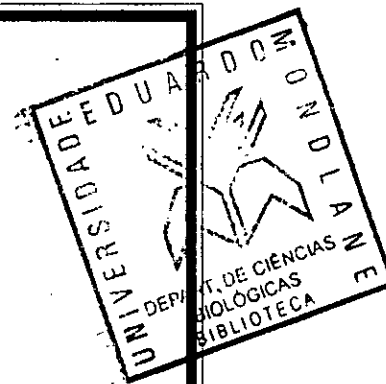


B10-199

ESSR.
DR. ALMEIDA

Universidade Eduardo Mondlane
Faculdade de Ciências
Departamento de Ciências Biológicas



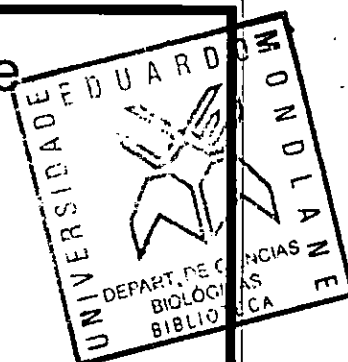
TRABALHO DE LICENCIATURA

**Efeitos do Esgoto Urbano nos Macrobentos
e Fauna Visitante do Mangal da Costa do Sol,
em Comparação com o Mangal da Ponta
Rasa e Mangal do Saco: um Estudo
Isotópico Duplo**



Autora: Ana Alexandra Araújo do Rosário

Universidade Eduardo Mondlane
Faculdade de Ciências
Departamento de Ciências Biológicas



TRABALHO DE LICENCIATURA

Efeitos do Esgoto Urbano nos Macrobentos e Fauna Visitante do Mangal da Costa do Sol, em Comparação com o Mangal da Ponta Rasa e Mangal do Saco: um Estudo Isotópico Duplo

Autora: Ana Alexandra Araújo do Rosário

Supervisor: Dr. Adriano Macia

Maputo, Janeiro de 2006

AGRADECIMENTOS

Agradeço ao Projecto PUMPSEA pela oportunidade de efectuar o presente trabalho e por ter financiado a maior parte do mesmo. Obrigada a todos os membros deste Projecto que de alguma maneira me apoiaram, destacando o Gil Penha-Lopes.

Ao Dr. Adriano Macia, o meu profundo agradecimento por me ter cedido um tema e pelos momentos de apoio moral e técnico, troca de ideias e esclarecimento de dúvidas, mesmo fora de horas.

À dra. Daniela Abreu, obrigada pela ajuda técnica, por toda a amizade, carinho e apoio moral durante os meses de trabalho. Ao Carlos Litulo, obrigada pelo apoio técnico e moral nos momentos difíceis e na corrida contra o tempo.

Obrigada, à Dra. Aidate Mussagy pela disponibilização de algum material em falta para a realização do trabalho, ao Dr. Salomão Bandeira e a dra. Alice, obrigada pela ajuda na identificação das espécies botânicas. À dra. Cristina Beatriz pelas frases de apoio moral durante os intervalos do infundável trabalho laboratorial.

Obrigada ao Germano pelo apoio e companhia durante o trabalho e, ao Estação Nhaca, trabalhadores da Estação de Biologia Marinha e rapazes da Ilha da Inhaca, pelo apoio técnico e facilitação do trabalho durante a amostragem. Obrigada à Tânia Jamisse e outros colegas pelo apoio e companhia durante a estadia na Inhaca. Ao dr. Maurício Lipassula e Sabina Manhinque, pelo apoio técnico, disponibilização de material e companhia durante o trabalho laboratorial, obrigada.

Ao Dr. Steven Bouillon pelo material e tempo disponibilizado e todo o apoio moral e técnico, à Perrine Mangion por me ter confiado a sua casa e por todo o apoio moral e técnico ao longo do trabalho e, à Isabel Martinho e família pelo carinho durante a difícil estadia em Bruxelas.

As minhas colegas e amigas Bia, Tida e Susi pelo apoio técnico e moral e companhia no laboratório ao longo deste trabalho, mas, acima de tudo pela cumplicidade, amizade e carinho ao longo do curso. À Mónica Pais e ao Ruca, obrigada pelo apoio técnico e moral. A todos os amigos ou colegas que de alguma forma me ajudaram durante o trabalho.

Finalmente, o meu profundo agradecimento ao Sheiss Nabi, por todo o amor e carinho, pelo apoio e por me fazer acreditar que conseguiria acabar o trabalho apesar das várias dificuldades encontradas ao longo do mesmo e, aos meus pais, Maria de Lurdes Araújo e Mário do Rosário, e irmão Nuno do Rosário, por toda a compreensão, carinho e apoio.

Ana Alexandra Araújo do Rosário

DECLARAÇÃO DE HONRA

Declaro por minha honra que o presente trabalho foi por mim realizado e que a informação nele contida apenas reflecte a realidade.

Maputo, Janeiro de 2006

Ana do Rosário

DEDICATÓRIA

Dedico este trabalho aos meus pais, **Maria de Lurdes Araújo (Milú)** e **Mário António do Rosário (Joca)**, que me apoiaram carinhosamente durante a vida toda e que sempre acreditaram em mim.

RESUMO

Nos meses de Setembro e Outubro de 2005, foram efectuadas amostragens no mangal poluído da Costa do Sol (áreas CSA1 e CSA2) (cidade de Maputo) e nos mangais não poluídos da Ponta Rasa e do Saco (ambos na Ilha da Inhaca). As amostras colectadas foram usadas para um estudo duplo de isótopos estaveis (efectuado numa universidade belga) para comparar os efeitos das descargas de esgoto no mangal e do uso dos mangais como latrina nas $\delta^{13}\text{C}$ e $\delta^{15}\text{N}$ das comunidades macrobentónicas, da fauna visitante e das prováveis fontes de carbono e nitrogénio (sedimento, matéria orgânica particulada em suspensão e material vegetal). Foram também comparadas as possíveis fontes para cada espécie em cada mangal e estimado o nível trófico apenas com base na $\delta^{15}\text{N}$ das espécies encontradas.

As razões isotópicas de nitrogénio dos mangais poluídos e dos não poluídos em relação às espécies faunísticas e às prováveis fontes apresentaram-se, no geral, diferentes. No entanto, as diferenças entre as razões isotópicas de carbono dos dois tipos de mangal foram menos evidentes que entre as de nitrogénio, contudo, as espécies faunísticas apresentaram diferenças entre pelo menos uma área poluída e uma não poluída.

Não tendo sido possível identificar as fontes de C e N para a fauna visitante dos mangais poluídos, não foi efectuada uma comparação em relação às prováveis fontes, entre os mangais poluídos e os não poluídos. As prováveis fontes de carbono e nitrogénio das espécies comuns aos dois tipos de mangal, mostraram-se diferentes para as espécies *P.catenata* e *U.annulipes* e *C.decollata*. A quantidade de prováveis fontes de C e N contribuidoras para a dieta de *N. meinerti* e *P.guttatum*, foram diferentes entre os mangais poluídos e os não poluídos. As espécies, comuns aos dois tipos de mangal, aparentaram pertencer ao mesmo nível trófico em todos os mangais, tendo somente como base a $\delta^{15}\text{N}$.

LISTA DE ABREVIATURAS

- A.natalensis* – *Ambassis natalensis*
A.marina – *Avicennia marina*
B.gymnorrhiza – *Bruguiera gymnorrhiza*
C.decollata – *Cerithidea decollata*
C.diffusa – *Chenolea diffusa*
C.tagal – *Ceriops tagal*
L.argentimaculatus – *Lutjanus argentimaculatus*
L.scabra – *Littoraria scabra*
L.richardsonii – *Liza richardsonii*
M.depressus – *Macrophtalmus depressus*
N.meinerti – *Neosarmatium meinerti*
P.catenata – *Paresesarma cateanta*
P.guttatum – *Perisesarma guttatum*
P.indicus – *Penaeus indicus*
R.fecunda – *Ramalina fecunda*
R.mucronata – *Rhizophora mucronata*
S.portulacastrum – *Sesuvium portulacastrum*
T.jarbua – *Terapon jarbua*
U.annulipes – *Uca annulipes*
U. inversa – *Uca inversa*

C – Carbono

CSA1 – Costa do Sol Área 1

CSA2 – Costa do Sol Área 2

EBM – Estação de Biologia Marinha

IRMS – Isotope Ratio Mass Spectrometer (espectrómetro de massa de razão isotópica).

MOPS – Matéria orgânica particulada em suspensão

N – Nitrogénio

^{13}C – Isótopo estável pesado de carbono

^{15}N – Isótopo estável pesado de nitrogénio

$\delta^{13}\text{C}$ – Razão isotópica de carbono

$\delta^{15}\text{N}$ – Razão isotópica de nitrogénio

LISTA DE FIGURAS E TABELAS

Figura 1: Representação geral da Baía de Maputo

Figura 2: Localização do mangal da Costa do Sol

Figura 3: Localização do mangal da Ponta Rasa, na Ilha da Inhaca

Figura 4: Localização do mangal do Saco, na Ilha da Inhaca

Tabela 1: Interpretação dos gráficos AI-13, AI-14, AI-15 e AI-16 (no anexo I), relativos aos possíveis níveis tróficos, classificados como baixo, intermédio e alto, das espécies por área.

Tabela 2: Resumo das possíveis fontes, de carbono e nitrogénio, encontradas através da leitura dos gráficos de $\delta^{13}\text{C}$ por $\delta^{15}\text{N}$ para cada espécie e em cada área.

ÍNDICE

1. INTRODUÇÃO	1
1.1. OBJECTIVOS	5
1.1.1. <i>Objectivo Geral</i>	5
1.1.2. <i>Objectivos específicos</i>	5
1.2. HIPÓTESES	5
2. METODOLOGIA	6
2.1. DESCRIÇÃO DA ÁREA DE ESTUDO.....	6
2.1.1. <i>Mangal da Costa do Sol (com descarga)</i>	6
2.1.2. <i>Mangal da Ponta Rasa da Inhaca (sem descarga)</i>	7
2.1.3. <i>Mangal do Saco da Inhaca (sem descarga)</i>	9
2.2. COLECTA DE MATERIAL NO CAMPO.....	12
2.2.1. <i>Sedimento, folhas de mangal, halófitas e matéria orgânica particulada em suspensão</i>	13
2.2.2. <i>Macroepibentos</i>	13
2.2.3. <i>Fauna visitante</i>	13
2.3. TRATAMENTO LABORATORIAL	14
2.3.1. <i>Sedimento, folhas de mangal e macroalgas</i>	14
2.3.2. <i>Matéria Orgânica particulada em suspensão</i>	14
2.3.3. <i>Crustáceos, moluscos e peixes</i>	15
2.4. ANÁLISE ISOTÓPICA	15
2.4.1. <i>Preparação para análise isotópica</i>	16
2.4.2. <i>Análise isotópica</i>	17
2.4.5. <i>Tratamento de Dados</i>	18
2.2.5.1. <i>Determinar as $\delta^{13}\text{C}$ e $\delta^{15}\text{N}$ das espécies e das possíveis fontes que ocorrem nos mangais em estudo</i>	18
2.2.5.2. <i>Comparação dos dois tipos de mangal, com base nas diferenças entre $\delta^{13}\text{C}$ e $\delta^{15}\text{N}$ das espécies comuns e das prováveis fontes</i>	18
2.2.5.3. <i>Comparar os dois tipos de mangal em estudo com base nas prováveis fontes de C e N dos seus organismos</i>	20
3. RESULTADOS	22
3.1. DETERMINAÇÃO DAS $\Delta^{13}\text{C}$ E $\Delta^{15}\text{N}$ DAS ESPÉCIES E DAS POSSÍVEIS FONTES QUE OCORREM NOS MANGAIS EM ESTUDO	22
3.1.1. <i>Mangais Sem Influência de Descargas Urbanas</i>	22
3.1.2. <i>Mangais Sob Influência de Descargas Urbanas</i>	24
3.2. COMPARAÇÃO DOS DOIS TIPOS DE MANGAL, COM BASE NAS DIFERENÇAS ENTRE $\Delta^{13}\text{C}$ E $\Delta^{15}\text{N}$ DAS ESPÉCIES COMUNS E DAS PROVÁVEIS FONTES	25
3.2.1. <i>Comparação entre produtores primários</i>	25
3.2.2. <i>Comparação entre macrobentos e comparação entre fauna visitante</i>	26
3.2.3. <i>Comparação entre sedimento e comparação entre MOPS</i>	28
3.3. COMPARAÇÃO DOS DOIS TIPOS DE MANGAL EM ESTUDO COM BASE NAS PROVÁVEIS FONTES DE C E N DOS SEUS ORGANISMOS	29
3.3.1. <i>Mangais Sem Influência de Esgoto Urbano</i>	29
3.3.2. <i>Mangais Sob Influência de Esgoto Urbano</i>	31
4. DISCUSSÃO	35
4.1. DETERMINAÇÃO DAS $\Delta^{13}\text{C}$ E $\Delta^{15}\text{N}$ DAS ESPÉCIES E DAS POSSÍVEIS FONTES QUE OCORREM NOS MANGAIS EM ESTUDO	35
4.2. COMPARAÇÃO DOS DOIS TIPOS DE MANGAL, COM BASE NAS DIFERENÇAS DE $\Delta^{13}\text{C}$ E $\Delta^{15}\text{N}$ DAS ESPÉCIES COMUNS E DAS PROVÁVEIS FONTES	38

4.2.1. <i>Comparação entre produtores primários</i>	38
4.2.2. <i>Comparação entre macrobentos e comparação entre fauna visitante</i>	41
4.2.3. <i>Comparação entre sedimento e comparação entre MOPS</i>	42
4.3 COMPARAÇÃO DOS DOIS TIPOS DE MANGAL EM ESTUDO COM BASE NAS PROVÁVEIS FONTES DE C E N DOS SEUS ORGANISMOS	44
4.3.1. <i>Caranguejos</i>	44
4.3.2. <i>Gastrópodes</i>	46
4.3.3. <i>Fauna visitante</i>	47
5. CONCLUSÕES	49
6. RECOMENDAÇÕES	50
7. BIBLIOGRAFIA E SITES	51
ANEXO I – RESULTADOS	AI-I
ANEXO II – ESTATÍSTICA	AII-I
ANEXO III – DADOS GERAIS DO IRMS CORRIGIDOS	AIII-I

1. INTRODUÇÃO

Floresta de mangal ou simplesmente mangal, é um ecossistema encontrado nas zonas entre marés entre a terra seca e o mar, que possui uma variedade de espécies de árvores e arbustos, sempre verdes, tolerantes à elevada salinidade das águas (Kalk, 1995; Richmond, 1997; Nybakken, 2001). Encontra-se distribuído por linhas costeiras tropicais e subtropicais de todo o mundo (Nybakken, 2001) e cresce em zonas abrigadas, particularmente baías e estuários (Richmond, 1997).

Os mangais são comuns no Norte e Centro de Moçambique ocorrendo também na parte Sul (Taylor *et al.* 2003).

Oito espécies de árvores de mangal são encontradas em Moçambique, a sua distribuição é determinada primariamente pelo gradiente de salinidade, profundidade da água e pelo pH e conteúdo de oxigénio dos solos. Estas espécies são *Avicennia marina*, *Rhizophora mucronata*, *Ceriops tagal*, *Bruguiera gymnorhiza*, *Lumnitzera racemosa*, *Xylocarpus granatum*, *Sonneratia alba* e *Heritiera littoralis* (Kalk, 1995; Richmond, 1997; WWF, 2001).

A importância deste ecossistema, que possui uma elevada biodiversidade, tanto aquática como terrestre (Taylor *et al.* 2003), reside em vários aspectos: a sua produtividade e elevada disponibilidade de áreas protegidas, oferecendo habitat, local para desova e alimentação e áreas de viveiros para várias espécies de crustáceos, moluscos, poliquetos, pássaros, peixes e outros (Kalk, 1995; Richmond, 1997; Taylor *et al.* 2003). Os mangais fornecem nutrientes a habitats vizinhos como demonstrado em trabalhos como de Lee (1995) e Hemminga *et al.* (1994), sendo muito importantes para animais não exclusivamente a eles associados e para, por exemplo, zonas de ervas marinhas e recifes de coral a eles adjacentes (Hemminga *et al.* 1994; Lee, 1995; WWF, 2001; Taylor *et al.* 2003;).

O mangal forma uma barreira natural que protege a linha costeira da acção das ondas (Taylor *et al.* 2003), impede a penetração do sal marinho nas áreas agrícolas adjacentes e retém sedimentos derivados da terra protegendo assim o habitat marinho (Kalk, 1995, Richmond, 1997). Espécies filtradoras, que nele habitam, possuem um papel importante na reciclagem de nutrientes por se alimentarem de detritos ou de microorganismos que vivem nos detritos (Richmond, 1997; Taylor *et al.* 2003).

Na África Oriental, estas florestas costeiras, possuem também uma grande importância para a população humana, fornecendo produtos como, por exemplo, alimento, combustível, material de construção (madeira e cal) e produtos para a medicina tradicional (Kalk, 1995; Richmond, 1997; Taylor *et al.* 2003). Com o crescimento das populações humanas nas últimas décadas nesta região, e o conseqüente aumento de necessidades, tem, também, aumentado a pressão sobre os recursos de mangais (Taylor *et al.* 2003). Uma das grandes ameaças é a elevada exploração dos mangais para obtenção de material de construção e combustíveis (Richmond, 1997; WWF, 2001). Se grandes áreas forem devastadas, populações de espécies serão massivamente reduzidas (Taylor *et al.* 2003).

Pensa-se que os mangais tenham a capacidade de filtrar esgotos líquidos não tratados, diminuindo assim a poluição costeira (Tam, 1998). Por este motivo, os mangais foram considerados locais para onde se pode drenar resíduos de vários tipos, tendo assim surgido projectos como o PUMPSEA que visam investigar esta capacidade dos mangais, analisando os impactos ecológicos e sócio-económicos para que se desenvolva uma estratégia de construção, reflorestação e conservação de mangais para um segundo tratamento de efluentes domésticos ou para encorajar a filtração natural de esgotos usando os mangais como biofiltros.

Outra preocupação, sendo a que incentivou o presente trabalho, é que em muitas partes de Moçambique não existem sistemas de esgoto, sendo este, despejado directa ou indirectamente no mar, ou em zonas perto da costa juntamente com efluentes industriais e químicos tóxicos. Comunidades costeiras usam partes da praia e das florestas de mangal como áreas de latrina, assim, o aumento da população resultou num elevado nível de contaminação das águas costeiras com sérias consequências na saúde pública (Richmond, 1997; Taylor *et al.* 2003; WWF, 2001). A contínua e prolongada contaminação das águas costeiras por nutrientes derivados dos sistemas de esgoto pode alterar a composição das espécies dos habitats costeiros (Richmond, 1997), e esta alteração tem as suas repercussões na cadeia trófica dos sistemas. O estudo dos níveis tróficos das espécies e das prováveis cadeias tróficas em cada um dos mangais, pode ser feito com recurso ao método duplo de análises de isótopos estáveis: carbono ($^{13}\text{C}/^{12}\text{C}$) e nitrogénio ($^{15}\text{N}/^{14}\text{N}$).

Os valores de $\delta^{13}\text{C}$ e de $\delta^{15}\text{N}$ de animais, geralmente, reflectem a composição isotópica das suas dietas (Gannes *et al.* 1997; Savage 2000). Autotróficos têm uma assinatura isotópica que reflecte o seu habitat e o seu estado fisiológico. Animais que se alimentam destes organismos incorporam os químicos da dieta nos seus tecidos, adquirindo o sinal isotópico da sua dieta (Wada *et al.*, 1991; Savage 2000). Razões de isótopos estáveis de carbono exibem pouco ou nenhum enriquecimento por nível trófico (DeNiro e Epstein 1978; Rau *et al.* 1983, Fry e Sherr 1984 citados por Savage 2000; Vander Zanden e Rasmussen, 2001), sendo úteis para identificar a selectividade de dieta num habitat com alimento de diferentes composições isotópicas e para clarificar os caminhos do fluxo do carbono. As razões de isótopos estáveis de nitrogénio, normalmente, enriquecem 2-5‰ ao longo da rede trófica, fornecendo, assim, alguma informação sobre a posição trófica do consumidor (DeNiro e Epstein 1978; Wada *et al.* 1991; Minagawa e Wada, 1984, citados por Savage 2000).

Desde 1950 muitos trabalhos sobre mangais da África Oriental foram publicados, sendo a maioria centrada no Kenya, alguns dos quais foram

efectuados por Hemminga *et al.* (1994) e Bouillon *et al.* (2004a). Poucos eram experimentais ou comparativos, a maioria constituía uma abordagem descritiva (Taylor *et al.* 2003). Infelizmente, pouco trabalho tem-se concentrado na transferência de energia em ecossistemas de mangal e consequentemente, não se tem uma boa percepção das relações tróficas e das cadeias tróficas (Taylor *et al.* 2003).

O presente trabalho terá como objectivo estudar os efeitos de descargas antropogénicas nos mangais. Para tal será considerada a designação de mangais "limpos" e "não limpos", embora esta seja incorrecta pois não se fez um estudo aprofundado sobre a poluição a que estas áreas estão sujeitas. No entanto, para facilitação da distinção entre os tipos de mangal escolheu-se usar estes termos, sendo "limpo" relativo a sem descargas de esgoto urbano e, "não limpo" relativo a mangais sob influência de esgoto urbano.

Para o alcance dos objectivos, foi amostrado um mangal "não limpo" (mangal da Costa do Sol, na cidade de Maputo) que se sabe que recebe descargas de esgoto e outros dois mangais "limpos" (mangal da Ponta Rasa e mangal do Saco, ambos na Ilha da Inhaca) que não recebem descargas de esgoto urbano. Foram comparados estatisticamente os sinais isotópicos das espécies comuns aos dois tipos de mangal ("limpos" e "não limpos") e comparadas as prováveis fontes de carbono e nitrogénio das espécies em cada mangal.

1.1. Objectivos

1.1.1. Objectivo Geral

- Analisar as razões isotópicas de Carbono e Nitrogénio dos organismos macrobentónicos em mangais com descargas antropogénicas e em mangais sem descargas e determinar as possíveis fontes tróficas.

1.1.2. Objectivos específicos

- Determinar as razões isotópicas de Carbono e Nitrogénio das espécies e das possíveis fontes que ocorrem nos mangais com descargas e das que ocorrem nos mangais sem descargas de esgoto.
- Comparar os dois tipos de mangal em estudo, tendo em conta as diferenças entre as assinaturas isotópicas das espécies comuns entre eles e das prováveis fontes
- Comparar os dois tipos de mangal em estudo, com base nas prováveis fontes de Carbono e Nitrogénio dos organismos nas respectivas comunidades

1.2. Hipóteses

- Se as descargas antropogénicas modificam a composição específica e de material sedimentado e em suspensão dos mangais, então, as razões isotópicas de Carbono e Nitrogénio dos organismos, das prováveis fontes, do sedimento e da matéria orgânica em suspensão, são diferentes entre os mangais recebendo descargas de esgoto e os sem descargas, causando, também, diferenças entre as ligações tróficas existentes nos dois tipos de mangais.

2. METODOLOGIA

2.1. Descrição da Área de Estudo

A Baía de Maputo localiza-se no Sul de Moçambique (figura 1), possui uma área de 960Km² e comunica-se a Norte com o Oceano Índico (Kalk, 1995). A baía é pouco profunda, sendo apenas um quinto com uma profundidade superior a 10m (na maré baixa) (Boer e Longamane, 1996 citados por Pereira *et al.* 2000). As marés da baía são, predominantemente, semi-diurnas, com uma escala máxima de 3.9 m (Hoguane *et al.* 1999; Pereira *et al.* 2000a).

A pluviosidade média anual é de 793 mm (dados de 1951-1997 do INAM, Maputo, citados por Pereira *et al.* 2000a) e as temperaturas médias mensais variam de 26°C em Janeiro a 19°C em Julho (dados de 1961-1990 do INAM citados por Pereira *et al.* 2000a).

As águas da Baía de Maputo possuem uma abundância relativa de nutrientes devido a fenómenos de rotação e reciclagem de águas mais frias e profundas e devido a nutrientes provenientes da água doce que flui para a baía pelos rios Incomati no Norte, Maputo e Umbeluzi a Sul (Impacto, 1996; Litulo, 2004).

2.1.1. Mangal da Costa do Sol (com descarga)

A Praia da Costa do Sol possui grandes áreas arenosas que ficam expostas nas mares baixas. Em algumas zonas encontram-se pequenos tapetes de ervas marinhas, dominados por *Zostera capensis*, *Enteromorpha spp.* e *Ulva spp.* (Bandeira, 1995 citado por Pereira *et al.* 2000a).

O mangal da Costa do Sol (figura 2) localiza-se na Baía de Maputo entre 25° 51' e 26° 18' de latitude (Litulo, 2004), 6km a Norte da Cidade de Maputo. A vegetação é dominada pela *Avicennia marina*, e ocorrem pequenos

aglomerados de *Rhizophora mucronata* (Hatton, 1995 citado por Pereira *et al.* 2000b; Litulo, 2004). Sabe-se que a praia de Maputo possui descargas de esgoto da cidade de Maputo, que o mangal da Costa do Sol possui descargas de esgoto vindos do Restaurante Costa do Sol e que sofre influência de águas descarregadas de um viveiro de mariscos. Sabe-se ainda, que é usado pela população como área de latrina, de despejo de lixo e como caminho de passagem.

Foram escolhidas duas áreas de amostragem no mesmo mangal, por apresentarem diferentes níveis de poluição. A área 1 (CSA1) localiza-se por trás do Condomínio Super-Marés, onde o terreno foi aterrado e apresenta alguns entulhos de obras. Esta área foi amostrada no dia 19 de Setembro de 2005 para a colecta de todo o material, excepto para a fauna visitante que foi colectada no dia 5 de Outubro de 2005. A CSA1 apresenta muitos caranguejos da família Sesarminae. A área 2 (CSA2) localiza-se próximo ao Bairro do Triunfo, e, por estar muito próxima da estrada, apresenta grandes quantidades de lixo sólido (vidros, cartões, plásticos, etc.). Esta área foi amostrada no dia 20 de Setembro de 2005 para a colecta de todo o material, excepto para a fauna visitante que foi colectada no dia 5 de Outubro de 2005. Apresenta unicamente *Avicennia marina* e muitos caranguejos Sesarminae.

2.1.2. Mangal da Ponta Rasa da Inhaca (sem descarga)

A Ilha da Inhaca faz parte da Baía de Maputo, situando-se na latitude 26°S, e longitude 33°E, 32 km a Este da cidade de Maputo. Faz parte da barreira que protege a Baía de Maputo do Oceano e possui 11km de comprimento e 6 de largura (Hoguane *et al.* 1999). Localiza-se na região de transição do clima temperado a tropical, com verões quentes e húmidos (Novembro a Abril) e invernos frios e secos (Maio a Outubro) (Kalk, 1995). Apresenta uma temperatura média de 23°C (de Boer, 2000) e a precipitação média anual, desde

a década de 1980, é de 800 mm devido a seca. Nos meses chuvosos (Janeiro e Fevereiro) a precipitação média diária é de 145mm, sendo nos meses pouco chuvosos 25mm. A humidade relativa é de cerca de 77% e evaporação de 25%, sendo mais alta no verão que no inverno (Kalk, 1995). O seu padrão de marés é semi-diurno apresentando uma amplitude máxima, nas marés vivas, de 3,9m (de Boer e Longamane 1996, citados por Macia, 2004b).

O mangal da Ponta Rasa localiza-se na parte sudoeste da Ilha da Inhaca (26°S), no lado Este da Baía de Maputo (figura 3). Um único canal liga a baía de Maputo ao estreito da Ponta Rasa. Este canal possui 500m de comprimento, 3m de largura e uma profundidade média de 1m na maré baixa. O estreito é cercado por um pântano com uma área de 0.2km², da qual 70% está coberta por vegetação de mangal. O mangal é inundado duas vezes por dia nas marés vivas, onde a variação da maré é de 1m. O estreito localiza-se a cerca de 0.6m acima do nível médio do mar, mas não seca completamente em marés baixas pois existe uma barreira arenosa que evita que a água do estreito seja completamente drenada para o mar. No entanto, o pântano seca completamente na maré baixa, deixando apenas alguns charcos. Não há rios a fornecer água ao pântano, sendo a chuva a maior fonte de água doce do sistema (Hoguane *et al.* 1999). Este mangal é usado pela população como caminho de ligação entre o interior da Ilha e a praia.

A amostragem, no mangal da Ponta Rasa, foi efectuada numa área de 15m² na região dominada pela espécie de mangal *A. marina*, visto o mangal da Costa do Sol só possuir regiões dominadas por esta associação. A amostragem de macroepibentos foi feita no dia 4 de Outubro de 2005 durante a maré baixa diurna da maré viva e a da fauna visitante durante a maré cheia nocturna.

2.1.3. Mangal do Saco da Inhaca (sem descarga)

O Saco da Inhaca (figura 4), localizado na parte sul da Ilha da Inhaca, é uma pequena baía semi-fechada com uma área total de 60ha. É limitada por uma floresta de mangal, onde a *A. marina* é a espécie dominante (Kalk, 1995). A parte mais extensa e densa, ocorre entre a parte sub e a supralitoral (dominadas pela *A. marina*), e é composta pela *Cerriops tagal* e *Bruguiera gymnorrhiza*, com a *Rhizophora mucronata* alinhada ao longo dos canais e riachos (de Boer, 2000; Macnae e Kalk, 1962, citado por Macia, 2004b). A floresta de mangal do Saco ocupa uma área de 209ha (de Boer *et al.* 2000). Perto da floresta de mangal ocorre uma área de ervas marinhas, tornando esta baía do Saco um agrupamento de diversos ambientes conectados, que oferecem abrigo e alimento para uma fauna diversa (Rönnbäck *et al.*, 2002; de Boer *et al.*, 2001, citado por Macia, 2004b).

O mangal do Saco possui uma pequena vila junto à barreira supralitoral, cuja população foi vista a usar o mangal como área de latrina. No entanto, este mangal, não recebe descargas de esgoto urbano. A amostragem de macroepibentos decorreu no dia 3 de Outubro, durante a maré baixa diurna da maré viva e a da fauna visitante durante os dias 3 e 4 de Outubro de 2005 durante a maré cheia diurna. Todo o material foi colectado dentro de uma área de 15m², na área supralitoral dominada pela *A. marina*.

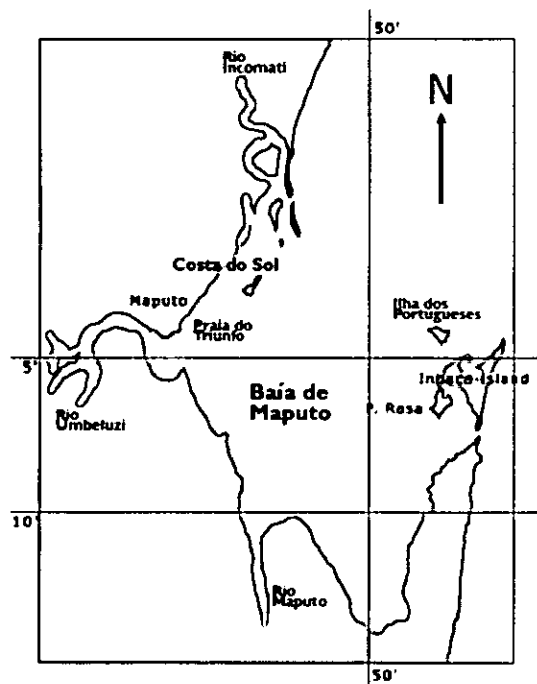


Figura 1: Representação geral da Baía de Maputo (fornecido por Carlos Litulo).

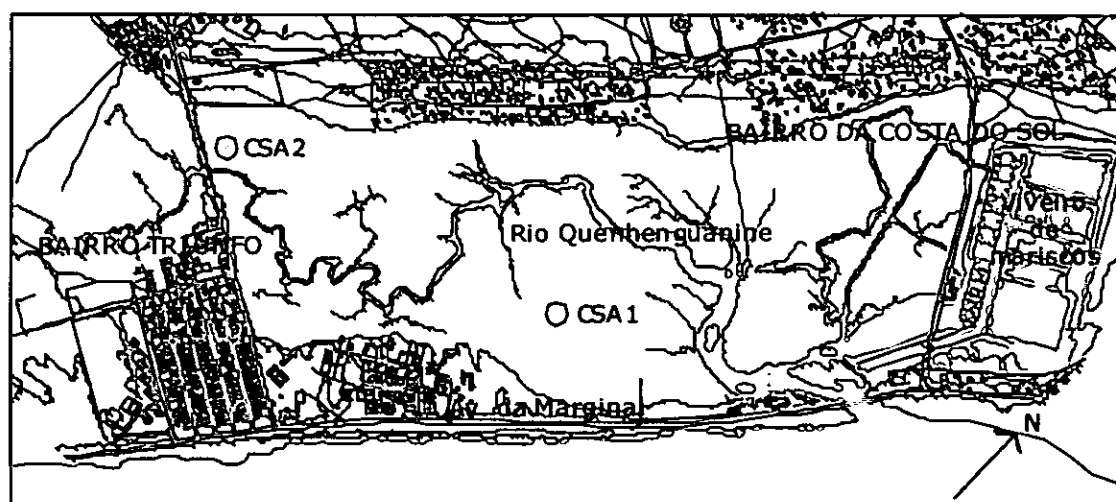


Figura 2: Localização do mangal da Costa do Sol, onde CSA1 e CSA2 representam as zonas de amostragem. (1994, adaptado de mapa fornecido por Eng.º Sheiss Nabi).

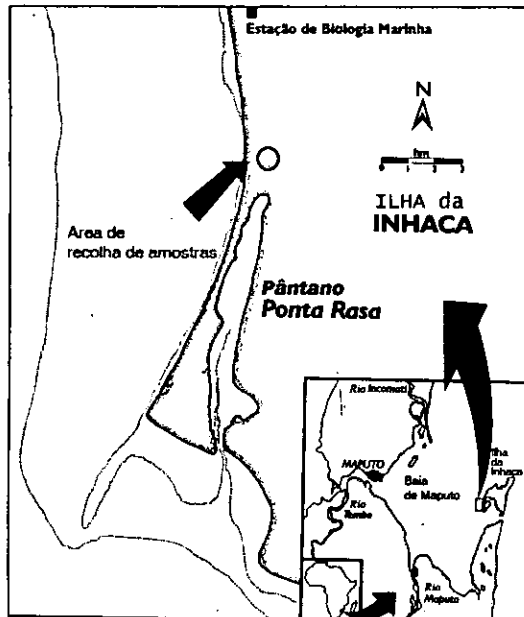


Figura 3: Localização do mangal da Ponta Rasa, na Ilha da Inhaca (adaptado de Flores *et al.* 2002).

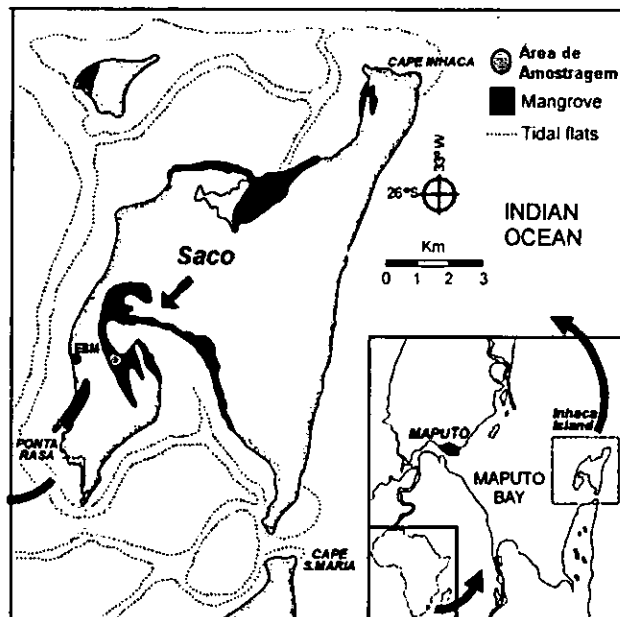


Figura 4: Localização do mangal do Saco, na Ilha da Inhaca (adaptado de Flores *et al.* 2005).

2.2. Colecta de Material no Campo

O material foi recolhido em zonas de *Avicennia marina*, nas três áreas de estudo acima descritas, devido ao facto de no mangal da Costa do Sol não haver uma quantidade significativa de outras associações para uma comparação entres os 3 mangais. Cada área de amostragem foi de 15m². No mangal da Costa do Sol, foram amostradas duas áreas (CSA1 e CSA2) de 15m² visto que uma (CSA2) apresenta maior quantidade de lixo sólido que outra.

Foi empregue um grande esforço para colher o material necessário para alcançar os objectivos estabelecidos, tendo sido colhido cerca de 15mg (3 replicados de 5mg) do peso seco de cada material. Para algumas não foi possível obter os 3 replicados, devido ao reduzido número ou tamanho dos indivíduos encontrados, tendo sido usados apenas 2 ou 1, nestes casos, os replicados não eram constituídos por um único indivíduo mas sim por um grupo deles.

O material incluiu sedimento, matéria orgânica particulada em suspensão, uma parte vegetal macrobentónica (folhas de árvores de mangal e halófitas), outra animal epibentónica (caranguejos e moluscos) e outra de fauna visitante (camarões e peixes). Havia a intenção de colectar ervas marinhas e macroalgas, no entanto, não foram encontradas nem perto nem dentro de nenhuma área de amostragem.

Após a colheita, todo o material foi guardado fresco em sacos de plástico ou frascos devidamente rotulados, indicando o local de colecta (Mangal da Costa do Sol 1 ou 2, Mangal da Ponta Rasa, ou, Mangal do Saco), o material colhido e a data de recolha. Os sacos plásticos e os frascos foram então conservados em gelo dentro de uma caixa térmica, não podendo, o material, ser exposto a preservantes químicos para não alterar a composição química dos tecidos (Stoner e Zimmerman, 1988; Gearing, 1991; Bouillon, 2003).

2.2.1. Sedimento, folhas de mangal, halófitas e matéria orgânica particulada em suspensão

A assinatura isotópica de folhas de árvores de mangal não mostra mudanças significativas com a decomposição (Dehairs *et al.* 2000), por isso, colectar folhas verdes ou já senescentes não muda a composição isotópica. Durante a maré baixa diurna foram colectadas, à mão no local, dez folhas vivas de cada espécie de árvore presente e folhas de halófitas suficientes de cada espécie presente no local.

Foram recolhidos três replicados de sedimento à mão, até uma profundidade de cerca de 0.5cm, durante a maré baixa diurna, em cada área de amostragem (Abreu, 2003).

Para a matéria orgânica particulada em suspensão, recolheu-se, em cada local de amostragem, 600ml de água em três frascos, durante o pico da maré cheia.

2.2.2. Macroepibentos

Na maré baixa diurna, os caranguejos foram apanhados à mão do chão ou retirados de dentro das suas galerias com ajuda de uma pá e os moluscos, que se encontravam nos troncos ou nas folhas, foram também colectados à mão (Bouillon, 2003).

2.2.3. Fauna visitante

O camarão e os peixes foram colectados usando pequenas redes de arrasto manual e armadilhas com malhas de 1 e 2mm, durante marés enchentes e vazantes diurnas e nocturnas.

2.3. Tratamento Laboratorial

Todo material recolhido foi conservado no frigorífico, sendo apenas retirado deste na altura de ser usado. O tratamento laboratorial foi feito no laboratório de Ecologia do Departamento de Ciências Biológicas. Os organismos foram taxonomicamente identificados até à espécie, excepto alguns camarões que se chegou apenas à Infraordem Caridea, e um produtor primário que foi identificado apenas até à família Gramineae.

2.3.1. Sedimento, folhas de mangal e macroalgas

As folhas de mangal e as halófitas foram limpas à lupa, com uma pinça ou bisturi, para retirar todos os epibentos nelas encrostados (Newell et al. 1995) e lavadas várias vezes com água destilada. Foram colocadas, em separado, em papel de alumínio e, posteriormente, foram secas a 60°C durante, pelo menos, 3 dias numa estufa (Gearing, 1991; Bouillon, 2003). Após a secagem todas as amostras foram conservadas em papel de alumínio, para depois serem transformadas num pó homogéneo (Chong et al. 2001).

2.3.2. Matéria Orgânica particulada em suspensão

Filtros de Whatman GF/F (47mm, 0.7µm) foram colocados na mufla durante cerca de 4 horas a 450°C (Gearing, 1991) e depois usados para a filtração da água recolhida dos mangais. Estes foram secos na estufa durante 24 horas e, em seguida, conservados em papel de alumínio até posterior tratamento (Bouillon, 2003).

2.3.3. Crustáceos, moluscos e peixes

Para os caranguejos, usou-se o músculo dos membros depois de se ter retirado o exoesqueleto, mas, para indivíduos muito pequenos (<1.0cm de comprimento de carapaça), os membros foram usados mesmo com o exoesqueleto tendo em conta que este processo contamina a amostra com carbonatos, que, depois, podem ser eliminados por acidificação (Gearing, 1991; Bouillon, 2003). Nos camarões retirou-se o exoesqueleto e o tracto digestivo, ficando-se apenas com a parte muscular. Para os peixes foi retirada a parte muscular junto à barbatana caudal e para os gastrópodes partiu-se a concha e retirou-se o indivíduo inteiro. Os tecidos musculares foram então lavados várias vezes com água destilada (Stoner e Zimmerman, 1988; Abreu 2003). Deve-se isolar o mesmo tipo de tecido em todos os animais para uma análise isotópica, de forma a atingir uma heterogeneidade isotópica (Fantle *et al.* 1999; Savage 2000). Diferentes tecidos possuem taxas de assimilação diferentes. O músculo reflecte a dieta até cerca de 25 dias e é o tecido mais adequado e fácil de trabalhar (Tieszen *et al.* 1983; Gearing, 1991; Savage, 2000).

Os tecidos musculares dos diferentes grupos de animais (incluindo os membros dos caranguejos de tamanho pequeno que continham o exoesqueleto) foram colocados, em separado, em papel de alumínio e colocados numa estufa a 60°C durante, pelo menos, 3 dias (Bouillon, 2003).

2.4. Análise Isotópica

Todo o material conservado em papel de alumínio e o sedimento ainda congelado em frascos, foi transportado para o Departamento de Química Analítica e Ambiental na Vrije Universiteit Brussel, em Bruxelas, na Bélgica onde foi feita a análise dos isótopos estáveis de carbono e nitrogénio num IRMS espectrómetro de massa.

2.4.1. Preparação para análise isotópica

O sedimento foi seco a frio (*freeze drying*) durante 24 horas, visto não ocorrer diferenças entre material seco a frio ou na estufa (Bosley e Wainright 1999, Kaehler e Pakhomov 2001, citados por Bouillon, 2003).

Depois de seco, o material vegetal, o animal e o de sedimento, foram moídos em almofarizes para obter um pó homogéneo (Stoner e Zimmerman, 1988; Bouillon *et al.* 2002a; Bouillon 2003) e introduzido em pequenos frascos devidamente rotulados (nome da espécie, número de replicado e área de amostragem). Nos casos em que o material vegetal fosse difícil de se tornar num pó homogéneo, usou-se nitrogénio líquido para que fosse mais fácil (Bouillon, comunicação pessoal). Depois de moídas, as amostras foram conservadas em pequenos frascos de plástico devidamente rotulados (nome da espécie ou tipo de material, número de replicado e área de amostragem).

Depois de todo o material moído passou-se à preparação das amostras para a análise isotópica. Foram analisados 3 replicados de cada amostra, excepto para algum material que só possuía 2 ou 1 replicados. Para a análise de cada replicado, era necessário 1mg do pó homogéneo, excepto para o sedimento que foram necessários entre 2 e 4mg, pesado numa balança de precisão e introduzido em pequenas cápsulas de prata. O material foi posteriormente acidificado (ácido clorídrico a 5%), para retirar o carbonato que pudesse estar presente na amostra, usando uma pipeta e colocado novamente na estufa durante 12 horas (Bouillon 2003). Trabalhos de Bosley e Wainright (1999) (citado por Bouillon, 2003) e Fantle *et al.* (1999) mostraram não ocorrer diferenças nas $\delta^{13}\text{C}$ ou $\delta^{15}\text{N}$ quando os tecidos eram acidificados.

Os filtros, antes conservados em papel de alumínio, foram acidificados num dessecador contendo ácido clorídrico a 37% durante 8 horas para retirar todo o carbonato, foram, então, colocados, novamente, na estufa durante 48 horas (Bouillon, 2003). Após a secagem, cortou-se um terço de cada um deles, e cada

parte (terço) foi dobrada e colocada dentro de uma pequena cápsula de prata que foi depois fechada (Bouillon, comunicação pessoal).

Antes da introdução das cápsulas de prata com amostras no espectrómetro de massa, foram preparados *standards* para carbono e nitrogénio (1mg de sacarose e 0.4mg de $(\text{NH}_4)_2\text{SO}_4$, respectivamente), para o sedimento, usou-se ainda cerca de 0.4mg de *standard* acetaldeído. Os *standards* foram também colocados nas cápsulas de prata. Todas as cápsulas foram fechadas, incluindo duas vazias para servirem de controle e foram postas no espectrómetro de massa (Bouillon, 2003; Bouillon, comunicação pessoal).

2.4.2. Análise isotópica

Foram feitas 7avas de análises, visto que o espectrómetro de massa só analisava 50 cápsulas de cada vez.

A medição das razões isotópicas de carbono e nitrogénio requer, inicialmente, a conversão quantitativa de carbono (orgânico e/ou inorgânico) e/ou nitrogénio presentes nas amostras, em CO_2 e/ou N_2 . Apenas sob estas formas, as razões isotópicas podem ser adequadamente medidas num IRMS (Bouillon, 2003)

Primeiro faz-se uma combustão da amostra num analisador de elementos (Carlo Erba NA 1500), seguida de uma separação criogénica e purificação dos gases resultantes (CO_2 ou N_2) numa linha de extracção em vácuo, e por fim faz-se a medição da composição isotópica de CO_2 ou N_2 no IRMS (ver Bouillon, 2003, para uma descrição mais detalhada do processo).

Os valores das razões isotópicas de carbono e de nitrogénio foram calculados segundo as seguintes equações (Primavera, 1996; Savage, 2000; Vander Zanden e Rasmussen, 2001; Bouillon, 2003):

$$\delta^{13}\text{C}\text{‰} = \left[\frac{(^{13}\text{C} / ^{12}\text{C})_{\text{amostra}}}{(^{13}\text{C} / ^{12}\text{C})_{\text{standard}}} - 1 \right] * 1000$$

$$\delta^{15}\text{N}\text{‰} = [(15\text{N} / 14\text{N})_{\text{amostra}} / (15\text{N} / 14\text{N})_{\text{standard}} - 1] * 1000$$

Onde δ (del) representa a notação *standard* para a razão isotópica, cujos valores mais positivos indicam um enriquecimento e os mais negativos uma depleção do isótopo mais pesado ^{13}C do carbono e do isótopo mais pesado ^{15}N em relação às amostras *standard* usadas (Savage, 2000). Os standards incluíram IAEA-C6 (sacarose, referência de $\delta^{13}\text{C} = -10.4 \pm 0.1\text{‰}$) e IAEA-N1 (sulfato de amónia, valor de referência de $\delta^{15}\text{N} = +0.43 \pm 0.07 \text{‰}$) (Bouillon, 2003).

2.2.5. Tratamento de Dados

2.2.5.1. Determinar as $\delta^{13}\text{C}$ e $\delta^{15}\text{N}$ das espécies e das possíveis fontes que ocorrem nos mangais em estudo

Para atingir este objectivo específico fez-se apenas a correcção, com os *standards* e cápsulas vazias, dos resultados obtidos no espectrómetro de massa (ver Anexo III, tabela AIII-i).

2.2.5.2. Comparação dos dois tipos de mangal, com base nas diferenças entre $\delta^{13}\text{C}$ e $\delta^{15}\text{N}$ das espécies comuns e das prováveis fontes

Recorreu-se à estatística para a comparação entre o mangal que recebe descargas de esgoto e os que não recebem, usando-se as razões isotópicas de espécies comuns a pelo menos uma área sob influência das descargas e umasem influência.

Os pressupostos de normalidade e homogeneidade de variância foram testados usando respectivamente os gráficos de distribuição dos dados e o teste de Levene. Quando estes pressupostos eram comprovados, usou-se o teste paramétrico ANOVA Univariada, e caso este teste mostrasse haver diferenças,

aplicou-se o teste post-hoc de Tukey HSD. Nos casos em que os pressupostos de normalidade ou homogeneidade não foram comprovados, tentou-se transformar os dados; quando as transformações não alteravam os pressupostos, usou-se o teste não paramétrico ANOVA Kruskal-Wallis para mais de duas amostras independentes, e, quando este demonstrava haver alguma diferença entre as áreas, aplicou-se o teste de post-hoc para o ANOVA Kruskal-Wallis. Quando ambos testes de *post-hoc* (teste de Tukey HSD para testes paramétricos e *post-hoc* para o não paramétrico de Kruskal-Wallis) não identificassem as diferenças entre as áreas, compararam-se as áreas duas a duas. Para tal, voltaram-se a testar os pressupostos de normalidade e homogeneidade em cada grupo de 2 áreas a comparar. No caso dos pressupostos serem comprovados, aplicou-se o Teste t para duas amostras independentes e quando um dos pressupostos não fosse comprovado aplicou-se o teste U de Mann-Whitney para comparação entre 2 amostras independentes.

Os dados foram tratados usando o programa estatístico de computador, STATISTICA 6.0, excepto quando necessário usar o teste de *post-hoc* para o teste não paramétrico Kruskal-Wallis ANOVA, que foi neste caso usado o programa estatístico de computador Statistix 8.0.

ANOVA Univariada foi usada para comparação de $\delta^{13}\text{C}$ entre as áreas para: *Avicennia marina*, *Cerriops tagal*, *Rhizophora mucronata*, *Sesuvium portulacastrum*, *Neosarmatium meinerti*, *Perisesarma gutatum*, *Liza richardsonii*, *Cerithidea decollata* e *Littoraria scabra*; e para a comparação de $\delta^{15}\text{N}$ para: *A. marina*, *C. tagal*, *R. mucronata*, *S. portulacastrum*, *N. meinerti* e sedimento.

Kruskal Wallis foi usado para comparação das razões isotópicas de carbono para *Chenolea diffusa*, *Parasesarma catenata* e sedimento e para razões isotópicas de nitrogénio de *P. gutatum*, *L. richardsonii*, *C. decollata* e *L. scabra*.

O teste t foi necessário para a comparação entre as áreas de $\delta^{15}\text{N}$ das espécies *C. diffusa* e *C. decollata*, e na comparação de $\delta^{13}\text{C}$ para *P. catenata*. O teste U

de Mann-Whitney foi necessário somente para a comparação das razões isotópicas de carbono do sedimento das diferentes áreas.

Quando não houvesse replicados suficientes, de uma espécie comum a pelo menos uma área com descargas de esgoto urbano e outro sem estas descargas, para a comparação de $\delta^{13}\text{C}$ e de $\delta^{15}\text{N}$, fez-se uma comparação não estatística, apenas por observação. Tal aplicou-se para o peixe *Ambassis natalensis*, para o camarão carídeo e para o caranguejo *Uca annulipes*.

2.2.5.3. Comparar os dois tipos de mangal em estudo com base nas prováveis fontes de C e N dos seus organismos

Para a determinação das prováveis fontes de carbono e nitrogénio foram comparados os valores das razões isotópicas de cada espécie de mangal encontrada com os valores das razões isotópicas das possíveis fontes (folhas de mangal, halófitas, sedimento e matéria orgânica em suspensão), para tal, foram elaborados gráficos de $\delta^{13}\text{C}$ por $\delta^{15}\text{N}$ com as razões isotópicas das prováveis fontes e das espécies encontradas, estes gráficos permitem a observação do enriquecimento das razões isotópicas por nível trófico.

Alguns autores consideram, geralmente, um enriquecimento de 0 a 1‰ para $\delta^{13}\text{C}$ por nível trófico (De Niro e Epstein, 1978) e outros (Vanderklift & Ponsard 2003, citados por Bouillon et al. 2004b) consideram um enriquecimento de 0 a 2‰. Para $\delta^{15}\text{N}$, muitos consideram um aumento médio de 2.7 a 3.4‰ (Bouillon 2003). No entanto, é preciso ter em conta aspectos como: (1) a Variabilidade Ecológica que corresponde ao intervalo de valores de 0.2 a 2.0‰ de desvio padrão encontrados em animais da mesma espécie criados em ambientes similares e alimentados com o mesmo alimento (De Niro e Epstein 1978; Tieszen et al. 1983; Teeri e Schoeleo 1979, Fry 1981, Anderson et al. 1987, citados por Gearing, 1991), (2) a Variabilidade Analítica que é o erro associado ao espectrómetro de massa cotado em ± 0.1 a 0.3‰ dependendo do tipo de

espectrómetro usado (Gearing, 1991) e (3) a variação do grau de fraccionamento com a função taxonómica, tipo de alimento e factores ambientais (Vanderklift & Ponsard 2003, citados por Bouillon et al. 2004b). Deste modo, foram admitidos valores de enriquecimento por nível trófico de -1 a 2‰ para carbono e de 2 a 5‰ para nitrogénio.

3. RESULTADOS

3.1. Determinação das $\delta^{13}\text{C}$ e $\delta^{15}\text{N}$ das espécies e das possíveis fontes que ocorrem nos mangais em estudo

Nos anexos encontra-se a tabela AI-1, onde são apresentados os organismos encontrados durante o estudo, sendo indicada a espécie, o grupo a que pertencem e a área onde foram encontradas e a tabela AI-2, onde são apresentados os valores das razões isotópicas de carbono e nitrogénio dos produtores primários, fungos, fauna, sedimento e MOPS em cada área sob influência das descargas urbanas e sem descargas.

3.1.1 Mangais Sem Influência de Descargas Urbanas

Nas duas áreas sem *inputs* de esgoto urbano, Mangal da Ponta Rasa e Mangal do Saco, foram encontradas as mesmas espécies vegetais, nas quais 3 eram árvores de mangal (*A. marina*, *C. tagal* e *R. mucronata*), 3 halófitas (*C. diffusa*, *S. portulacastrum* e *Salicornia sp.*) e uma gramínea cuja espécie não foi possível identificar. A composição isotópica média para as espécies de mangal, para as halófitas e para a gramínea, nas duas áreas, foram para $\delta^{13}\text{C}$ $-25.64 \pm 1.06\text{‰}$, $-25.47 \pm 1.98\text{‰}$ e $-13.05 \pm 0.22\text{‰}$ e para $\delta^{15}\text{N}$ foram $2.99 \pm 1.82\text{‰}$, $4.86 \pm 2.31\text{‰}$ e $2.71 \pm 0.47\text{‰}$, respectivamente.

Para o sedimento o valor médio de $\delta^{13}\text{C}$ foi de $-24.90 \pm 0.20\text{‰}$ e de $\delta^{15}\text{N}$ $5.81 \pm 1.37\text{‰}$ para o Mangal da Ponta Rasa, enquanto que para o Mangal do Saco, o valor médio de $\delta^{13}\text{C}$ foi de $-22.82 \pm 1.62\text{‰}$ e de $\delta^{15}\text{N}$ $7.14 \pm 1.20\text{‰}$. Para matéria orgânica particulada em suspensão, o Mangal da Ponta Rasa apresentou os valores de -25.78‰ e -25.47‰ para $\delta^{13}\text{C}$ e 3.39‰ e 3.94‰ para $\delta^{15}\text{N}$ e o Mangal do Saco apresentou os valores de -25.24‰ e -24.75‰ para $\delta^{13}\text{C}$ e de 4.23‰ e 3.95‰ para $\delta^{15}\text{N}$.

Foi encontrado um líquen, *Ramalina fecunda*, espécie associada à *R. mucronata*, nas duas áreas "limpas", cujos valores isotópicos médios para $\delta^{13}\text{C}$ e $\delta^{15}\text{N}$, no mangal da Ponta Rasa, foram de $-27.94 \pm 0.15\text{‰}$ e $-8.35 \pm 0.66\text{‰}$, respectivamente, e no Mangal do Saco os valores de $\delta^{13}\text{C}$ e $\delta^{15}\text{N}$ foram de $-28.06 \pm 0.077\text{‰}$ e $-10.05 \pm 0.37\text{‰}$, respectivamente. Os valores deste fungo para nitrogênio, foram tão elevados que não foram incluídos na determinação das prováveis fontes para os organismos.

Os sinais isotópicos para caranguejos nas duas áreas, variaram entre -24.71 (*N. meinerti*) e -13.10‰ (*U. inversa*) para $\delta^{13}\text{C}$ e 5.73 (*U. inversa*) e 9.24‰ (*P. catenata*) para $\delta^{15}\text{N}$, sendo os valores médios encontrados para o grupo de caranguejos das duas áreas de $-20.64 \pm 3.45\text{‰}$ ($\delta^{13}\text{C}$) e $7.49 \pm 1.06\text{‰}$ ($\delta^{15}\text{N}$).

Em relação aos gastrópodes, a espécie *L. scabra* apresentou valores de $\delta^{13}\text{C}$ ($-23.22 \pm 1.06\text{‰}$) e $\delta^{15}\text{N}$ ($1.09 \pm 1.10\text{‰}$) mais baixos em relação aos valores encontrados para *C. decollata* ($\delta^{13}\text{C} = -21.85 \pm 2.76\text{‰}$ e $\delta^{15}\text{N} = 3.89 \pm 0.45\text{‰}$).

No Mangal da Ponta Rasa foi encontrada uma única espécie de camarão cujos valores isotópicos médios obtidos para $\delta^{13}\text{C}$ e $\delta^{15}\text{N}$ foram de $-19.61 \pm 1.29\text{‰}$ e $8.45 \pm 0.40\text{‰}$, respectivamente. No Mangal do Saco, foram encontrados camarões cuja espécie não foi possível identificar, pertencendo, no entanto, à infraordem Carídea. Os valores isotópicos médios encontrados para $\delta^{13}\text{C}$ e $\delta^{15}\text{N}$, destes carídeos, foram de $-19.96 \pm 0.77\text{‰}$ e $8.56 \pm 1.47\text{‰}$, respectivamente.

Nas duas áreas sem influência urbana, foram encontradas duas espécies de peixe, *A. natalensis* e *L. richardsonii*. Para a primeira espécie, o valor médio isotópico encontrado para $\delta^{13}\text{C}$ foi de $-18.49 \pm 1.20\text{‰}$ e para $\delta^{15}\text{N}$ foi de $9.53 \pm 0.48\text{‰}$. Para a segunda espécie o valor médio isotópico encontrado para $\delta^{13}\text{C}$ foi de $-18.13 \pm 1.45\text{‰}$ e para $\delta^{15}\text{N}$ foi de $9.32 \pm 0.55\text{‰}$.

3.1.2 Mangais Sob Influência de Descargas Urbanas

O mangal da Costa do Sol, foi dividido em duas áreas poluídas por esgoto, a CSA1 (com menos lixo sólido) e a CSA2 (com mais quantidade de lixo sólido).

Em relação aos produtores primários, foram encontradas, na área CSA1, 4 espécies de árvores de mangal, nomeadamente, *Avicennia marina*, *Bruguiera gymnorrhiza*, *Ceriops tagal* e *Rhizophora mucronata*, cujos valores para $\delta^{13}\text{C}$ variaram entre -33.72 e -24.34‰ , onde o valor mais negativo foi encontrado em *B. gymnorrhiza* e o menos negativo em *C.tagal*. Para $\delta^{15}\text{N}$, os valores variaram entre 6.14 e 10.87‰ , sendo a média de todos os valores de árvores de mangal de $8.22 \pm 1.69\text{‰}$. Foram também encontradas duas espécies de plantas halófitas, *Chenolea diffusa* e *Sesuvium portulacastrum*, com valores médios de $\delta^{13}\text{C}$ $-27.45 \pm 0.044\text{‰}$ e $-24.75 \pm 0.29\text{‰}$ e para $\delta^{15}\text{N}$ $8.32 \pm 2.00\text{‰}$ e $4.98 \pm 1.59\text{‰}$, respectivamente. No entanto, na área CSA2, foi somente encontrada uma espécie vegetal, a árvore de mangal *A. marina*, cujos valores médios de $\delta^{13}\text{C}$ e $\delta^{15}\text{N}$ foram de $-27.30 \pm 0.56\text{‰}$ e $12.57 \pm 0.72\text{‰}$, respectivamente.

Para o sedimento, a área CSA1 apresentou o valor médio de $-20.54 \pm 0.45\text{‰}$ para $\delta^{13}\text{C}$ e $15.86 \pm 0.79\text{‰}$ para $\delta^{15}\text{N}$, e a área CSA2 o valor médio para $\delta^{13}\text{C}$ de $-20.57 \pm 0.57\text{‰}$ e para $\delta^{15}\text{N}$ $12.35 \pm 1.53\text{‰}$. Para a matéria orgânica particulada em suspensão, obtiveram-se os valores de -18.59‰ e -21.08‰ para $\delta^{13}\text{C}$ e de 7.08‰ e 9.74‰ para $\delta^{15}\text{N}$ na área CSA1 e -25.40‰ e -21.96‰ para $\delta^{13}\text{C}$ e 15.26‰ e 13.00‰ para $\delta^{15}\text{N}$ na área CSA2.

No mangal da Costa do Sol os sinais isotópicos para caranguejos variaram entre -23.25 (*Neosarmatium meinerti*, CSA2) e -12.02‰ (*Macrophtalmus depressus*, CSA1) para $\delta^{13}\text{C}$ e 12.01 (*Paraesarma catenata*, CSA2) e 20.86‰ (*N. meinerti*, CSA2) para $\delta^{15}\text{N}$.

Em relação aos gastrópodes, nas duas áreas, *Littoraria scabra* apresentou valores de $\delta^{13}\text{C}$ ($-22,15 \pm 0.69\text{‰}$) e $\delta^{15}\text{N}$ ($8.76 \pm 1,24\text{‰}$) mais baixos em relação

aos valores encontrados para *Cerithidea decollata* ($\delta^{13}\text{C} = -16,43 \pm 0,93\text{‰}$ e $\delta^{15}\text{N} = 13,74 \pm 1,10\text{‰}$).

Foram encontradas duas espécies de camarão na área CSA1 e uma única na CSA2. Para a primeira área, os valores isotópicos médios encontrados para $\delta^{13}\text{C}$ e $\delta^{15}\text{N}$ foram de $-16,30 \pm 0,60\text{‰}$ e $19,01 \pm 0,72\text{‰}$, respectivamente, e para a segunda área $-17,65 \pm 0,26\text{‰}$ e $21,21 \pm 0,43\text{‰}$, respectivamente.

Na área CSA1 foi encontrada uma única espécie de peixe, *Liza richardsonii*, enquanto que na CSA2 foram obtidas 4 espécies. Para *L. richardsonii*, a única espécie em comum, a composição isotópica média encontrada para $\delta^{13}\text{C}$ e $\delta^{15}\text{N}$ de $-15,88 \pm 1,09\text{‰}$ e $18,12 \pm 2,24\text{‰}$, respectivamente.

3.2. Comparação dos dois tipos de mangal, com base nas diferenças entre $\delta^{13}\text{C}$ e $\delta^{15}\text{N}$ das espécies comuns e das prováveis fontes

3.2.1. Comparação entre produtores primários

Para a *Avicennia marina* o teste ANOVA Univariada mostrou haver diferenças significativas nas razões isotópicas de carbono ($F = 10,32$, $p < 0,05$, para $\alpha = 0,05$; Anexo tabela AII-2) e nitrogénio ($F = 0,05$; $p < 0,05$, para $\alpha = 0,05$; Anexo tabela AII-5) entre as quatro áreas; sendo as comparações CSA1–Ponta Rasa e CSA2–Ponta Rasa diferentes em nitrogénio e carbono, a comparação Saco–Ponta Rasa diferente em carbono e as CSA1–Saco e CSA2–Saco diferentes em nitrogénio.

Para *Cerriops tagal* não foram encontradas diferenças significativas ($F = 4,88$, $p > 0,05$, para $\alpha = 0,05$; Anexo tabela AII-8) entre as áreas em termos de $\delta^{13}\text{C}$, sendo no entanto encontradas diferenças ($F = 16,500$; $p < 0,05$, para $\alpha = 0,05$;

Anexo tabela All-10 e All-11) entre as áreas Saco e Ponta Rasa e entre a CSA1 e o Saco em termos de $\delta^{15}\text{N}$.

Rhizophora mucronata apresentou diferenças significativas ($F = 18.47$; $p < 0.05$, para $\alpha = 0.05$; Anexo tabela All-13 e All-14) entre as áreas CSA1 e Ponta Rasa e, entre o Saco e a Ponta Rasa nas razões isotópicas de carbono e diferenças significativas ($F = 37.518$; $p < 0.05$, para $\alpha = 0.05$; Anexo tabela All-17 e All-18) entre as áreas CSA1 e o Saco e a CSA1 e a Ponta Rasa em termos de $\delta^{15}\text{N}$.

O teste ANOVA Kruskal-Wallis mostrou não haver diferenças significativas [$H(2, N = 9) = 5,600000$; $p = 0,0608$; para $\alpha = 0.05$; Anexo tabela All-20], entre as áreas, na composição isotópica de carbono para a halófito *Chenolea diffusa*. Mas, nesta espécie, o teste ANOVA Univariada mostrou haver diferenças significativas ($F = 5.4879$; $p < 0.05$, para $\alpha = 0.05$; Anexo tabela All-22) entre as áreas em termos de $\delta^{15}\text{N}$, no entanto, o teste de *Post-Hoc* – Tukey HSD – não mostrou em que áreas residiam as diferenças (tabela A23), deste modo, foi aplicado o teste t para comparar as amostras duas a duas. Este teste mostrou haver diferenças significativas entre o Saco e a Ponta Rasa ($t = -3.317$; $p < 0.05$, para $\alpha = 0.05$; Anexo tabela All-25) e entre a CSA1 e a Ponta Rasa ($t = 3.316$; $p < 0.05$, para $\alpha = 0.05$; Anexo tabela All-27).

Para a segunda halófito, *Sesuvium portulacastrum*, ocorreram diferenças significativas entre as áreas CSA1 e Ponta Rasa e a Ponta Rasa e o Saco em termos de $\delta^{13}\text{C}$ ($F = 42.51$, $p < 0.05$, para $\alpha = 0.05$, Anexo tabela All-31 e All-32) e de $\delta^{15}\text{N}$ ($F = 8.2635$, $p < 0.05$, para $\alpha = 0.05$; Anexo tabela All-34 e All-35).

3.2.2. Comparação entre macrobentos e comparação entre fauna visitante

Para *Neosarmatium meinerti*, o teste ANOVA Univariada provou haver diferenças significativas ($F = 6.771$; $p < 0.05$, para $\alpha = 0.05$; Anexo tabela All-37

e All-38) entre as áreas CSA1 e a Ponta Rasa em termos de $\delta^{13}\text{C}$ e diferenças significativas ($F = 6.771$; $p < 0.05$, para $\alpha = 0.05$; Anexo tabela All-41 e All-42) entre as áreas CSA1 e Saco, CSA1 e Ponta Rasa, CSA2 e o Saco, e, CSA2 e a Ponta Rasa em termos de $\delta^{15}\text{N}$.

Para *Paraesarma catenata*, o teste estatístico ANOVA Kruskal-Wallis mostrou não haver diferenças significativas [$H(2, N= 9) = 5,6000$ $p = 0,0608$] entre as áreas em termos de $\delta^{13}\text{C}$, no entanto, os dados brutos (Anexo I, tabela AI-2) pareciam apresentar uma certa diferença. Resolveu-se então comparar as áreas duas a duas, tendo em conta que este método aumenta a probabilidade de errar. Usando o teste t encontraram-se diferenças significativas entre as áreas CSA1 e CSA2 ($t = -7.3127$; $p < 0.05$, para $\alpha = 0.05$; Anexo II, tabela AII-46) e entre CSA1 e Saco ($t = 12.5888$; $p < 0.05$, para $\alpha = 0.05$; tabelas Anexo II, tabela AII-47). Para $\delta^{15}\text{N}$, segundo a ANOVA Univariada, existem diferenças significativas ($F = 34.540$; $p < 0.05$, para $\alpha = 0.05$; Anexo II, tabela AII-52 e AII-53) entre as áreas CSA1 e o Saco e entre a CSA2 e o Saco.

Ao compararem-se valores de $\delta^{13}\text{C}$, para *Perisesarma gutatum*, encontraram-se diferenças significativas ($F = 85.19$; $p < 0.05$, para $\alpha = 0.05$; Anexo II, tabela AII-55 e AII-56) entre as áreas CSA1 e o Saco e entre a CSA2 e o Saco, e, para as razões isotópicas de nitrogénio, foram encontradas diferenças significativas [$H(2, N = 9) = 7,2000$; $p = 0,0273$, para $\alpha = 0.05$; Anexo II, tabela AII-58 e AII-59] entre as áreas CSA2 e o Saco.

Para a única espécie de peixe comparada estatisticamente, *Liza richardsonii*, as diferenças significativas ($F = 34.694$; $p < 0.05$, para $\alpha = 0.05$; Anexo II, tabela AII-60 e AII-61), para razões isotópicas de carbono, residiam entre as áreas CSA1 e CSA2, entre a CSA1 e a Ponta Rasa e entre a CSA2 e a Ponta Rasa; e, no que diz respeito ao $\delta^{15}\text{N}$, as diferenças significativas [$H(2, N= 18) = 10,49812$ $p = ,0053$, para $\alpha = 0.05$; Anexo II, tabela AII-63 e AII-64] foram encontradas entre as áreas CSA2 e Ponta Rasa em termos de $\delta^{15}\text{N}$.

No que diz respeito a $\delta^{13}\text{C}$, o gastrópode *Cerithidea decollata* apresentou diferenças significativas ($F = 66.694$; $p < 0.05$, para $\alpha = 0.05$; Anexo II, tabela AII-66 e AII-67) entre todas as áreas excepto entre a CSA1 e a CSA2, enquanto que o gastrópode *Littoraria scabra* não apresentou diferenças ($F = 1.970$; $p > 0.05$, para $\alpha = 0.05$; Anexo II, tabela AII-84) entre as áreas. Para a razão isotópica de nitrogénio, a *L. scabra*, mostrou diferenças [$H(3, N=12) = 9,666667$; $p = 0,0216$; para $\alpha = 0.05$; Anexo II, tabela AII-69] apenas entre a CSA2 e o Saco mas, a *C. decollata* apresentou diferenças [$H(3, N=12) = 8,538462$ $p = 0,0361$; para $\alpha = 0.05$; tabelas Anexo II, tabela AII-86 e AII-87] entre todas as áreas menos entre as duas poluídas CSA1 e a CSA2 ($t = -0,454122$; $p > 0.05$, para $\alpha = 0.05$; Anexo II, tabela AII-72) e entre as duas não poluídas Saco e Ponta Rasa ($t = 0.367712$; $p > 0.05$, para $\alpha = 0.05$; Anexo II, tabela AII-74).

Para *Ambassis natalensis*, camarão carídeo e *Uca annulipes* (todos pertencentes a pelo menos uma área com descargas de esgoto e outra sem descargas) a comparação estatística não foi possível devido ao baixo número de replicados. No entanto, através de comparações apenas por observação dos valores, é possível notar, para *A. natalensis*, um grande enriquecimento em ^{15}N no mangal poluído por esgoto CSA2 em relação aos mangais "limpos" e, para o camarão carídeo e caranguejo *U. annulipes*, observa-se um enriquecimento em ^{15}N e em ^{13}C no mangal "não limpo" CSA1 em relação aos "limpos" (ver Anexo I tabela AI-2).

3.2.3. Comparação entre sedimento e comparação entre MOPS

O teste de Kruskal-Wallis ANOVA mostrou haver diferenças significativas [$H(3, N=12) = 8,948718$; $p = 0,0300$; para $\alpha = 0.05$; Anexo II, tabela AII-89] entre as áreas em termos de $\delta^{13}\text{C}$, no entanto, o teste de *post-hoc* de comparações múltiplas não foi sensível o suficiente para apresentar as diferenças

significativas entre as áreas (Anexo II, tabela AII-90), como os dados brutos pareciam apresentar uma certa diferença, resolveu-se comparar as áreas duas a duas, tendo em conta que este processo aumenta a probabilidade de errar. O teste não paramétrico U de Mann-Whitney mostrou, então, haver diferenças significativas entre a CSA1 e a Ponta Rasa ($z = 1.963961$; $p < 0.05$, para $\alpha = 0.05$; Anexo II, tabela AII-96) e a área CSA2 e a Ponta Rasa ($z = 1.963961$; $p < 0.05$, para $\alpha = 0.05$; Anexo II, tabela AII-100).

Para $\delta^{15}\text{N}$, foram encontradas diferenças significativas ($F = 12.2373$; $p < 0.05$, para $\alpha = 0.05$; Anexo II, tabela AII-104 e AII-105) entre as áreas CSA1 e Saco, CSA1 e Ponta Rasa, CSA2 e Saco e CSA2 e Ponta Rasa.

Embora não seja possível aplicar testes estatísticos para a comparação entre os valores de MOPS nas quatro áreas, devido ao reduzido número de replicados, pode-se tentar comparar tendo em conta os valores absolutos. Nestes, é possível observar que as zonas poluídas CSA1 e CSA2 apresentam valores mais elevados de nitrogénio que as zonas não poluídas Saco e Ponta Rasa. E em relação aos valores de $\delta^{13}\text{C}$, pode-se apenas afirmar que os valores de CSA1 são diferentes dos das restantes áreas (Anexo I, tabela AI-2)

3.3 Comparação dos dois tipos de mangal em estudo com base nas prováveis fontes de C e N dos seus organismos

3.3.1. Mangais Sem Influência de Esgoto Urbano

Segundo o gráfico da figura AI-1 (Anexo I), no mangal do Saco, *N. meinerti* e *P.guttatum* parecem assimilar as mesmas fontes de carbono e de nitrogénio, podendo ser halófitas, folhas de mangal, plâncton, algas microbentónicas ou sedimento. *P.catenata*, no entanto, desloca-se para valores menos negativos de

carbono, afastando a possibilidade de se alimentar em folhas de mangal e halófitas. Neste mangal, a espécie *U.inversa* apresenta um comportamento alimentar curioso, tendo sido encontrada uma assinatura isotópica próxima a de uma gramínea, sugerindo que este caranguejo se alimente desta planta.

A espécie *C.decollata*, do mangal do saco, apresentou valores isotópicos próximos ao das microalgas bentônicas encontradas em Abreu (2003), o que demonstra que esta espécie se alimenta destes microorganismos. *L.scabra* apresentou razões isotópicas que a posicionaram como consumidora de folhas de mangal (ver Anexo I figura AI-2)

A fauna visitante, pertencente ao mangal do Saco, apresentou valores de $\delta^{13}\text{C}$ e $\delta^{15}\text{N}$ mais elevados que os outros grupos o que demonstra que pertence a níveis tróficos mais elevados, que por sua vez sugere que se alimentem de outros animais. A espécie *A.natalensis* aparenta alimentar-se de camarão carídeo e apresenta uma pequena evidência de assinaturas isotópicas de sedimento e microalgas bentônicas. A espécie de *L.richardsonii* por outro lado apresenta uma preferência por plâncton. Algumas espécies de camarões são conhecidas como detritívoras, e o camarão carídeo pode ser uma delas alimentando-se de restos de animais contidos no sedimento, o que faz com que o seu sinal isotópico de nitrogénio seja muito elevado (Anexo I, figura AI-3).

No mangal da Ponta Rasa, *N.meinerti* e *P.gutatum* apresentam, tal como no mangal do Saco, a mesma preferência alimentar. Ambas espécies possuem razões isotópicas que sugerem uma contribuição de sedimento, de folhas de mangal, de halófitas e ainda de MOPS para as suas dietas. *P.catenata*, *U.annulipes* e *U.inversa*, parecem, por sua vez usar algas microbentônicas como alimento preferencial (Anexo I, figura AI-4).

Segundo a figura AI-5 (Anexo I), as espécies *C.decollata* e *L.scabra*, na Ponta Rasa, apresentam também, a mesma preferência alimentar (possivelmente folhas de mangal, halófitas e MOPS), apesar de a *L.scabra* mostrar uma maior

distância das prováveis fontes sugerindo a contribuição de uma outra fonte desconhecida neste estudo.

As razões isotópicas de ambas espécies de peixes, sugerem uma predação sobre a espécie camarão carídeo, que por sua vez parece alimentar-se de microalgas bentónicas (Anexo I, figura AI-6).

Na tabela 1, são apresentados os possíveis níveis tróficos (alto, intermédio ou baixo) das espécies encontradas nos mangais, interpretados através dos gráficos AI-13 e AI-14 (no anexo I).

3.3.2. Mangais Sob Influência de Esgoto Urbano

No Mangal CSA1, mais uma vez, os sesarmídeos *N.meinerti* e *P.gutatum* aparentam assimilar a mesmas fonte de carbono, sendo, neste mangal, apenas o sedimento. Através do gráfico e do material analisado neste estudo, não é possível identificar a provável fonte de carbono para as espécies *M.depressus*, *P.catenata* e *U.annulipes*, sugerindo a presença de outra fonte não identificada nem visualizada no local de amostragem (Anexo I, figura AI-7).

L.scabra apresentou valores próximos às folhas de mangal e às halófitas sugerindo a assimilação destas fontes, e a *C.decollata* aparenta usar sedimento na sua dieta embora, a contribuição desta fonte não seja muito evidente (Anexo I, figura AI-8).

Como se pode ver na figura AI-9 (Anexo I), a fauna visitante apresentou valores isotópicos de $\delta^{13}\text{C}$ e de $\delta^{15}\text{N}$ muito elevados e que não permitem a identificação da provável fonte, podendo-se apenas afirmar que estas espécies são predadoras e pertencem a níveis tróficos elevados.

No mangal CSA2 foi somente encontrado um produtor primário, *A.marina*, cujas razões isotópicas provam que esta espécie não é uma fonte de carbono usada pelas espécies faunísticas encontradas neste local.

N.meinerti e *P.catenata* aparentam, neste mangal, usar sedimento e MOPS como fonte de alimento. As assinaturas isotópicas do caranguejo *P.gutatum* e dos gastrópodes não permitem a identificação das suas fontes preferenciais (Anexo I, figura AI-10 e AI-11).

No caso da fauna visitante, todas as espécies, do mangal CSA2, apresentaram valores isotópicos muito elevados sugerindo, mais uma vez, a predação e a presença destes nos níveis tróficos elevados. *T.jarbua* aparenta pertencer ao topo da cadeia trófica deste mangal, tendo em conta as espécies encontradas (Anexo I, figura AI-12).

No anexo I, a tabela A1-3 apresenta um resumo das possíveis fontes de carbono e nitrogénio, com base nos gráficos de $\delta^{13}\text{C}$ por $\delta^{15}\text{N}$ para as diferentes espécies faunísticas.

Na seguinte tabela (tabela 1), são apresentados os possíveis níveis tróficos (alto, intermédio ou baixo) das espécies encontradas nos mangais, interpretados através dos gráficos AI-15 e AI-16 (no anexo I).

Tabela 1: Interpretação dos gráficos AI-13, AI-14, AI-15 e AI-16 (no anexo I), relativos aos possíveis níveis tróficos, classificados como baixo, intermédio e alto, das espécies por área.

Espécies	Nível Trófico			
	Saco	Ponta Rasa	CSA1	CSA2
<i>L.scabra</i>	baixo	baixo	baixo	baixo
<i>C.decollata</i>	intermédio	intermédio	intermédio a alto	intermédio
<i>U.inversa</i>	intermédio	intermédio		
<i>U.annulipes</i>		intermédio a alto	alto	
<i>N.meinerti</i>	alto	alto	intermédio a alto	intermédio a alto
<i>P.guttatum</i>	alto	alto	intermédio a alto	intermédio a alto
<i>L.richardsonii</i>	alto	alto	alto	alto
<i>P.catenata</i>	alto	intermédio a alto	intermédio a alto	intermédio
<i>Carideo</i>	alto	alto	alto	
<i>P.indicus</i>			alto	alto
<i>A.natalensis</i>	alto	alto		alto
<i>T.jarbua</i>				alto

Tabela 2: Resumo das possíveis fontes, de carbono e nitrogénio, encontradas através da leitura dos gráficos de $\delta^{13}\text{C}$ por $\delta^{15}\text{N}$ para cada espécie e em cada área.

Espécie (nº de replicados)	Área	Alimento
<i>M. depressus</i> (3)	CSA1	Fonte não identificada
<i>N. meinerti</i> (12)	Saco	Folhas de mangal, Sedimento, Plâncton, halófitas e microalgas bentónicas.
	P.Rasa	Folhas de mangal, sedimento, halófitas e MOPS
	CSA1	Sedimento
	CSA2	Sedimento e MOPS
<i>P. catenata</i> (11)	Saco	Sedimento, plâncton e microalgas bentónicas.
	P.Rasa	Halófitas e microalgas bentónicas
	CSA1	Fonte não identificada
	CSA2	Sedimento e MOPS
<i>P. guttatum</i> (11)	Saco	Folhas de mangal, Sedimento, Plâncton, halófitas e microalgas bentónicas.
	P.Rasa	Folhas de mangal, sedimento, halófitas e MOPS
	CSA1	Sedimento
	CSA2	Fonte não identificada
<i>U. annulipes</i> (4)	P.Rasa	Microalgas bentónicas
	CSA1	Fonte não identificada
<i>U. inversa</i> (6)	Saco	Gramínea
	P.Rasa	Plâncton e microalgas bentónicas
<i>C. decollata</i> (12)	Saco	Microalgas bentónicas
	P.Rasa	Folhas de mangal, halófitas e MOPS.
	CSA1	Sedimento
	CSA2	Fonte não identificada
<i>L. scabra</i> (12)	Saco	Folhas de mangal
	P.Rasa	Folhas de mangal, halófitas e MOPS.
	CSA1	Folhas de mangal, halófitas.
	CSA2	Fonte não identificada
<i>Carídeo</i> (11)	Saco	Sedimento, plâncton
	P.Rasa	Plâncton.
	CSA1	Fonte não identificada
<i>P. indicus</i> (3)	CSA1	Fonte não identificada
	CSA2	Fonte não identificada
<i>A. natalensis</i> (6)	Saco	Sedimento, Plâncton e camarão carídeo
	P.Rasa	Plâncton e camarão carídeo
	CSA2	Fonte não identificada
<i>L. richardsonii</i> (19)	Saco	Plâncton
	P.Rasa	camarão carídeo
	CSA1	Fonte não identificada
	CSA2	Fonte não identificada
<i>L. argenticamaculatus</i> (3)	CSA2	Fonte não identificada
<i>T. jarbua</i> (2)	CSA2	Fonte não identificada

4. DISCUSSÃO

4.1. Determinação das $\delta^{13}\text{C}$ e $\delta^{15}\text{N}$ das espécies e das possíveis fontes que ocorrem nos mangais em estudo

Abreu (2003) e Macia (2004b), foram os únicos autores a fazer um estudo isotópico duplo no mangal do Saco, na Ilha da Inhaca. Nenhuma das outras áreas (Ponta Rasa, CSA1 e CSA2) amostradas neste estudo, foram anteriormente analisadas isotopicamente.

Árvores de mangal, tipicamente, apresentam valores de $\delta^{13}\text{C}$ muito negativos (Lee, 2000) e a média dos valores de $\delta^{13}\text{C}$ e $\delta^{15}\text{N}$ obtidos, neste estudo, para as espécies de árvores de mangal foram $-26.41 \pm 1.80\text{‰}$ e $5.83 \pm 3.66\text{‰}$, respectivamente. Estes valores estão de acordo com os reportados por outros autores em estudos prévios efectuados no Saco da Inhaca (Abreu, 2003; Macia, 2004b) e noutras regiões (ex. Hemminga et al., 1995; Lee, 2000; Bouillon et al. 2002a; Bouillon et al., 2004b). No entanto, as razões isotópicas médias de nitrogénio das árvores de mangal nos mangais sob influência de esgoto urbano ($9.09 \pm 2.36\text{‰}$) mostraram-se mais elevados que para os sem descargas antropogénicas ($3.12 \pm 1.85\text{‰}$). Na literatura, encontram-se, no geral, valores mais próximos às razões isotópicas de nitrogénio dos mangais sem influência de esgoto do que dos poluídos por esgoto (ex. Constanzo et al. 2001; Abreu, 2003; Bouillon et al., 2004b; Macia, 2004b).

No que diz respeito às halófitas, a média de $\delta^{13}\text{C}$ e de $\delta^{15}\text{N}$ em todas as áreas foi de $-25.63 \pm 1.86\text{‰}$ e $5.30 \pm 2.42\text{‰}$, respectivamente, razões isotópicas muito próximas as das árvores de mangal. Para os mangais "limpos", as halófitas apresentaram uma razão isotópica de $\delta^{13}\text{C}$ de $-25.47 \pm 1.98\text{‰}$ e $4.86 \pm 2.31\text{‰}$, de $\delta^{15}\text{N}$. Nos mangais poluídos por esgoto, as halófitas foram somente encontradas na área CSA1, cujos valores isotópicos de carbono e nitrogénio variaram entre -27.50 e -24.42‰ e entre 3.38 e 10.55‰ . Nenhum outro trabalho,

em Moçambique, abrangeu o estudo isotópico de halófitas. Noutros estudos (ex. Kwak e Zedler, 1997; Cloern *et al.*, 2002), halófitas como a *Salicornia sp.* possuíam valores entre -29.80 e -25.50‰ para $\delta^{13}\text{C}$ e entre 4.10 e 16.60‰ para $\delta^{15}\text{N}$, o que sugere que os valores encontrados neste estudo estão de acordo com os encontrados por outros autores.

Neste estudo, o sedimento apresentou razões isotópicas de carbono e nitrogénio compreendidos entre -25.05 e -19.05‰ e entre 4.55 e 15.56‰, respectivamente. As médias para os mangais "limpos" ($\delta^{13}\text{C} = -23.86 \pm 1.54\%$ e $\delta^{15}\text{N} = 6.48 \pm 1.36\%$) foram mais reduzidas que para os mangais "não limpos" ($\delta^{13}\text{C} = -20.51 \pm 0.50\%$ e $\delta^{15}\text{N} = 6.48 \pm 1.89\%$). Abreu (2003) e Macia (2004b) apresentaram médias de carbono, para sedimento, de $-19.50 \pm 1.30\%$ e de $-24.70 \pm 0.5\%$, respectivamente. Para nitrogénio, obtiveram médias de $5.10 \pm 0.20\%$ (Abreu, 2003) e $1.0 \pm 0.3\%$ (Macia, 2004b), o que sugere valores muito elevados de nitrogénio para os mangais analisados neste estudo, cuja área com valores mais baixos de nitrogénio foi a Ponta Rasa (média de $5.81 \pm 1.37\%$). Bouillon *et al.* (2003) e Lallier-Verges *et al.* (1998) obtiveram valores de $\delta^{13}\text{C}$ tão baixos quanto -27.10‰ (Guadeloupe) e -29.40‰ (Índia e Sri Lanka), respectivamente. Para nitrogénio, o trabalho de Chong *et al.* (2001) foi o único das literaturas encontradas com uma média ($9.88 \pm 3.85\%$) mais elevada que a média apresentada neste estudo ($9.49 \pm 3.51\%$), outros autores apresentam médias mais baixas (ex. Bouillon *et al.* 2003; Bouillon *et al.* 2004b). A média de $\delta^{15}\text{N}$ das áreas amostradas no presente trabalho, torna-se elevada devido aos valores encontrados para as zonas poluídas.

Matéria orgânica particulada em suspensão é composta por variadas fontes (ex. fitoplâncton, matéria orgânica terrestre, etc.) (Bouillon *et al.* 2004d). No presente estudo, a MOPS apresentou médias para carbono e nitrogénio dos mangais "limpos" de $-25.31 \pm 0.43\%$ e $3.88 \pm 0.35\%$, respectivamente e para os mangais poluídos por esgoto $-21.76 \pm 2.82\%$ ($\delta^{13}\text{C}$) e $11.27 \pm 3.60\%$ ($\delta^{15}\text{N}$). Os maiores valores médios de carbono e nitrogénio, para plâncton, encontrados em Moçambique, foram os obtidos por Abreu (2003), sendo estes $-19.20 \pm 2.60\%$ e

$5.9 \pm 0.20\text{‰}$, respectivamente. Nenhum outro estudo (ex. Bouillon, 2000; Lepoint, 2000; Macia, 2004b) foi encontrado com valores de isótopos de nitrogénio, de MOPS, tão elevados quanto os obtidos para os mangais sob influência de esgoto urbano neste trabalho.

Os valores de $\delta^{15}\text{N}$ apresentados pelos Ocypodes *M.depressus* e a *U.annulipes* nas áreas poluídas por esgoto do presente estudo mostraram-se muito elevados quando comparados com os obtidos por Bouillon *et al.* (2004b) (*M.depressus*: 1.90 a 3.20‰ e *U.annulipes*: 0.50 a 7.10‰). No entanto, *U. annulipes*, na área "limpa" Ponta Rasa, apresentou uma média de $6.50 \pm 0.49\text{‰}$ que não se mostra tão elevada quanto nas zonas "não limpas".

Todos os sesarmídeos encontrados, apresentaram valores isotópicos de carbono e nitrogénio mais elevados nas zonas poluídas que nas não poluídas. Bouillon *et al.* (2004b), para *P. guttatum* encontrou valores de nitrogénio ($4.20 \pm 0.70\text{‰}$, $4.90 \pm 0.50\text{‰}$ e 5.20‰) mais baixos que os encontrados, neste estudo, tanto em áreas "não limpas" ($15.57 \pm 1.54\text{‰}$) como em "limpas" ($7.86 \pm 0.78\text{‰}$) e valores isotópicos de carbono ($-23.30 \pm 0.90\text{‰}$, $-20.10 \pm 0.50\text{‰}$ e -19.10‰) que se encontravam entre os valores médios obtidos, no presente estudo, para os dois tipos de mangal. Para o género *Neosarmatium*, encontrou valores muito mais baixos de -30.3‰ e 5.5‰ para $\delta^{13}\text{C}$ e $\delta^{15}\text{N}$, respectivamente, que os valores obtidos nas áreas amostradas neste trabalho.

Para os gastrópodes, os mangais poluídos por esgoto ($11.25 \pm 2.83\text{‰}$) apresentaram um enriquecimento de 8.76‰ , dos valores médios de $\delta^{15}\text{N}$, em relação aos "limpos" ($2.49 \pm 1.67\text{‰}$). Riera *et al.* (2000) também encontrou valores médios de $\delta^{15}\text{N}$ elevados para gastrópodes (*Littorina littorea*: $12.20 \pm 0.80\text{‰}$ e $19.70 \pm 0.9\text{‰}$; *Littorina saxatilis*: $12.00 \pm 1.30\text{‰}$ e 17.10‰), mas Deegan e Garrit (1997, citados por Riera *et al.* 2000) encontraram 8.70‰ para *L. Saxatilis*; Marguillier *et al.* (1997) encontrou 2.20‰ e Bouillon *et al.* (2004b) encontrou $4.70 \pm 1.20\text{‰}$. ambos para *C.decollata* (espécie também encontrada neste estudo, com valores aproximados a este último nas zonas "limpas"). Para

valores de $\delta^{13}\text{C}$ de *C. decollata*, Marguillier *et al.* (1997) encontrou o valor de -20.54‰, Bouillon *et al.* (2004b) encontrou -21.60 ± 0.80 . Bouillon *et al.* (2002a) obteve médias de -26‰ e -25‰ para $\delta^{13}\text{C}$ de gastrópodes, enquanto, neste estudo, as médias foram, para mangais "limpos", $-22.54 \pm 2.12\%$ e para mangais poluídos por esgoto, $-19.29 \pm 3.09\%$.

A fauna visitante (peixes e camarões) dos mangais sob influência de esgoto apresentaram valores isotópicos médios de nitrogénio muito elevados quando comparados com os não poluídos. Em termos de $\delta^{13}\text{C}$, a diferença não foi tão evidente, sendo a maior diferença das médias de -3.94‰. Chong *et al.* (2001) foram os únicos autores encontrados com um valor de nitrogénio isotópico tão elevado (21.5‰ para o camarão *Penaeus merguensis*) como os apresentados pelas áreas poluídas por esgoto. No entanto, os valores encontrados pelas áreas "limpas" são mais frequentes em vários estudos: Bouillon *et al.* (2002b) ($9.50 \pm 1.10\%$), Abreu (2003) (escala de 5.60 a 6.70‰), Macia (2004b) (5.00 a 11.80‰), sendo todos estes valores para várias espécies de camarões penaeideos.

4.2. Comparação dos dois tipos de mangal, com base nas diferenças de $\delta^{13}\text{C}$ e $\delta^{15}\text{N}$ das espécies comuns e das prováveis fontes

4.2.1. Comparação entre produtores primários

Os produtores primários não apresentaram diferenças entre as duas áreas poluídas por esgoto (CSA1 e CSA2). As espécies *A.marina*, *R.mucronata* e *S.portulacastrum* exibiram diferenças na composição isotópica de carbono entre as áreas "limpas" (Ponta Rasa e Saco) e, entre áreas poluídas e não poluídas por esgoto. Diferenças na composição isotópica de carbono entre duas áreas, pode estar relacionada com importação e uso de diferentes substratos de

carbono e com diversos factores ambientais. Para plantas C_3 , como as árvores de mangal, isto resulta numa escala relativamente extensa de valores de $\delta^{13}C$ (-35.1 a -21.9 ‰) (Bouillon, 2003). O CO_2 debaixo de copas de árvores nas florestas densas, pode ter valores de $\delta^{13}C$ significativamente mais negativos comparando com o das florestas mais expostas, devido à contribuição do CO_2 respirado do solo (Flanagan *et al.* 1996, citado por Bouillon, 2003), do mesmo modo, folhas retiradas das partes inferiores da copa da árvore podem apresentar valores mais negativos de $\delta^{13}C$ que as da parte mais exposta da copa. Assim, a localização, na planta, da própria folha analisada pode causar as diferenças ou semelhanças nos valores isotópicos de carbono obtidas. Vários autores têm referido uma relação entre a salinidade e a $\delta^{13}C$. Medina e Francisco (1997) (citados por Bouillon, 2003) encontraram valores de $\delta^{13}C$ mais baixos em mangais crescendo a salinidades baixas do que em plantas crescendo em salinidades altas. Lin e Sternberg (1992) (citados por Bouillon, 2003) mostraram que concentrações mais elevadas de nutrientes diminuí os valores de $\delta^{13}C$, mas Kao *et al.* (2001) e McKee *et al.* (2002) (ambos citados por Bouillon, 2003) não descobriram nenhuma evidência deste efeito nas espécies *K. candel* e *R. mangle*, respectivamente. Por isso, a relação entre a $\delta^{13}C$ dos mangais e os factores ambientais parece ser mais complexa do que muitas vezes é assumido, tornando-se difícil explicar as razões das diferenças encontradas entre as várias zonas para os valores de $\delta^{13}C$, especialmente pelo facto de não terem sido estudadas as condições ambientais dos locais amostrados.

Em termos de nitrogénio, os produtores primários não exibiram diferenças entre as duas áreas poluídas por esgoto, mas, apresentaram diferenças entre pelo menos uma área poluída e uma não poluída por esgoto; as espécies *C. tagal*, *C. diffusa* e *S. portulacastrum*, mostraram diferenças entre a Ponta Rasa e o Saco. Valores de $\delta^{15}N$ das plantas reflectem não só a composição isotópica da fonte de N (que pode ser NH_4^+ ou NO_3^-), mas também o fraccionamento durante a assimilação enzimática e o fluxo de nitrogénio para fora da planta. Vários estudos tentam relacionar os valores de $\delta^{15}N$ com factores ambientais. Por

exemplo, Handley *et al.* 1999 (citado por Bouillon, 2003) correlacionou negativamente o $\delta^{15}\text{N}$ das plantas (ou solos) com a disponibilidade da água. No entanto, também ocorrem casos em que locais húmidos são mais enriquecidos em ^{15}N em relação a locais secos, o que normalmente é explicado por maiores taxas de denitrificação em ecossistemas húmidos, deixando uma porção de N residual enriquecido em ^{15}N disponível para as plantas (Bouillon, 2003).

No que diz respeito às diferenças entre as zonas poluídas e as não poluídas, as plantas podem absorver e assimilar nitrogénio derivado do esgoto. As várias fontes de nitrogénio poluentes nos ecossistemas costeiros, normalmente têm razões $^{15}\text{N}/^{14}\text{N}$ diferentes, fornecendo um meio de identificar a fonte de poluição. Por exemplo, nitrogénio de fertilizantes e nitrogénio derivado do esgoto, possuem diferenças nas assinaturas de $\delta^{15}\text{N}$. O método principal de produção de nitratos e amónia fertilizantes é por fixação industrial de nitrogénio atmosférico, resultando em valores de $\delta^{15}\text{N}$ aproximados a zero. No entanto, o nitrogénio dos resíduos animais ou de esgoto é excretado principalmente na forma de ureia, que, quando hidrolizada, produz um aumento temporário do pH, que favorece a conversão para amónia, que é facilmente perdida por volatilização para a atmosfera. O fraccionamento durante este processo, resulta na depleção de ^{15}N da amónia que é perdida do sistema. O amoníaco restante, que corresponde ao rico em ^{15}N , é subsequentemente convertido em nitrato rico em ^{15}N , que pode ser lixiviado ou dispersar-se com a água. A elevada assinatura de $\delta^{15}\text{N}$ do esgoto tratado (~10‰) distingue-se assim de outras fontes que entram nos ecossistemas marinhos (Heaton, 1986, citado por Constanzo *et al.* 2001) e, assim, elevadas assinaturas de $\delta^{15}\text{N}$ de tecidos de plantas podem ser atribuídas à água contaminada (McClelland *et al.*, 1997 citado por Constanzo *et al.* 2001) e/ou a efluentes de esgoto (Cabana e Rasmussen, 1996; Hansson *et al.*, 1997; Hobbie e Fry, 1990, Grice *et al.*, 1996, Udy e Dennison, 1997, citados por Constanzo *et al.* 2001).

4.2.2. Comparação entre macrobentos e comparação entre fauna visitante

As diferenças entre as áreas relativamente à composição isotópica de carbono das espécies, pode estar relacionada com a assimilação de diferentes fontes de carbono por diferentes espécies. No entanto, questões como a variabilidade ecológica (intervalo de valores de 0.2 a 2.0‰ de desvio padrão encontrados em animais da mesma espécie criados em ambientes similares e alimentados com o mesmo alimento) (De Niro e Epstein 1978; Tieszen *et al.* 1983; Teeri e Schoeleo 1979, Fry 1981, Anderson *et al.* 1987, citados por Gearing, 1991) e variabilidade analítica (erro associado ao espectrómetro cotado em ± 0.1 a 0.3% dependendo do tipo de espectrómetro de massa usado) (Gearing, 1991), podem implicar diferenças significativas entre a mesma espécie nas diferentes áreas. Para além disso, indivíduos da mesma espécie podem se diferenciar dependendo do seu estado bioquímico (antes ou depois da desova, saudável ou doente, gordo ou magro), devido ao facto de diferentes bioquímicos no mesmo animal possuírem razões isotópicas diferentes. Carbohidratos, proteínas e lípidos podem ser diferentes em 5 a 10‰, enquanto diferenças entre 2 a 5‰ podem ser encontradas entre diferentes classes de lípidos ou aminoácidos individuais (Gearing 1991). No presente estudo, não foram tomados em conta, aspectos como a saúde, a idade e o tamanho do indivíduo.

Todas as espécies faunísticas, apresentaram valores de $\delta^{15}\text{N}$ mais enriquecidos nas zonas poluídas que nas não poluídas, tendo apresentado, todas, diferenças entre pelo menos uma zona “não limpa” e uma não poluída. O facto de nas zonas “não limpas” a $\delta^{15}\text{N}$ ser muito mais elevada que nos mangais “limpos”, pode sugerir que haja uma cadeia trófica mais complexa nos mangais poluídos por esgoto que nos “limpos”, sugerindo um maior número de níveis e ligações tróficas entre as espécies, visto que Bouillon *et al.* (2002a, 2002b) verificaram que níveis tróficos elevados possuem $\delta^{15}\text{N}$ mais elevado que níveis mais baixos. Este enriquecimento pode sugerir, também, que a poluição nas áreas CSA1 e

CSA2 tenha elevado os níveis de nitrogénio das possíveis fontes, ou que o próprio poluente esteja a servir de fonte de nitrogénio (Riera *et al.* 2000). Hansson *et al.* (1997; citado por Riera *et al.* 2000) observaram que uma descarga de esgoto aumentava o $\delta^{15}\text{N}$ em diferentes níveis tróficos pelágicos, incluindo o fitoplâncton, camarões e peixes. Frankignoulle *et al.* (1996; citado por Riera *et al.* 2000) observaram que o enriquecimento de $\delta^{15}\text{N}$ na cadeia trófica pode ser relacionado com áreas densamente urbanizadas, pois a importação de nitrogénio dos resíduos nos mangais aumentam com a urbanização (McClelland & Valliela, 1998, citados por Riera *et al.* 2000). Deste modo, organismos em zonas impactadas por esgoto apresentam um sinal de $\delta^{15}\text{N}$ mais elevados que zonas não expostas (Risk e Erdmann, 2000).

4.2.3. Comparação entre sedimento e comparação entre MOPS

A Ponta rasa e as duas áreas da Costa do Sol, apresentaram diferenças relativamente a $\delta^{13}\text{C}$ do sedimento, tendo sido os valores encontrados para a Ponta Rasa, mais negativos que os encontrados para as áreas "não limpas". A composição isotópica de carbono do sedimento para a Ponta Rasa ($-24.90 \pm 0.22\text{‰}$), apresentou valores bastante próximos aos encontrados para as folhas de mangal ($-25.11 \pm 0.80\text{‰}$) e halófitas ($-24.98 \pm 2.39\text{‰}$), sugerindo uma contribuição maioritária destes produtores primários para a composição dos sedimentos. O mesmo não acontece para as zonas poluídas, em que a matéria orgânica dos sedimentos, é caracterizada por valores relativamente altos de $\delta^{13}\text{C}$ (CSA1: $-20.45 \pm 0.45\text{‰}$; CSA2: $-20.57 \pm 0.57\text{‰}$), indicando que a matéria orgânica derivada das árvores de mangal e das halófitas não constituem as principais fontes de carbono para o sedimento. Bouillon *et al.* (2002b) e Dehairs *et al.* (2000) fizeram observações semelhantes a esta. Na verdade, as comunidades dos mangais intertidais, têm acesso a uma grande variedade de fontes de carbono e nitrogénio: *inputs* do próprio mangal (nutrientes do próprio

sedimento, microfítobentos, uma vasta variedade de epífiora, etc.) e fontes importadas com as marés (fitoplâncton, matéria orgânica derivada de áreas de ervas marinhas adjacentes, etc.) (Bouillon *et al.* 2004b). Assim, torna-se possível que outras fontes tenham enriquecido o sedimento em ^{13}C . Ervas marinhas, por exemplo, normalmente apresentam valores de $\delta^{13}\text{C}$ menos negativos (ex. Hemminga *et al.*, 1994; Dehairs, *et al.* 2000). Apesar de não ter sido observado um desenvolvimento significativo destas nas áreas poluídas por esgoto, pode ser que as áreas adjacentes contribuam para a matéria orgânica dos mangais. Outro exemplo é o das microalgas bentónicas; Abreu (2003) obteve uma média de $-19.40 \pm 2.60\text{‰}$ no mangal do Saco e Rodelli *et al.* (1984, citado por Dehairs, *et al.* 2000), estudando um mangal na Malásia, obteve uma média de -17.80‰ , o que demonstra que, as microalgas bentónicas podem representar uma potencial fonte de enriquecimento em ^{13}C . Por outro lado, o facto de as zonas poluídas possuírem fontes de nutrientes derivadas de esgoto, pode causar o aumento da composição isotópica de carbono nos sedimentos, como referido por Cifuentes *et al.* (1988). Deste modo, as diferenças encontradas entre as razões isotópicas de carbono do sedimento das áreas "não limpas" e da Ponta Rasa, podem ser justificadas pela acumulação de diferentes fontes de carbono no sedimento.

O sedimento, apresentou uma composição isotópica de nitrogénio mais elevada nas áreas poluídas por esgoto do que nas "limpas", apresentando diferenças significativas. Tal verificação, está de acordo com outros estudos realizados. Riera *et al.* (2000), verificou um aumento em valores de $\delta^{15}\text{N}$ nas reservas de nitrogénio inorgânico (nitrato + amónia) de 0.50‰ a 9.50‰ como resultado de um aumento da contribuição de nitrogénio de resíduos antropogénicos. Também Owens (1987), Hobbie *et al.* (1990) e Hansson *et al.* (1997) (todos citados por Riera *et al.*, 2000), reportaram que, nitrato enriquecido em ^{15}N derivado de resíduos antropogénicos de áreas urbanizadas tende a aumentar a $\delta^{15}\text{N}$ de reserva de nitrogénio inorgânico e depois a de produtores primários.

Resíduos antropogénicos, por si só, parecem ter valores isotópicos elevados, provavelmente devido à denitrificação. Num fluxo de esgoto, Desimone e Howes

(1996, citados por Voss *et al.*, 2000), descobriram nitrato com valores de $\delta^{15}\text{N}$ de 9.8‰ e amónia com valores de 18–25‰. O nitrato derivado de sistemas sépticos torna-se enriquecido em ^{15}N devido à volatilização da amónia leve e processos de denitrificação (McClelland e Valliela, 1998, citado por Riera *et al.*, 2000). Waldron (2001) apresentou valores de $\delta^{15}\text{N}$ para descargas de esgoto de $10.7 \pm 0.7\text{‰}$.

Em relação à matéria orgânica particulada em suspensão (MOPS), embora não se tenham aplicado testes estatísticos, devido ao reduzido número de replicados, observou-se que os valores de $\delta^{13}\text{C}$ da CSA1 são diferentes dos das restantes áreas. A área CSA1 apresentou valores menos negativos (-18.59‰ e -21.08‰) que as restantes áreas e, foi a que se distanciou mais dos valores de $\delta^{13}\text{C}$ das árvores de mangal ($-27.12 \pm 2.39\text{‰}$). Isto sugere uma menor contribuição das árvores de mangal para a sua composição isotópica do que nas restantes áreas, podendo-se suspeitar de uma maior contribuição de outras fontes com valores isotópicos de carbono mais elevados, por exemplo, microalgas bentónicas (Dehairs, *et al.* 2000), que não foram analisadas neste estudo.

Relativamente aos valores de $\delta^{15}\text{N}$, verificou-se que as zonas poluídas apresentam valores mais elevados que as zonas não poluídas, o que está de acordo com a literatura. Riera *et al.* (2000), por exemplo, observou valores mais elevados de $\delta^{15}\text{N}$ da MOPS pertencente a locais sujeitos a resíduos antropogénicos do que em outras áreas.

4.3 Comparação dos dois tipos de mangal em estudo com base nas prováveis fontes de C e N dos seus organismos

4.3.1. Caranguejos

Os resultados do presente trabalho, indicam que *N. meinerti*, não se alimenta somente de material vegetal, como mencionado por vários autores. Dahdouh-Guebas *et al.* (1997), por exemplo, verificaram, que a dieta de *N. meinerti* consistia maioritariamente de folhas de mangais com apenas alguma matéria animal. Como este autor, a maior parte dos estudos experimentais dos hábitos alimentares dos caranguejos Sesarmideos incluem apenas material foliar de mangais (Steinke *et al.* 1993; Kwok e Lee 1995, citados por Bouillon *et al.* 2002a). Contudo, muitos outros autores sugerem exploração de uma maior escala de fontes alimentares sob condições naturais (Micheli 1993; Lee 1997, citados por Bouillon *et al.* 2002a; Vannini e Cannicci, 2003). *N. meinerti* alimenta-se maioritariamente de folhas (Fratini *et al.* 2001; Vannini e Cannicci, 2003), mas pode consumir insectos e outros caranguejos (Vannini e Cannicci, 2003). Skov e Hartnoll (2002, citados por Bouillon, 2003) afirmam que a maioria das espécies de sesarmideos, passam muito tempo alimentando-se da superfície do sedimento e que consumirão uma grande variedade de outras fontes de alimento, quando estas estiverem disponíveis. Estas últimas observações vão ao encontro aos resultados obtidos no presente estudo, em que o sedimento (para além de outras fontes) aparenta ser alimento de *N. meinerti* (nas 4 áreas), *P. guttatum* (Saco, Ponta Rasa e CSA1) e *P. catenata* (CSA2). Segundo Lee (2000), os *Perisesarma* e *Paraesarma* demonstram ser os maiores consumidores de carbono das folhas de mangal caídas e também alimentam-se de matéria orgânica do sedimento. *Perisesarma guttatum*, como mencionado por Vannini e Cannicci (2003) e Schrijvers *et al.* (1998), apresentam uma preferência alimentar virada para a matéria orgânica vegetal, podendo alimentar-se de matéria orgânica de animais, partículas inorgânicas, diatomácias, meiofauna e insectos

A espécie *U. annulipes* e *U. inversa*, encontradas no mangal da Ponta Rasa, possuem uma dieta correspondente à encontrada na literatura. Alguns autores afirmam que espécies como a *Uca* sp. e *Macrophthalmus* sp. alimentam-se de depósitos, seleccionando diatomácias bentónicas ou cyanobacterias (ex. Rodelli *et al.* 1984; France 1998, citado por Bouillon, 2003; Bouillon *et al.* 2002a).

Vannini e Cannicci (2003), afirmam que a *Uca* alimenta-se filtrando o sedimento para remover microalgas e que o *Macrophthalmus* alimenta-se de detritos. No entanto, no que diz respeito à *U.inversa* encontrada no mangal do Saco, não se encontrou nenhuma referência na literatura sobre a alimentação desta usando gramíneas. No mangal CSA1, não foi possível identificar a provável fonte de carbono para a *U.annulipes* nem para a *M.depressus*, sugerindo a presença de outra fonte não identificada nem visualizada no local de amostragem.

4.3.2. Gastrópodes

Fratini (2003) indica que *Cerithidea decollata* alimenta-se de detritos e de microalgas, Marguillier *et al.* (1997) obteve resultados que indicam que esta espécie se possa alimentar de uma mistura de detritos locais do mangal e importados de ervas marinhas. Bouillon *et al.* (2002a) verificaram que a espécie *Cerithidea obtusa*, apresentava assinaturas de $\delta^{13}\text{C}$ intermediárias entre as do carbono orgânico do sedimento e das microalgas bentónicas, indicando pouca ou nenhuma assimilação de carbono das árvores de mangal. Consistentes com esta observação, estão os resultados deste estudo, em que a espécie *C.decollata* mostrou alimentar-se de microalgas bentónicas (no mangal do Saco) e de sedimento (área CSA2). No entanto, a mesma espécie, no mangal da Ponta Rasa, apresenta valores de $\delta^{13}\text{C}$ e de $\delta^{15}\text{N}$ que permitem afirmar, que neste mangal, o carbono das árvores e das halófitas contribuem fortemente para a sua dieta.

No presente estudo, *L.scabra*, mostrou alimentar-se de folhas de mangal e de halófitas, somente no mangal CSA1. Nos restantes mangais, os valores isotópicos de nitrogénio para esta espécie, mostraram-se reduzidos demais para afirmar que esta espécie se alimente destas fontes, isto sugere a presença de outra fonte com valores de $\delta^{15}\text{N}$ menos elevados que os das folhas de mangal ou das halófitas. Bouillon (2003) reportou que a *Littoraria* se alimenta de

microorganismos presos às raízes e caules (Bouillon, 2003). Em concordância com o presente trabalho, Bouillon *et al.* (2002a), obtiveram valores de $\delta^{15}\text{N}$ reduzidos (-1.7‰ a $+2.6\text{‰}$), e reportaram que, embora às vezes seja sugerido que *Littoraria sp.* se alimenta nos pêlos das folhas de *Avicennia*, é geralmente aceite que se alimentem de superfícies de troncos e raízes onde se alimentam de microepífitas (Reid 1986, Blanco e Cantera 1999, citados por Bouillon *et al.* 2002a). Segundo Fratini (2003), *Littorina scabra* alimenta-se de algas, líquenes e fungos que podem estar nas árvores. Os valores baixos de $\delta^{15}\text{N}$ da *Littoraria* sugerem que as epífitas são fixadoras de N_2 visto que foi reportado que o processo de fixação de nitrogénio resulta num fraccionamento de $0-4\text{‰}$ (Kohl e Shearer 1980, citados por Bouillon 2002a) relativamente ao N_2 atmosférico ($\delta^{15}\text{N}_{\text{ar}}=0\text{‰}$, Voss *et al.*, 2000; Kumar *et al.* 2004). Fixação de nitrogénio por cyanobactérias, nos ramos dos mangais também foi demonstrada noutros estudos (Sheridan, 1991, citado por Bouillon *et al.* 2002a)

4.3.3. Fauna visitante

Algumas espécies de camarões são conhecidas como detritívoras (Macia, 2004b), e o camarão carídeo, do Saco, pode ser uma delas alimentando-se de matéria orgânica do sedimento e de plâncton. Na Ponta Rasa, as razões isotópicas do camarão carídeo, mostram que este parece alimentar-se apenas de plâncton.

A espécie *A.natalensis* (peixe), no Saco e na Ponta Rasa, aparenta alimentar-se do camarão carídeo e apresenta uma pequena evidência de assinaturas isotópicas de plâncton e, apenas no Saco, de sedimento. Contudo van der Elst (1993) indica que esta espécie alimenta-se de crustáceos planctónicos (ex. Copepodes).

A espécie *L.richardsonii*, no mangal do Saco, apresenta uma preferência por plâncton, enquanto que na Ponta Rasa a preferência parece ser o camarão

carídeo. No entanto, van der Elst (1993) reporta que esta espécie alimenta-se de diatomácias e já foi visto a ingerir partículas de areia.

Nas áreas CSA1 e CSA2, os peixes e os camarões, apresentaram valores isotópicos de $\delta^{13}\text{C}$ e de $\delta^{15}\text{N}$ muito elevados e que não permitem a identificação da provável fonte, podendo-se apenas afirmar que estas espécies são predadoras e pertencem a níveis tróficos elevados. Os peixes, na CSA2, parecem todos usar a mesma fonte, excepto *T.jarbua*, que aparenta pertencer ao topo da cadeia trófica deste mangal, tendo em conta apenas as espécies encontradas). *T.jarbua* alimenta-se de peixes e crustáceos, e, muitas vezes alimenta-se de escamas de peixes vivos, visto estas serem formadas pela proteína queratina (van der Elst, 1993). Cocheret de la Morinière *et al.* (2003) considera *Lutjanus* um zoobentívoro e piscívoro e, van der Elst (1993) reporta que este se alimenta de outros peixes e de crustáceos.

Abreu (2003), afirmou que juvenis de *P.indicus*, aparentemente, se alimentam de plâncton como principal fonte, e adultos alimentam-se de, provavelmente, plâncton e ervas marinhas. Esta autora sugeriu, também, que este camarão é um consumidor primário ou secundário. Esta espécie, no presente trabalho, foi somente encontrada nos mangais poluídos por esgoto e a sua fonte de carbono e nitrogénio não foi possível identificar. Chong (1979) e Chong e Sasekumar (1981, citados, entre outros, por Rodelli, 1984) indicam que camarões penaeídeos são omnívoros, embora possam mostrar uma preferência por alimento animal em vez de detritos.

5. CONCLUSÕES

A $\delta^{15}\text{N}$ dos mangais sob influência de esgoto urbano e dos não influenciados, em relação às espécies faunísticas e às prováveis fontes são, no geral, diferentes.

A diferença entre as razões isotópicas de carbono dos dois tipos de mangal é menos evidente que entre as de nitrogénio, no entanto, as espécies faunísticas apresentam, no geral, diferenças.

As prováveis fontes de carbono e nitrogénio das espécies comuns aos dois tipos de mangal, mostraram-se diferentes para as espécies *P.catenata* e *U.annulipes* e *C.decollata*. Os números de prováveis fontes de C e N, para *N. meinerti* e *P.guttatum*, foram diferentes entre os mangais "limpos" e os "não limpos".

Não foi possível identificar as fontes de C e N para a fauna visitante dos mangais poluídos por esgoto, não tendo sido feita assim, uma comparação em relação às prováveis fontes, entre os mangais "limpos" e os "não limpos".

Cada espécie, comum aos dois tipos de mangal, aparenta pertencer ao mesmo nível trófico em todos os mangais (ver tabela 1), sugerindo que a poluição por esgoto urbano, não altera a posição trófica de uma espécie.

6. RECOMENDAÇÕES

Para um conhecimento mais aprofundados sobre as diferenças entre mangais sob efeito de esgoto urbano e mangais intactos, usando um estudo isotópico duplo, recomenda-se que:

- Uma investigação de possíveis mudanças ontogénicas das espécies;
- Uma atenção ao estado bioquímico (antes ou depois da desova, saudável ou doente, gordo ou magro) dos indivíduos a serem analisados;
- Uma medição de parâmetros ambientais e, emprego de maior esforço na amostragem e análise envolvendo mais possíveis fontes (ex. Algas microbentónicas, fito e zooplâncton, etc.) e descargas de esgoto.
- Estudo das influências das descargas de viveiros de mariscos, visto na Costa do Sol haver um destes.

7. BIBLIOGRAFIA E SITES

- Abreu, D.C.; 2003; O Papel dos Detritos de Mangal na Nutrição de Camarões Penaeideos: Um Estudo Isotópico Duplo na Ilha da Inhaca, Moçambique. Trabalho de Licenciatura; Departamento de Ciências Biológicas, Universidade Eduardo Mondlane, Moçambique. 51pp.
- Bouillon, S.; P. Chandra Mohan; N. Sreenivas; F. Dehairs. 2000. Sources of suspended organic matter and selective feeding by zooplankton in an estuarine mangrove ecosystem as traced by stable isotopes. Marine Ecology Progress Series. 208: 79–92.
- Bouillon, S.; N. Koedam; A.V. Raman e F. Dehairs. 2002a. Primary producers Sustaining Macro-invertebrate Communities in Intertidal mangrove Forests. Oecologia, 130: 441 – 448.
- Bouillon, S.; A. V. Raman; P. Dauby; F. Dehairs. 2002b. Carbon and Nitrogen Stable Isotope Ratios of Subtidal Benthic Invertebrates in an Estuarine Mangrove Ecosystem (Andhra Pradesh, India) Estuarine, Coastal and Shelf Science. 54: 901–913.
- Bouillon, S. 2003. Organic Carbon in a Southeast Indian Mangrove Ecosystem: Sources and Utilization by Different Faunal Communities. Trabalho de Doutorado. Vrije Universiteit Brussel Faculteit Wetenschappen Departement Analytische- & Milieuchemie. 334pp.
- Bouillon, S.; F. Dahdouh-Guebas; A.V.V.S. Rao; N. Koedam; F. Dehairs. 2003. Sources of Organic Carbon in Mangrove Sediments: Variability and Possible Ecological Implications. Hydrobiologia. 495: 33–39.
- Bouillon, S.; T. Moens e F. Dehairs. 2004a. Carbon sources supporting benthic mineralization in mangrove and adjacent seagrass sediments (Gazi Bay, Kenya) Biogeosciences, 1: 71–78.

- Bouillon, S.; T. Moens; I. Overmmer; N. Koedam; F. Dehairs. 2004b. Resource utilization patterns of epifauna from mangrove forests with contrasting inputs of local versus imported organic matter. Marine Ecology Progress Series, 278: 77–88.
- Bouillon, S.; N. Koedam; W. Baeyens; B. Satyanarayana; F. Dehairs. 2004c. Selectivity of subtidal benthic invertebrate communities for local microalgal production in an estuarine mangrove ecosystem during the post-monsoon period. Journal of Sea Research. 51:133– 144.
- Bouillon, S.; T. Moens ; N. Koedam; F. Dahdouh-Guebas; W. Baeyens; F. Dehairs. 2004d. Variability in the origin of carbon substrates for bacterial communities in mangrove sediments. Microbiology Ecology (artigo submetido).
- Branch, G.M.; C.L. Griffiths; M.L. Branch, L.E. Beckly. 1994. Two Oceans: A Guide to the Marine Life of Southern Africa. 360pp.
- Chong, V.C.; C.B. Low; T. Ichikawa. 2001. Contribution of Mangrove Detritus to Juvenile Prawn Nutrition: a Dual Isotope Study in a Malaysian Mangrove Forest. Marine Biology. 138:77 – 86.
- Cloern, J. E., E. A. Canuel; D. Harris. 2002. Stable carbon and nitrogen isotope composition of aquatic and terrestrial plants of the San Francisco Bay estuarine system. Limnology and Oceanography. 47: 713-729.
- Cocheret de la Monière, E.; B.J.A. Pollux; I. Nagelkerken; M.A. Hemminga; A.H.L. Huiskes; G. van der Velde. 2003. Ontogenetic Dietary Changes of Coral Reef Fishes in the Mangrove-Seagrass-Reef Continuum: Stable Isotopes and Gut-Content Analysis. Marine Ecology Progress Series. 246: 279 – 289.

- Constanzo, S.D.; M.J. O'Donohue; W.C. Dennison; N.R. Loneragan; M. Thomas. 2001. A New Approach for Detecting and Mapping Sewage Impacts. Marine Pollution Bulletin. 42(2): 149 – 156.
- Dahdouh-Guebas, F.; M. Verneirt; J. F. Tack; N. Koedam. 1997. Food preferences of *Neosarmatium meinerti* de Man (Decapoda: Sesarminae) and its possible effect on the regeneration of mangroves. Hydrobiologia. 347: 83 –89.
- de Boer, F.W. (2000) Biomass Dynamics of Seagrasses and the Role of Mangrove and Seagrasses Vegetation as Different Nutrient Sources for an Intertidal Ecosystem in Mozambique. Aquatic Botany, 66: 225-239.
- de Boer, F.W., L. Rydberg e V.Saide. 2000. Tides, Tidal Currents and Their Effects on The Intertidal Ecosystem of The Southern Bay, Inhaca Island, Mozambique. Hydrobiologia. 428: 187-196.
- de Boer, W.F. e Prins, H.H.T. 2002. Human exploitation and benthic community structure on a tropical intertidal flat. Journal of Sea Research 48: 225–240.
- Dehairs, F.; R. G. Rao; P. Chandra Mohan; A.V. Raman; S. Marguillier; L. Hellings. (2000). Tracing mangrove carbon in suspended matter and aquatic fauna of the Gautami–Godavari Delta, Bay of Bengal (India). Hydrobiologia, 431: 225–241.
- DeNiro, M.J. e Epstein, S. (1978). Influence of Diet on The Distribution of Carbon Isotopes in Animals. Geochimica et Cosmochimica Acta. 42:495 – 506.
- Fantle, M.S.; Dittel, A.I.; Schwalm, S.M.; Epifanio, C.E; Fogel, M.L.; 1999. A Food Web Analysis of the Juvenile Blue Crab, *Callinectes sapidus*, Using Stable Isotopes in Whole Animals and Individual Amino Acids. Oecologia, 120:416 – 426.

- Fleming, M.; G. Lin, G. e L.S.L. Sternberg. 1990. Influence of Mangrove Detritus In An Estuarine Ecosystem. Bulletin of Marine Science 47 (3): 663-669.
- Flores, A.A.V.; J. Paula e J. Saraiva. 2002. Sexual maturity, reproductive cycle and juvenile recruitment of *Parasesarma catenata* (Brachyura, Sesamidae) at Ponta Rasa mangrove swamp, Inhaca Island, Mozambique. Journal of Crustacean Biology, 22(1): 143-156.
- Flores, A.A.V; K.G. Abrantes; J. Paula. (2005) Estimating abundance and spatial distribution patterns of the bubble crab *Dotilla fenestrata* (Crustacea: Brachyura). Austral Ecology 30 (1): 14
- Fratini, S.; S. Cannicci; M. Vannini. (2001). Feeding clusters and olfaction in the mangrove snail *Terebralia palustris* Linnaeus Potamididae: Gastropoda. Journal of Experimental Marine Biology and Ecology. 261 173–183
- Fratini, S. 2003. Molluscs. In <http://www.specola.unifi.it/mangroves/fauna/inv/molluscs1.htm>.
- Gannes, L.Z.; D.M. O'Brien e C.M. Del Rio. 1997. Stable Isotopes in Animal Ecology: Assumptions, Caveats, and a Call for More Laboratory Experiments. Ecology, 78 (4): 1271 – 1276.
- Gearing, J.N. 1991. The Study of Diet and Trophic Relationships through Natural Abundance ¹³C. In Carbon Isotope Techniques. Academic press, Inc. Canada, Cap 13.
- Guerreiro, J.; S. Freitas; P. Pereira; J. Paula; A. Macia. 1996. Sediment Macrobenthos of Mangrove Flats at Inhaca Island, Mozambique. Cahiers de Biologie Marine. 37: 309 – 327.
- Hemminga, M.A.; F.J. Slim; J. Kazungu; G.M. Ganssen; J. Nieuwenhuize e N.M. Kruyt. (1994). Carbon Outwelling from a Mangrove Forest with Adjacent

Seagrass Beds and Coral Reefs (Gazi Bay, Kenya). Marine Ecology Progress Series, 106: 291-301.

- Hemminga, M.A., P. Gwada; F.J. Slim; P. de Koeyer; J. Kazungu. 1995. Leaf production and nutrient contents of the seagrass *Thalassodendron ciliatum* in the proximity of a mangrove forest (Gazi Bay, Kenya). Aquatic Botany. 50: 159 – 170.
- Hogueane, A.M.; A.E. Hill; J.H. Simpson e D.G. Bowers. 1999. Diurnal and Tidal Variation of Temperature and Salinity in the Ponta Rasa Mangrove Swamp, Mozambique. Estuarine, Coastal and Shelf Science, 49: 251-264.
- Impacto. 1996. Mitos e Lendas na Gestão Tradicional dos Recursos Naturais (Ilha da Inhaca). Impacto, Projectos e Estudos de Impacto Ambiental, Lda. 57pp.
- Kalk, M. 1995. A Natural History of Inhaca Island, Mozambique. Third Edition. 395pp. Johannesburg, Witwatersrand University Press.
- Kwak, T.J. e Zedler, J.B. 1997. Foodweb Analysis of Southern California Coastal Wetlands Using Multiples Stable Isotopes. Oecologia. 110: 262 – 277.
- Lallier-Verges, E.; B. P. Perrussel; J.R. Disnar; F. Baltzer. 1998. Relationships between environmental conditions and the diagenetic evolution of organic matter derived from higher plants in a modern mangrove swamp system (Guadeloupe, French West Indies). Organic Geochemistry. 29(5–7):1663 – 1686
- Lee, S.Y. 1995. Mangrove outwelling: a review. Hydrobiologia, 295: 203-212.

- Lepoint, G.; F. Nyssen; S. Gobert; P. Dauby; J.-M. Bouquegneau. 2000. Relative impact of a seagrass bed and its adjacent epilithic algal community in consumer diets. Marine Biology. 136: 513 – 518
- Litulo, C. 2004. Reproductive Aspects of a Tropical Population of the Fiddler Crab *Uca annulipes* (H.Milne Edwards, 1837) (Brachyura: Ocypodidae) at Costa do Sol Mangrove, Maputo Bay, Southern Mozambique. Hydrobiologia, 525: 167-173.
- Macia, A. 2004a. Juvenile Penaeid Shrimp Density, Spatial Distribution and Size Composition in four adjacent habitats within a Mangrove-Fringed Bay on Inhaca Island, Mozambique. Western Indian Ocean Journal of Marine Science (WIOMSA) 3 (2): 163–178.
- Macia, A. 2004b. Primary Carbon Sources for Juvenile Penaeid Shrimps in a Mangrove-Fringed Bay of Inhaca Island, Mozambique: A Dual Carbon and Nitrogen Isotope Analysis. Western Indian Ocean Journal of Marine Science (WIOMSA), 3(2):151–161.
- Marguillier, S.; G. van de Velde; F. Dehairs; M.A. Hemminga; S. Rajagopal. 1997. Trophic Relationships in an Interlinked Mangrove-Seagrass Ecosystem as Traced by $\delta^{13}\text{C}$ and $\delta^{15}\text{N}$. Marine Ecology Progress Series. 151: 115 – 121.
- Newell, R.I.E., N. Marshall, A. Sasekumar e V.C. Chong. 1995. Relative Importance Of Benthic Microalgae, Phytoplankton, and Mangroves as Sources of Nutrition For Penaeid Prawns and Other Coastal Invertebrates From Malasya. Marine Biology 123: 595-606.
- Nybakken, J.W. (1993). Marine Biology - An ecological approach. 3ª edição, Harper Collins College Publishers. 147-151, 371 - 382, 425 - 427pp
- Pereira, M.Á.M e P. M. B. Gonçalves. 2000a. A Preliminary Investigation of the Effects of Human Physical Disturbance on the Ecology of the Soldier

Crab *Dotilla fenestrata* (Crustacea, Ocypodidae) at Praia da Costa do Sol, Maputo. Apresentado na 2ª Conferência Nacional sobre Investigação na Zona Costeira, Maputo, Setembro 27-29.

- Pereira, M.A.M e P. M. B. Gonçalves. 2000b. Influence of Human Exploitation of Intertidal Mollusk Resources on the Selection and Utilisation of Gastropod Shells by the Hermit Crab *Clibanarius longitarsus* (de Haan) in Costa do Sol Mangrove, Maputo. Apresentado na 2ª Conferência Nacional sobre Investigação na Zona Costeira, Maputo, Setembro 27-29.
- Primavera, J.H. (1996). Stable carbon and nitrogen isotope ratios of penaeid juveniles and primary producers in a riverine mangrove in Guimaras, Philippines. Bulletin of Marine Science, 58 (3): 675 -683.
- Richmond, M.D. 1997. A Guide to the Seashores of Eastern Africa and the Western Indian Ocean Islands. 448pp. Tanzania. SIDA.
- Riera, R.; L.J. Stal; J. Nieuwenhuize. 2000. Heavy $\delta^{15}\text{N}$ in Intertidal Benthic Algae and Invertebrates in the Scheldt Estuary (The Netherlands): Effect of River Nitrogen Inputs. Estuarine, Coastal and Shelf Science. 51: 365–372.
- Risk, M.J. e Erdmann, M.V. 2000. Isotopic Composition of Nitrogen in Stomatopod (Crustacea) Tissues as an Indicator of Human Sewage Impacts on Indonesian Coral Reefs. Marine Pollution Bulletin. 40(1): 50 – 58.
- Rodelli, M.R.; J.N. Gearing; N. Marshall; A. Sasekumar. 1984. Stable Isotope Ratio as a Tracer of Mangrove Carbon in Malaysian Ecosystems. Oecologia. 61: 326 – 333.
- Rönnbäck, P.; A. Macia; G. Almqvist; L. Schultz; M. Troell. Do Penaeid Shrimps have a Preference for Mangrove Habitats? Distribution Pattern Analysis on Inhaca Island, Mozambique Estuarine, Coastal and Shelf Science. 55, 427–436.

- Savage, C. 2000. Ecological Applications of Stable Isotopes. Doktoranduppsats. 39pp. Institutionen for Systemekologi. Stockolms Universitet.
- Savage, C.; R. Elmgren; U. Larsson. 2002. Effects of sewage derived nutrients on an estuarine macrobenthic community. Marine Ecology Progress Series. 243: 67–82.
- Stoner, A.W. e R.J. Zimmerman. 1988. Food Pathways Associated with Penaeid Shrimps In A Mangrove-fringed Estuary. Fishery Bulletin, 48: 543-551.
- Tam, N.F.Y. (1998). Effects of Wastewater Discharge on Microbial Populations and Enzyme Activities in Mangrove Soils. Environmental Pollution. 102: 233 – 242.
- Taylor, M.; C. Ravilious e E. P. Green. 2003. Mangroves of East Africa. UNEP-WCMC.
- Tieszen, L.L.; T.W. Boutton; K.G. Tesdahl; N.A. Slade. (1983). Fractionation and Turnover of Stable Carbon Isotopes in Animal Tissues: Implications for Analysis of Diet. Oecologia. 57: 32 – 37.
- van der Elst, R. 1993. A Guide to the Common Sea Fishes of Southern Africa. Struik. Third edition. Cape Town. 398pp.
- Vander Zanden, M.S. e Rasmussen, J.B. 2001. Variation in ^{15}N and ^{13}C , Trophic Fractionation: Implications for Aquatic Food Webs Studies. American Society of Limnology and Oceanography, inc. 46 (8): 2061 – 2066.
- Vannini, M e Cannicci, S.. 2003. Mangrove Crabs. *In* <http://www.specola.unifi.it/mangroves/fauna/inv/crabsnew.htm>.

- Wada, E.; H, Mizutani e M. Minagawa. 1991. The Use of Stable Isotopes for Food Web Analysis. Critical Reviews in Food Science and Nutrition, 30(3): 361-371.
- World Wildlife Fund (WWF), 2001, East African Mangroves *in* http://www.worldwildlife.org/wildworld/profiles/terrestrial/at/at1402_full.html

ANEXO I – RESULTADOS

Tabela AI-1: Organismos encontrados subdivididos em grupos e em espécies amostradas e local onde foram encontradas. * não se chegou à espécie, usou-se a família. ** não se chegou à espécie, usou-se infraordem.

Tipos	Grupos	Espécies	Local onde foi encontrado
Produtores primários	Árvores de mangal	<i>A. marina</i> (12)	Saco, P.Rasa, CSA1, CSA2
		<i>B. gymnorhiza</i> (3)	CSA1
		<i>C. tagal</i> (9)	Saco, P.Rasa, CSA1
		<i>R. mucronata</i> (9)	Saco, P.Rasa, CSA1
	Halófitas	<i>C. diffusa</i> (9)	Saco, P.Rasa, CSA1
		* Gramínea (6)	Saco, P.Rasa
		<i>Salicornia sp.</i> (6)	Saco, P.Rasa
		<i>S. portulacastrum</i> (9)	Saco, P.Rasa, CSA1
Epífitas	Fungos	<i>R. fecunda</i> (6)	Saco, P.Rasa
Macroepibentos	Caranguejos	<i>M. depressus</i> (3)	CSA1
		<i>N. meinerti</i> (12)	Saco, P.Rasa, CSA1, CSA2
		<i>P. catenata</i> (11)	Saco, P.Rasa, CSA1, CSA2
		<i>P. gutatum</i> (11)	Saco, P.Rasa, CSA1, CSA2
		<i>U. annulipes</i> (4)	P.Rasa, CSA1
		<i>U. inversa</i> (6)	Saco, P.Rasa
	Gastrópodes	<i>C. decollata</i> (12)	Saco, P.Rasa, CSA1, CSA2
		<i>L. scabra</i> (12)	Saco, P.Rasa, CSA1, CSA2
Fauna visitante	Camarões	** Carídeo (11)	Saco, P.Rasa, CSA1
		<i>P. indicus</i> (3)	CSA1, CSA2
	Peixes	<i>A. natalensis</i> (6)	Saco, P.Rasa, CSA2
		<i>L. richardsonii</i> (19)	Saco, P.Rasa, CSA1, CSA2
		<i>L. argenteimaculatus</i> (3)	CSA2
		<i>T. jarbua</i> (2)	CSA2

Tabela A1-2: Razões dos isótopos estáveis de Carbono e Nitrogénio de produtores primários, fungos, fauna e outro material (Sedimento e MOPS) em cada área de mangais "não limpos" e de mangais "limpos".

Espécie/Material, (nº do replicado)	Mangais Limpos				Mangais Não Limpos			
	Saco		Ponta Rasa		CSA1		CSA2	
	$\delta^{13}\text{C}$	$\delta^{15}\text{N}$	$\delta^{13}\text{C}$	$\delta^{15}\text{N}$	$\delta^{13}\text{C}$	$\delta^{15}\text{N}$	$\delta^{13}\text{C}$	$\delta^{15}\text{N}$
Prováveis fontes								
<i>A. marina</i> (1)	-28,17	5,37	-24,97	5,40	-27,45	10,31	-27,10	13,37
<i>A. marina</i> (2)	-27,48	5,92	-23,79	4,17	-27,26	9,85	-26,86	12,39
<i>A. marina</i> (3)	-26,92	2,47	-25,84	3,67	-28,20	10,87	-27,93	11,96
<i>B. gymnorrhiza</i> (1)					-27,44	8,87		
<i>B. gymnorrhiza</i> (2)					-33,72	6,14		
<i>B. gymnorrhiza</i> (3)					-27,23	6,89		
<i>C. tagal</i> (1)	-25,32	-0,70	-25,39	2,37	-25,01	6,38		
<i>C. tagal</i> (2)	-25,57	0,05	-26,14	4,03	-24,88	6,69		
<i>C. tagal</i> (3)	-24,56	2,16	-25,96	5,84	-24,34	7,43		
<i>C. diffusa</i> (1)	-27,37	9,35	-25,90	4,20	-27,50	6,70		
<i>C. diffusa</i> (2)	-27,31	10,71	-26,95	4,25	-27,41	10,55		
<i>C. diffusa</i> (3)	-27,63	6,45	-25,56	5,16	-27,43	7,70		
Graminea (1)	-13,06	2,72	-12,84	2,41				
Graminea (2)	-13,34	2,76	-12,73	2,38				
Graminea (3)	-13,17	3,61	-13,15	2,39				
<i>R. mucronata</i> (1)	-26,90	2,49	-24,20	3,44	-26,37	9,10		
<i>R. mucronata</i> (2)	-27,15	2,25	-24,99	2,19	-27,00	6,73		
<i>R. mucronata</i> (3)	-25,96	1,53	-24,74	3,46	-26,57	9,40		
<i>Salicornia sp.</i> (1)	-26,89	3,66	-26,60	5,76				
<i>Salicornia sp.</i> (2)	-26,09	4,09	-26,56	5,66				
<i>Salicornia sp.</i> (3)	-25,67	3,25	-27,54	4,13				
<i>S. portulacastrum</i> (1)	-24,28	6,06	-21,48	2,18	-24,99	3,38		
<i>S. portulacastrum</i> (2)	-24,58	4,38	-22,49	2,08	-24,42	4,99		
<i>S. portulacastrum</i> (3)	-23,87	4,14	-21,76	1,88	-24,82	6,56		
Fungo								
<i>R. fecunda</i> (1)	-28,08	-9,94	-28,08	-9,04				
<i>R. fecunda</i> (2)	-27,97	-9,74	-27,95	-7,72				
<i>R. fecunda</i> 3	-28,12	-10,46	-27,79	-8,29				
Fauna								
<i>A. natalensis</i> (1)	-19,87	8,98	-17,72	9,83			-18,35	20,74
<i>A. natalensis</i> (2)			-17,86	9,78			-16,34	19,36
<i>A. natalensis</i> (3)							-16,62	19,39
<i>Carideo</i> (1)	-19,61	9,51	-20,03	8,31	-15,74	19,14		
<i>Carideo</i> (2)	-20,41	9,98	-20,64	8,90	-16,77	18,36		
<i>Carideo</i> (3)	-21,17	10,15	-18,16	8,14				
<i>Carideo</i> (4)	-19,46	7,06						
<i>Carideo</i> (5)	-18,99	7,60						
<i>Carideo</i> (6)	-20,09	7,10						
<i>C. decollata</i> (1)	-19,02	3,27	-25,08	3,84	-15,72	14,49	-15,55	15,43
<i>C. decollata</i> (2)	-19,28	4,47	-23,45	4,35	-18,14	12,55	-16,14	13,80

<i>C. decollata</i> (3)	-19,87	3,70	-24,41	3,70	-16,66	13,52	-16,34	12,67
<i>L. scabra</i> (1)	-24,61	1,16	-22,23	2,32	-22,56	8,85	-22,46	9,48
<i>L. scabra</i> (2)	-22,00	0,87	-22,99	2,24	-21,46	6,72	-21,53	9,83
<i>L. scabra</i> (3)	-24,28	-0,62	-23,23	0,57	-23,17	7,89	-21,69	9,80
<i>L. richardsonii</i> (1)	-16,02	8,51	-19,05	9,50	-15,15	14,72	-16,52	20,74
<i>L. richardsonii</i> (2)			-18,36	9,76	-13,71	14,46	-17,67	20,39
<i>L. richardsonii</i> (3)			-19,10	9,51	-14,94	19,80	-16,71	20,20
<i>L. richardsonii</i> (4)					-15,11	19,22	-17,13	17,93
<i>L. richardsonii</i> (5)					-15,19	19,02	-16,51	19,90
<i>L. richardsonii</i> (6)					-14,86	17,74	-15,85	19,44
<i>L. richardsonii</i> (7)					-15,31	17,30	-16,94	16,97
<i>L. richardsonii</i> (8)					-16,68	14,02		
<i>L. argentimaculatus</i> (1)							-18,37	20,01
<i>L. argentimaculatus</i> (2)							-18,00	19,22
<i>L. argentimaculatus</i> (3)							-18,63	18,60
<i>M. depressus</i> (1)					-13,96	14,56		
<i>M. depressus</i> (2)					-14,25	14,72		
<i>M. depressus</i> (3)					-12,02	13,94		
<i>N. meinerti</i> (1)	-23,46	8,49	-24,71	6,45	-20,46	15,20	-23,25	20,86
<i>N. meinerti</i> (2)	-22,50	8,69	-24,46	7,58	-20,25	15,63	-21,18	15,34
<i>N. meinerti</i> (3)	-23,16	8,02	-24,33	7,95	-17,94	15,60	-18,22	12,63
<i>P. catenata</i> (1)	-21,01	7,90	-19,65	7,00	-15,58	15,21	-21,59	12,00
<i>P. catenata</i> (2)	-21,79	8,41	-20,92	5,96	-16,29	14,18	-20,90	13,43
<i>P. catenata</i> (3)	-20,40	9,24			-15,46	14,93	-19,50	16,33
<i>P. gutatum</i> (1)	-23,01	8,35	-24,16	7,14	-18,41	13,52	-16,50	15,96
<i>P. gutatum</i> (2)	-23,37	8,50	-23,81	6,89	-17,92	14,69	-17,95	17,14
<i>P. gutatum</i> (3)	-22,65	8,44			-19,04	14,68	-17,25	17,45
<i>P. indicus</i> (1)					-16,88	19,97	-17,60	21,51
<i>P. indicus</i> (2)					-15,83	18,58	-17,93	21,40
<i>P. indicus</i> (3)							-17,42	20,71
<i>T. jarbua</i> (1)							-19,42	23,97
<i>T. jarbua</i> (2)							-18,61	23,35
<i>U. annulipes</i> (1)			-18,65	6,45	-13,29	17,04		
<i>U. annulipes</i> (2)			-19,38	7,02				
<i>U. annulipes</i> (3)			-19,54	6,04				
<i>U. inversa</i> (1)	-13,10	5,88	-17,86	8,40				
<i>U. inversa</i> (2)	-13,51	5,72	-18,74	8,18				
<i>U. inversa</i> (3)	-13,58	6,11	-18,36	8,47				
Material								
Sedimento (1)	-24,69	6,80	-25,05	7,26	-20,40	10,82	-20,15	11,45
Sedimento (2)	-21,87	6,15	-24,64	4,55	-21,01	15,56	-21,21	14,11
Sedimento (3)	-21,90	8,47	-24,99	5,63	-19,92	11,56	-20,35	11,47
MOPS (1)	-25,24	4,23	-25,78	3,39	-18,59	7,08	-25,40	15,26
MOPS (2)	-24,75	3,95	-25,47	3,94	-21,08	9,74	-21,96	13,00

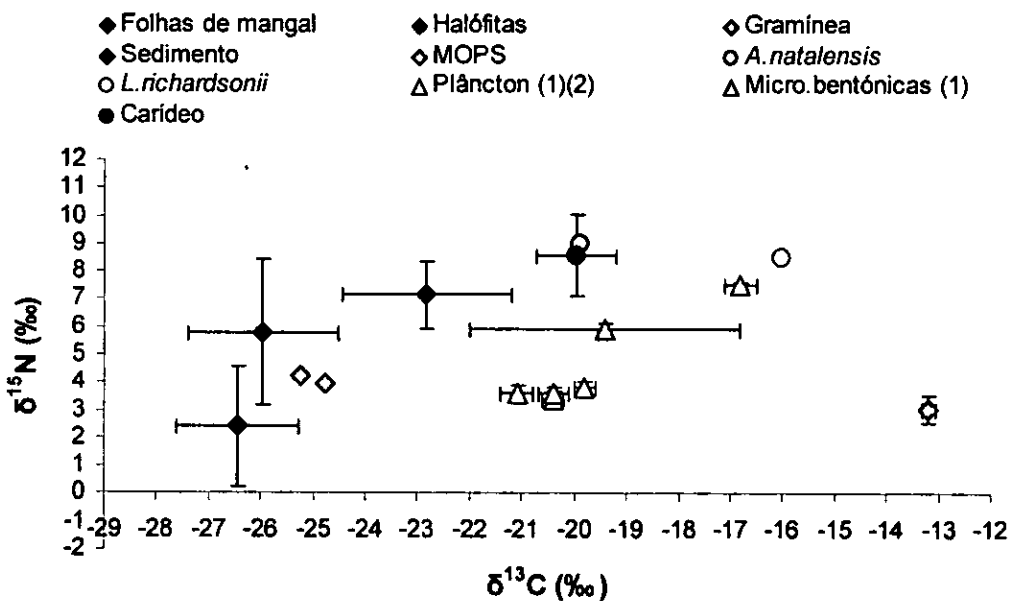


Figura AI-3: Gráficos de $\delta^{13}\text{C}$ por $\delta^{15}\text{N}$ relativo ao mangal "limpo" do Saco para produtores primários (folhas de mangal e halófitas), sedimento, MOPS e espécies de fauna visitante (Peixes e Camarões). Assinalados com (1) e (2) são dados retirados de Abreu (2003) e Macia (2004), respectivamente.

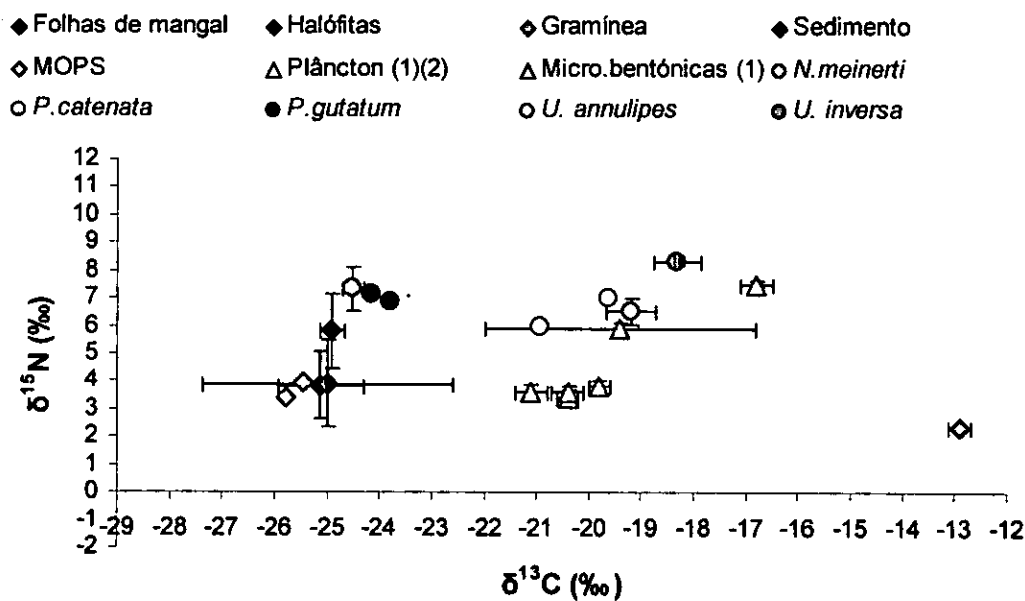


Figura AI-4: Gráfico de $\delta^{13}\text{C}$ por $\delta^{15}\text{N}$ relativo ao mangal "limpo" da Ponta Rasa para produtores primários (folhas de mangal e halófitas), sedimento, MOPS e espécies de caranguejos (Sesarmídeos e Ocypodes). Assinalados com (1) e (2) são dados retirados de Abreu (2003) e Macia (2004), respectivamente.

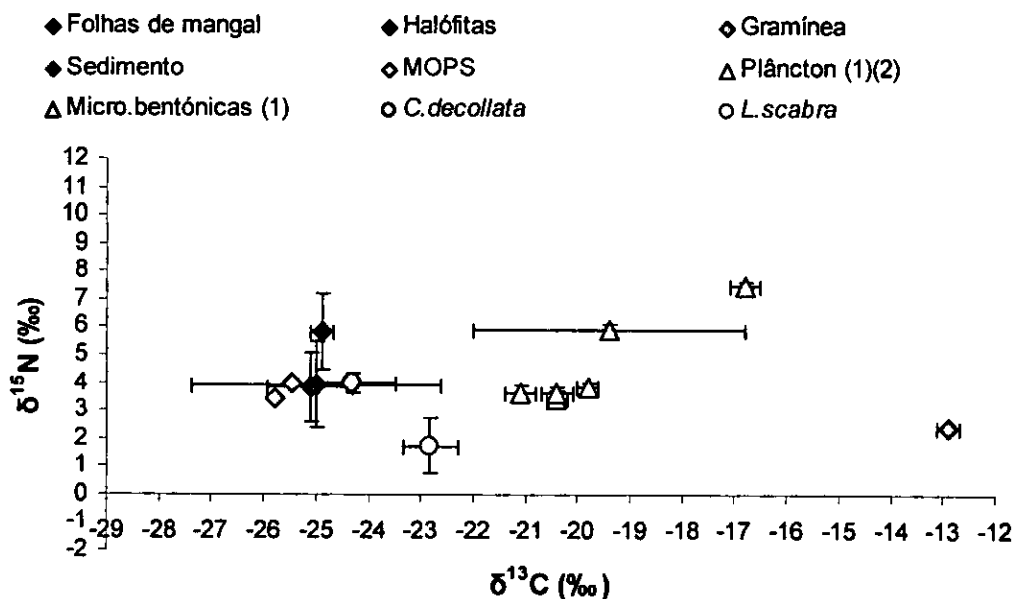


Figura AI-5: Gráfico de $\delta^{13}\text{C}$ por $\delta^{15}\text{N}$ relativo ao mangal "limpo" da Ponta Rasa para produtores primários (folhas de mangal e halófitas), sedimento, MOPS e espécies de gastrópodes (*C.decollata* e *L.scabra*). Assinalados com (1) e (2) são dados retirados de Abreu (2003) e Macia (2004), respectivamente.

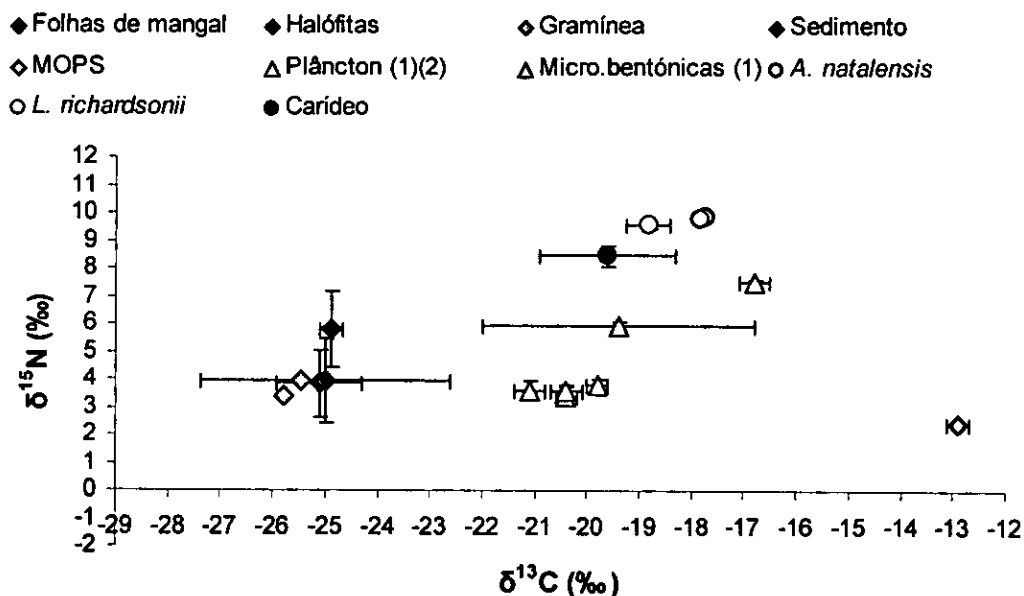


Figura AI-6: Gráfico de $\delta^{13}\text{C}$ por $\delta^{15}\text{N}$ relativo ao mangal "limpo" da Ponta Rasa para produtores primários (folhas de mangal e halófitas), sedimento, MOPS e espécies de fauna visitante (Peixes e Camarões). Assinalados com (1) e (2) são dados retirados de Abreu (2003) e Macia (2004), respectivamente.

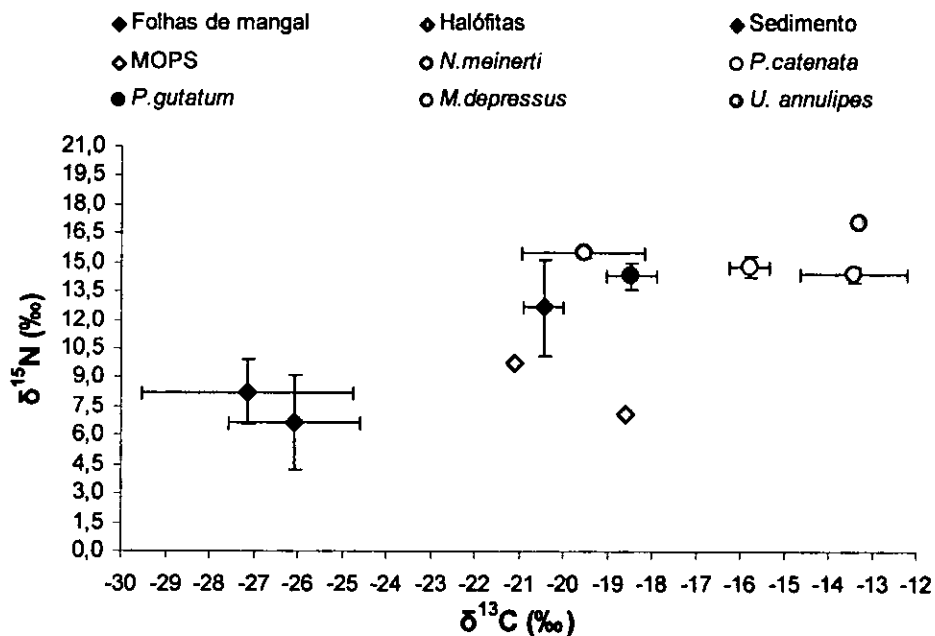


Figura AI-7: Gráfico de $\delta^{13}C$ por $\delta^{15}N$ relativo ao mangal “não limpo” CSA1 para produtores primários (folhas de mangal e halófitas), sedimento, MOPS e espécies de caranguejos (Sesarmídeos e Ocypodes). Assinalados com (1) e (2) são dados retirados de Abreu (2003) e Macia (2004), respectivamente.

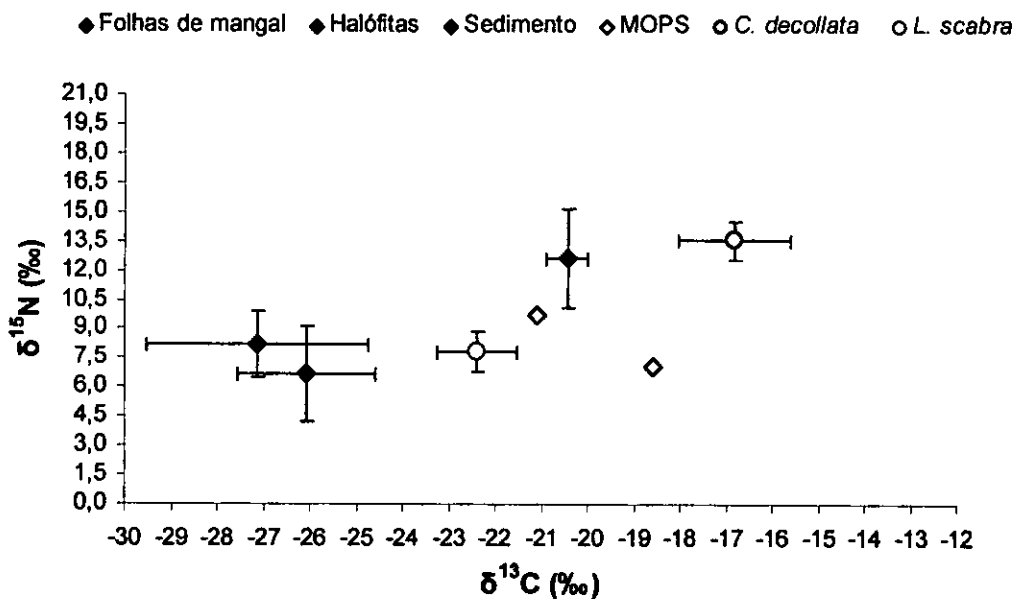


Figura AI-8: Gráfico de $\delta^{13}C$ por $\delta^{15}N$ relativo ao mangal “não limpo” CSA1 para produtores primários (folhas de mangal e halófitas), sedimento, MOPS e espécies de gastrópodes (*C.decollata* e *L.scabra*). Assinalados com (1) e (2) são dados retirados de Abreu (2003) e Macia (2004), respectivamente.

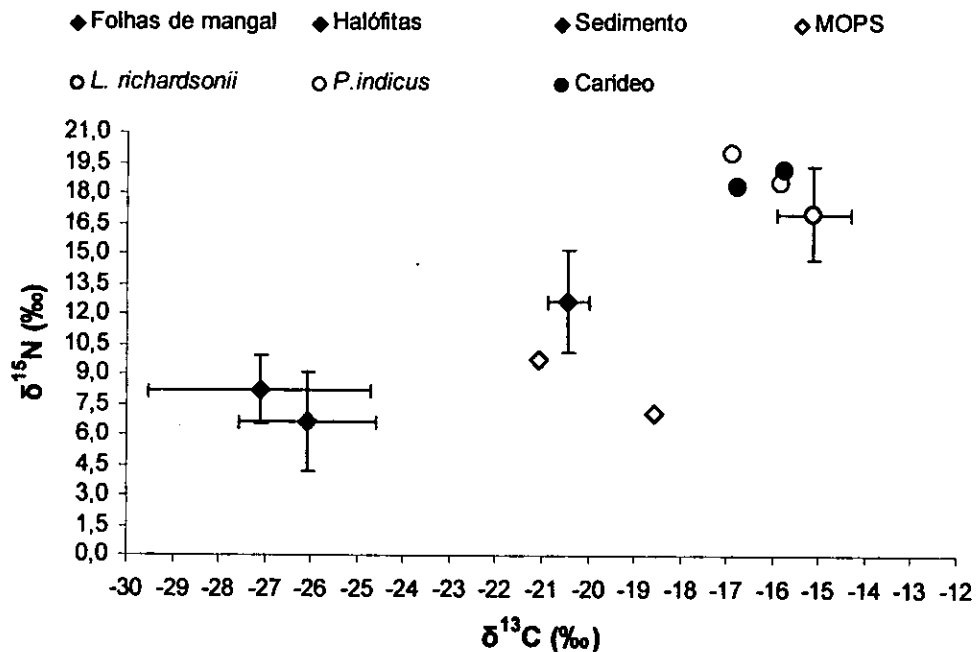


Figura AI-9: Gráfico de $\delta^{13}\text{C}$ por $\delta^{15}\text{N}$ relativo ao mangal "não limpo" CSA1 para produtores primários (folhas de mangal e halófitas), sedimento, MOPS e espécies de fauna visitante (peixes e camarões). Assinalados com (1) e (2) são dados retirados de Abreu (2003) e Macia (2004), respectivamente.

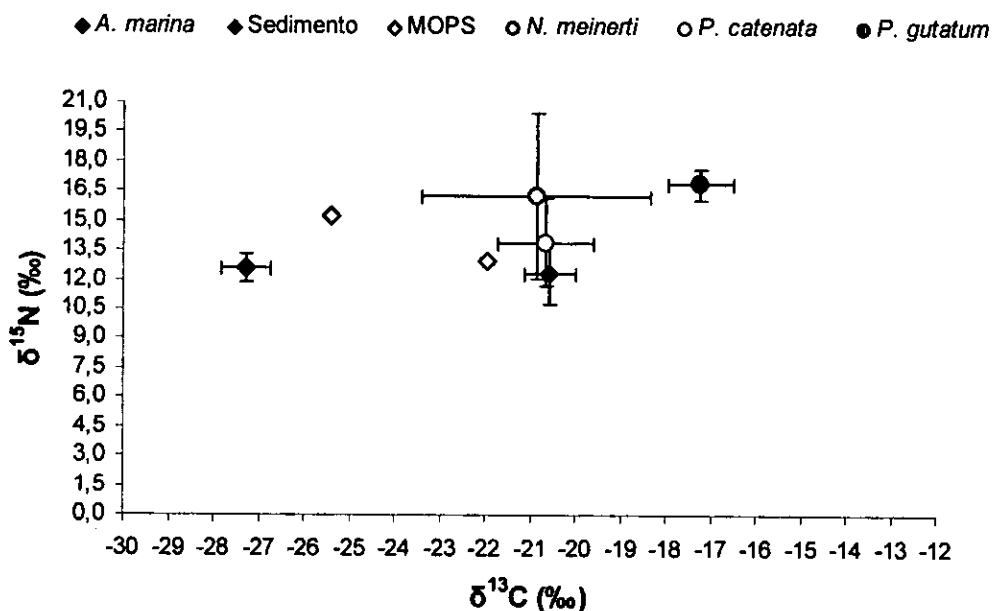


Figura AI-10: Gráfico de $\delta^{13}\text{C}$ por $\delta^{15}\text{N}$ relativo ao mangal "não limpo" CSA2 para produtores primários (folhas de mangal e halófitas), sedimento, MOPS e espécies de caranguejos (Sesarmídeos). Assinalados com (1) e (2) são dados retirados de Abreu (2003) e Macia (2004), respectivamente.

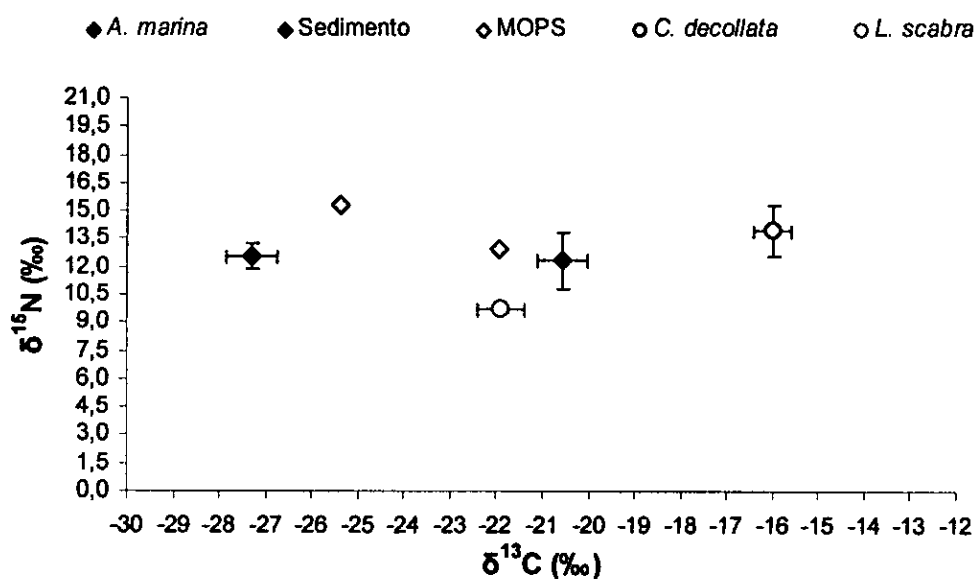


Figura A1-11: Gráfico de $\delta^{13}\text{C}$ por $\delta^{15}\text{N}$ relativo ao mangal "não limpo" CSA2 para produtores primários (folhas de mangal e halófitas), sedimento, MOPS e espécies de gastrópodes (*C. decollata* e *L. scabra*). Assinalados com (1) e (2) são dados retirados de Abreu (2003) e Macia (2004), respectivamente.

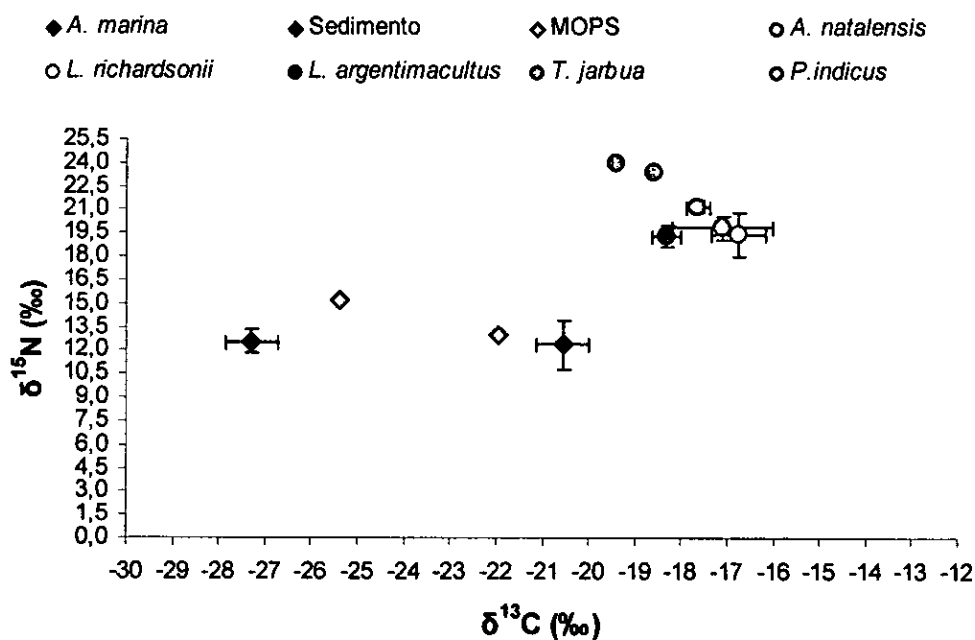


Figura A1-12: Gráfico de $\delta^{13}\text{C}$ por $\delta^{15}\text{N}$ relativo ao mangal "não limpo" CSA2 para produtores primários (folhas de mangal e halófitas), sedimento, MOPS e espécies de fauna visitante (Peixes e Camarões). Assinalados com (1) e (2) são dados retirados de Abreu (2003) e Macia (2004), respectivamente.

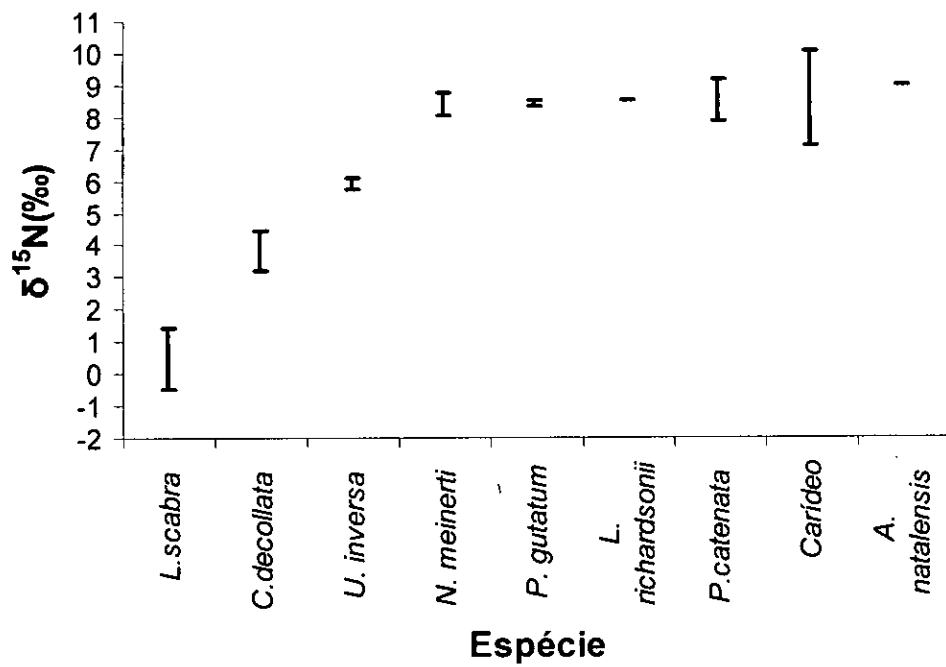


Figura AI-13: Gráfico de $\delta^{15}\text{N}$ relativo à posição trófica de cada espécie em relação às outras no mangal do Saco.

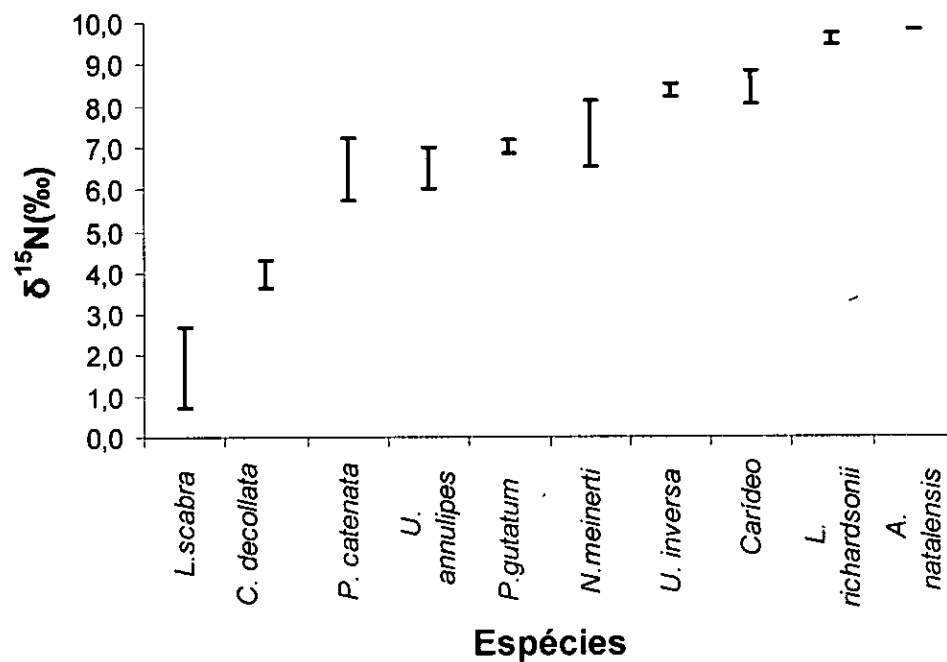


Figura AI-14: Gráfico de $\delta^{15}\text{N}$ relativo à posição trófica de cada espécie em relação às outras no mangal "limpo" da Ponta Rasa.

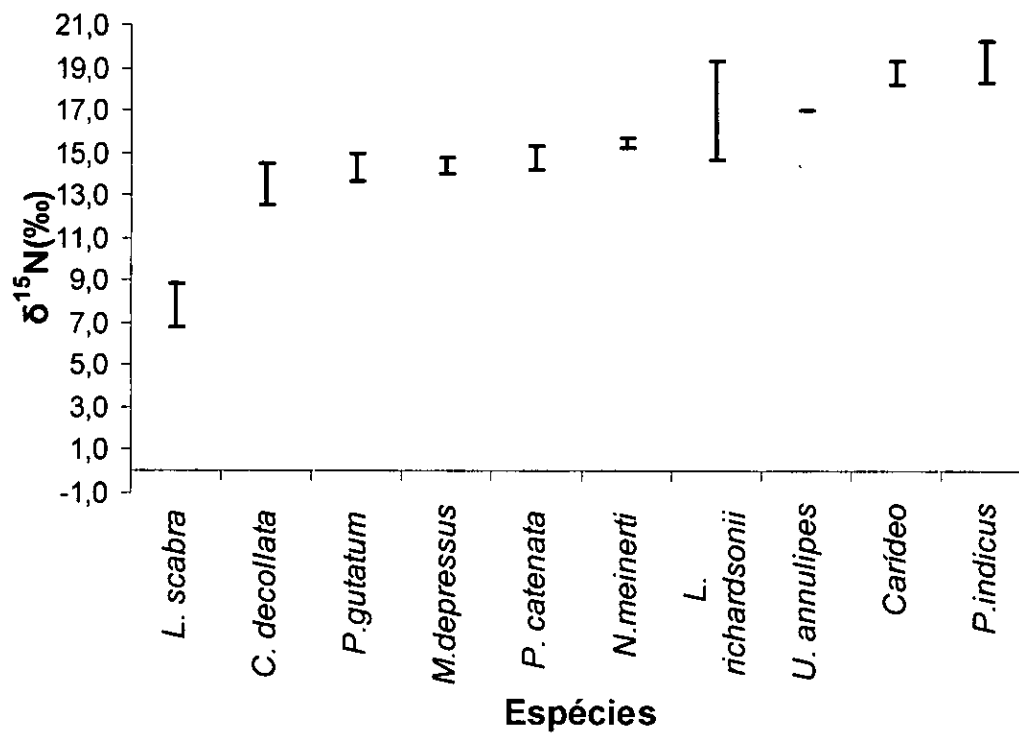


Figura AI-15: Gráfico de $\delta^{15}\text{N}$ relativo à posição trófica de cada espécie em relação às outras no mangal "não limpo" CSA1.

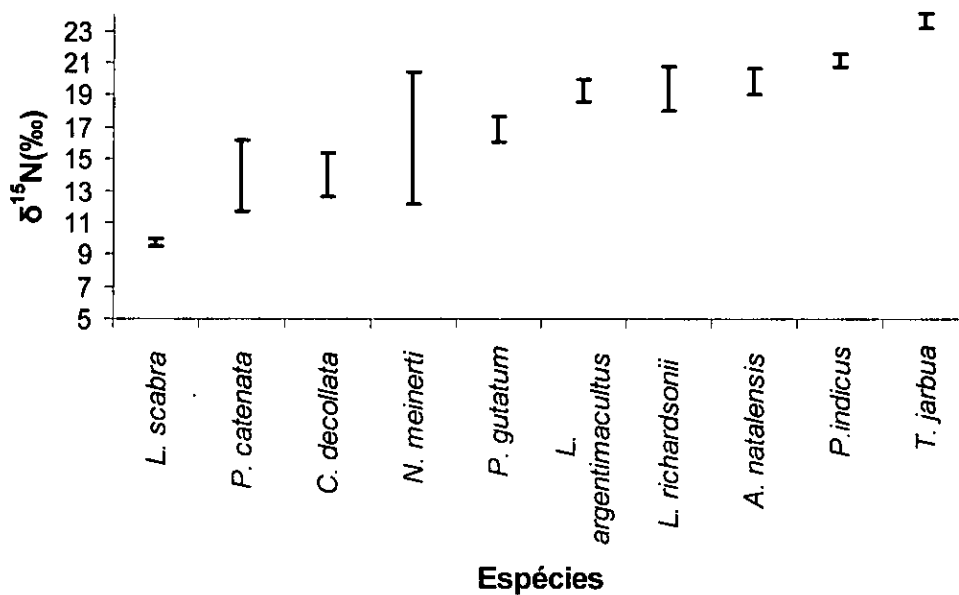


Figura AI-16: Gráfico de $\delta^{15}\text{N}$ relativo à posição trófica de cada espécie em relação às outras no mangal "não limpo" CSA2.

ANEXO II – ESTATÍSTICA

1. *Avicennia marina*

Para Carbono:

Normalidade: Shapiro-Wilk $W=,86472$, $p=,05604$

Homogeneidade (Teste de Levene): Degrees of freedom for all F's: 3, 8

Tabela All-1: Teste de Levene para $\delta^{13}\text{C}$ de *Avicennia marina*.

	MS Effect	MS Error	F	p
$\delta^{13}\text{C}$	0,073747	0,120258	0,613243	0,625315

Distribuição Homogénea e normal, proceder ao teste paramétrico ANOVA Univariada:

Tabela All-2: teste ANOVA Univariada para $\delta^{13}\text{C}$ de *Avicennia marina*.

	SS	Degr. Of Freedom	MS	F	p
Intercept	8638,359	1	8638,359	17128,86	0,000000
"Área"	15,616	3	5,205	10,32	0,003997
Error	4,035	8	0,504		

Existem diferenças significativas entre as áreas, prosseguir com teste de Tukey HSD, para saber em que área reside a diferença significativa:

Tukey HSD: Error: Between MS = ,50432, df = 8,0000

Tabela All-3: Teste de Tukey HSD, para $\delta^{13}\text{C}$ de *Avicennia marina*.

Área	{1}	{2}	{3}	{4}
1 CSA2		0,934705	0,979303	0,012971
2 CSA1	0,934705		0,997105	0,006214
3 Saco	0,979303	0,997105		0,007924
4 Rasa	0,012971	0,006214	0,007924	

Ocorrem diferenças significativas entre as áreas CSA1 e Ponta Rasa, Saco e Ponta Rasa, CSA2 e Ponta Rasa.

Para Nitrogénio:

Normalidade: Shapiro-Wilk $W=,90547$, $p=,18658$

Homogeneidade (teste de Levene): Degrees of freedom for all F's: 3, 8

Tabela All-4: Teste de Levene para $\delta^{15}\text{N}$ de Avicennia marina.

	MS Effect	MS Error	F	p
$\delta^{15}\text{N}$	0,653276	0,192573	3,392353	0,074214

Distribuição Homogénea e normal, proceder ao teste paramétrico ANOVA Univariada:

Tabela All-5: Teste ANOVA Univariada para $\delta^{15}\text{N}$ de Avicennia marina.

	SS	Degr. Of freedom	MS	F	p
Intercept	764,1228	1	764,1228	609,5413	0,000000
"Área"	152,7553	3	50,9184	40,6177	0,000035
Error	10,0288	8	1,2536		

Existem diferenças significativas entre as áreas, prosseguir com teste de Tukey HSD, para saber em que área reside a diferença significativa:

Tukey Test: Between MS = 1,2536, df = 8,0000

Tabela All-6: Teste Tukey HSD para $\delta^{15}\text{N}$ de Avicennia marina.

	Área	{1}	{2}	{3}	{4}
1	CSA2		0,147064	0,000301	0,000288
2	CSA1	0,147064		0,001217	0,001025
3	Saco	0,000301	0,001217		0,997324
4	Rasa	0,000288	0,001025	0,997324	

Ocorrem diferenças significativas entre as áreas CSA1 e Saco, CSA1 e Ponta, CSA2 e Saco e, CSA2 e Ponta Rasa.

2. *Cerriops tagal*

Para Carbono:

Normalidade: Shapiro-Wilk $W=,97352$, $p=,92305$

Homogeneidade (teste de Levene): Degrees of freedom for all F's: 2, 6

Tabela AII-7: Teste Levene para $\delta^{13}\text{C}$ de Ceriops tagal.

	MS Effect	MS Error	F	p
$\delta^{13}\text{C}$	0,012516	0,028724	0,435719	0,665749

Distribuição Homogénea e normal, proceder ao teste paramétrico ANOVA Univariada:

Tabela AII-8: Teste ANOVA Univariada para $\delta^{13}\text{C}$ de Ceriops tagal.

	SS	Degr. Of freedom	MS	F	p
Intercept	5734,286	1	5734,286	30900,39	0,000000
"Área"	1,810	2	0,905	4,88	0,055275
Error	1,113	6	0,186		

Não existem diferenças significativas entre as áreas ($F = 4.88$, $p > 0.05$, para $\alpha = 0.05$).

Para nitrogénio:

Normalidade: Shapiro-Wilk $W=,91951$, $p=,38822$

Homogeneidade (teste de Levene): Degrees of freedom for all F's: 2, 6

Tabela AII-9: Teste Levene para $\delta^{15}\text{N}$ de Ceriops tagal.

	MS effect	MS error	F	p
$\delta^{15}\text{N}$	0,551454	0,454766	1,212609	0,361169

Distribuição Homogénea e normal, proceder ao teste paramétrico ANOVA Univariada:

Tabela AII-10: Teste ANOVA Univariada para $\delta^{15}\text{N}$ de Ceriops tagal.

	SS	Degr. of	MS	F	p
Intercept	130,2662	1	130,2662	71,12571	0,000152
"Área"	60,4399	2	30,2199	16,50017	0,003641

Error	10,9890	6	1,8315		
-------	---------	---	--------	--	--

Existem diferenças significativas entre as áreas, prosseguir com teste de Tukey HSD, para saber em que área reside a diferença significativa:

Tukey Test: Error: Between MS = 1,8315, df = 6,0000

Tabela All-11: Teste Tukey HSD para $\delta^{15}\text{N}$ de Ceriops tagal.

	Área	{1}	{2}	{3}
1	CSA1		0,003126	0,103198
2	Saco	0,003126		0,040871
3	Rasa	0,103198	0,040871	

Ocorrem diferenças significativas entre as áreas Saco e Ponta Rasa e o saco e a CSA1.

3. *Rhizophora mucronata*

Para carbono:

Normalidade: Shapiro-Wilk $W=,89457$, $p=,22220$

Homogeneidade (teste de Levene): Degrees of freedom for all F's: 2, 6

Tabela All-12: Teste Levene para $\delta^{13}\text{C}$ de *Rhizophora mucronata*.

	MS Effect	MS Error	F	p
$\delta^{13}\text{C}$	0,045385	0,037041	1,225267	0,357933

Distribuição Homogênea e normal, proceder ao teste paramétrico ANOVA Univariada:

Tabela All-13: Teste Levene para $\delta^{13}\text{C}$ de *Rhizophora mucronata*.

	SS	Degr. Of freedom	MS	F	p
Intercept	6078,136	1	6078,136	27596,96	0,000000
"Área"	8,138	2	4,069	18,47	0,002727
Error	1,321	6	0,220		

Existem diferenças significativas entre as áreas, prosseguir com teste de Tukey HSD, para saber em que área reside a diferença significativa:

Tukey HSD: Error: Between MS = ,22025, df = 6,0000

Tabela All-14: Teste Tukey HSD para $\delta^{13}\text{C}$ de *Rhizophora mucronata*.

	Área	{1}	{2}	{3}
1	CSA1		0,997677	0,004848
2	Saco	0,997677		0,004565
3	Rasa	0,004848	0,004565	

Ocorrem diferenças significativas entre as áreas CSA1 e Ponta Rasa e, entre o Saco e a Ponta Rasa.

Para Nitrogénio:

Normalidade: Shapiro-Wilk W=,81606, p=,03110

Homogeneidade (teste de Levene): Degrees of freedom for all F's: 2, 6

Tabela All-15: Teste Levene para $\delta^{15}\text{N}$ de *Rhizophora mucronata*.

	MS Effect	MS Error	F	p
$\delta^{15}\text{N}$	0,451963	0,119638	3,777768	0,086717

Distribuição Homogénea mas, não normal. Fez-se com uma transformação de radiciação ($x' = \sqrt{x+1}$) dos dados e testaram-se os pressupostos de normalidade e homogeneidade novamente:

Normalidade: Shapiro-Wilk W=,85106, p=,07654

Homogeneidade (Teste de Levene): Degrees of freedom for all F's: 2, 6

Tabela All-16: Teste Levene para dados transformados de $\delta^{15}\text{N}$ de *Rhizophora mucronata*.

	MS effect	MS error	F	p
$\delta^{15}\text{N}$	0,004637	0,004789	0,968275	0,432074

A Distribuição é, agora, homogênea e normal, podendo-se proceder com teste paramétrico ANOVA Univariada:

Tabela All-17: Teste ANOVA Univariada para $\delta^{15}\text{N}$ de *Rhizophora mucronata*.

	SS	Degr. Of freedom	MS	F	p
Intercept	46,47814	1	46,47814	1206,018	0,000000
"Area"	2,89178	2	1,44589	37,518	0,000406
Error	0,23123	6	0,03854		

Existem diferenças significativas entre as áreas, prosseguir com teste de Tukey HSD, para saber em que área reside a diferença significativa:

Tabela All-18: Teste Tukey HSD para $\delta^{15}\text{N}$ de *Rhizophora mucronata*; Error: Between MS = ,03854, df = 6,0000

	Var2	{1}	{2}	{3}
1	CSA1		0,000633	0,001595
2	Saco	0,000633		0,336659
3	Rasa	0,001595	0,336659	

Ocorrem diferenças significativas entre as áreas CSA1 e o Saco e a CSA1 e a Ponta Rasa.

4. *Chenolea diffusa*

Para carbono:

Normalidade: Shapiro-Wilk $W=,74955$, $p=,00536$

Homogeneidade (teste de Levene): Degrees of freedom for all F's: 2, 6

Tabela All-19: Teste de Levene para $\delta^{13}\text{C}$ de *Chenolea diffusa*.

	MS Effect	MS Error	F	p
$\delta^{13}\text{C}$	0,222073	0,029609	7,500065	0,023323

Distribuição não homogênea e não normal, transformação de dados inútil, proceder ao teste não paramétrico Kruskal- Wallis ANOVA:

Tabela A20: Teste Kruskal-Wallis ANOVA, $H(2, N=9) = 5,600000$ $p = ,0608$, para $\delta^{13}\text{C}$ de *Chenolea diffusa*.

	Code	Valid N	Sum of Ranks
CSA1	102	3	9,00000
Saco	103	3	12,00000
Rasa	104	3	24,00000

Não ocorrem diferenças significativas entre as áreas.

Para nitrogénio:

Normalidade: Shapiro-Wilk $W = ,91143$, $p = ,32601$

Homogeneidade (teste de Levene): Degrees of freedom for all F's: 2, 6

Tabela All-21: Teste de Levene para $\delta^{15}\text{N}$ de *Chenolea diffusa*.

	MS effect	MS error	F	p
$\delta^{15}\text{N}$	1,273192	0,546101	2,331424	0,178170

Distribuição Homogénea e normal, proceder ao teste paramétrico ANOVA Univariada:

Tabela All-22: Teste ANOVA Univariada para $\delta^{13}\text{N}$ de *Chenolea diffusa*.

	SS	Degr. of	MS	F	p
Intercept	470,6526	1	470,6526	156,3794	0,000016
"Var2"	33,0338	2	16,5169	5,4879	0,044153
Error	18,0581	6	3,0097		

Existem diferenças significativas entre as áreas, prosseguir com teste de Tukey HSD, para saber em que área reside a diferença significativa:

Tabela All-23: Teste de Tukey HSD para $\delta^{15}\text{N}$ de *Chenolea diffusa*. Error: Between MS = 3,0097, df = 6,0000

	Var2	{1}	{2}	{3}
1	CSA1		0,930323	0,082429
2	Saco	0,930323		0,052285
3	Rasa	0,082429	0,052285	

O teste paramétrico de comparações múltiplas Tukey HSD, não foi sensível o suficiente para demonstrar as diferenças significativas existentes entre as áreas, por isso, compararam-se as áreas duas a duas, em termos de $\delta^{15}\text{N}$.

Comparação entre Ponta Rasa e Saco

Normalidade: Shapiro-Wilk $W=,86881$, $p=,22149$

Homogeneidade (teste de Levene):

Tabela AII-24: Teste de Levene (para 2 amostras) para $\delta^{15}\text{N}$ de *Chenolea diffusa*.

	Levene	df	p
$\delta^{15}\text{N}$	4,276962	4	0,107463

Distribuição homogénea e normal, prosseguir com o teste paramétrico t

Tabela AII-25: Teste t para $\delta^{13}\text{C}$ de *Chenolea diffusa*.

	Mean	Mean	t-value	df	p	Valid N	Valid N
$\delta^{15}\text{N}$	4,538554	8,836100	-3,31711	4	0,029458	3	3

Ocorrem diferenças significativas ($p<0.05$) entre as áreas do Saco e da Ponta Rasa em termos de $\delta^{15}\text{N}$.

Comparação entre a área "não limpa" CSA1 e a "limpa" Ponta Rasa

Normalidade: Shapiro-Wilk $W=,89664$, $p=,35445$

Homogeneidade:

Tabela AII-26: Teste de Levene (2 amostras) para $\delta^{15}\text{N}$ de *Chenolea diffusa*.

	Levene	df	p
$\delta^{15}\text{N}$	4,932674	4	0,090515

Distribuição homogénea e normal, prosseguir com o teste paramétrico t:

Tabela All-27: Teste t para $\delta^{15}\text{N}$ de *Chenolea diffusa*.

	Mean	Mean	t-value	df	p	Valid N	Valid N
$\delta^{15}\text{N}$	8,319875	4,538554	3,163503	4	0,034069	3	3

Ocorrem diferenças significativas ($p < 0.05$) entre a área "não limpa" CSA1 e a "limpa" Ponta Rasa em termos de $\delta^{15}\text{N}$.

Comparação entre a área "não limpa" CSA1 e a "limpa" Saco

Normalidade: Shapiro-Wilk $W = ,88091$, $p = ,27328$

Homogeneidade (teste de Levene):

Tabela All-28: Teste de Levene (2 amostras) para $\delta^{15}\text{N}$ de *Chenolea diffusa*.

	Levene	df	p
$\delta^{15}\text{N}$	0,020030	4	0,894296

Distribuição homogénea e normal, prosseguir com o teste paramétrico t:

Tabela All-29: Teste t para $\delta^{15}\text{N}$ de *Chenolea diffusa*.

	Mean	Mean	t-value	df	p	Valid N	Valid N
$\delta^{15}\text{N}$	8,319875	8,836100	-0,302505	4	0,777345	3	3

Não ocorrem diferenças significativas ($p > 0.05$) entre a área "não limpa" CSA1 e a "limpa" Saco em termos de $\delta^{15}\text{N}$.

5) *Sesuvium portulacastrum*

Para carbono:

Normalidade: Shapiro-Wilk $W = ,84539$, $p = ,06628$

Homogeneidade (teste de Levene): Degrees of freedom for all F's: 2, 6

Tabela AII-30: Teste de Levene para $\delta^{13}\text{C}$ de *Sesuvium portulacastrum*.

	MS effect	MS error	F	p
$\delta^{13}\text{C}$	0,025562	0,032707	0,781549	0,499292

Distribuição Homogénea e normal, proceder ao teste paramétrico ANOVA Univariada:

Tabela AII-31: Teste ANOVA Univariada para $\delta^{13}\text{C}$ de *Sesuvium portulacastrum*.

	SS	Degr. Of freedom	MS	F	p
Intercept	5026,905	1	5026,905	31074,29	0,000000
"Área"	13,753	2	6,876	42,51	0,000287
Error	0,971	6	0,162		

Existem diferenças significativas entre as áreas, prosseguir com teste de Tukey HSD, para saber em que área reside a diferença significativa:

Tabela AII-32: Teste de Tukey HSD para $\delta^{13}\text{C}$ de *Sesuvium portulacastrum*, Error: Between MS = ,16177, df = 6,0000

	Área	{1}	{2}	{3}
1	CSA1		0,346748	0,000512
2	Saco	0,346748		0,001130
3	Rasa	0,000512	0,001130	

Ocorrem diferenças significativas entre as áreas CSA1 e a Ponta Rasa e a Ponta Rasa e o Saco.

Para nitrogénio:

Normalidade: Shapiro-Wilk $W=,92703$, $p=,45360$

Homogeneidade (teste de Levene): Degrees of freedom for all F's: 2, 6

Tabela AII-33: Teste de Levene para $\delta^{15}\text{N}$ de *Sesuvium portulacastrum*.

	MS effect	MS error	F	p
$\delta^{15}\text{N}$	0,722149	0,321682	2,244915	0,187132

Distribuição Homogénea e normal, proceder ao teste paramétrico ANOVA Univariada:

Tabela AII-34: Teste ANOVA Univariada para $\delta^{15}\text{N}$ de *Sesuvium portulacastrum*.

	SS	Degr. Of freedom	MS	F	p
Intercept	141,3008	1	141,3008	116,5294	0,000037
"Área"	16,5271	2	8,2635	6,8149	0,028557
Error	7,2755	6	1,2126		

Existem diferenças significativas entre as áreas, prosseguir com teste de Tukey HSD, para saber em que área reside a diferença significativa:

Tabela AII-35: Teste de Tukey HSD para $\delta^{15}\text{N}$ de *Sesuvium portulacastrum*, Error: Between MS = 1,2126, df = 6,0000

	Área	{1}	{2}	{3}
1	CSA1		0,991570	0,039817
2	Saco	0,991570		0,046303
3	Rasa	0,039817	0,046303	

Ocorrem diferenças significativas entre as áreas CSA1 e a Ponta Rasa e a Ponta Rasa e o Saco.

6) *Neosarmatium meinerti*

Para Carbono:

Normalidade: Shapiro-Wilk $W=,90421$, $p=,17973$

Homogeneidade (teste de Levene): Degrees of freedom for all F's: 3, 8

Tabela AII-36: Teste de Levene para $\delta^{13}\text{C}$ de *N.meinerti*.

	MS effect	MS error	F	p
$\delta^{13}\text{C}$	1,649002	0,484354	3,404539	0,073661

Distribuição Homogénea e normal, proceder ao teste paramétrico ANOVA Univariada:

Tabela AII-37: Teste ANOVA Univariada para $\delta^{13}\text{C}$ de N.meinerti.

	SS	Degr. Of freedom	MS	F	p
Intercept	5803,680	1	5803,680	2693,673	0,000000
"Área"	43,767	3	14,589	6,771	0,013792
Error	17,236	8	2,155		

Existem diferenças significativas entre as áreas, prosseguir com teste de Tukey HSD, para saber em que área reside a diferença significativa:

Tabela AII-38: Teste de Tukey HSD para $\delta^{13}\text{C}$ de N.meinerti, Error: Between MS = 2,1546, df = 8,0000

	Área	{1}	{2}	{3}	{4}
1	CSA2		0,692195	0,339619	0,064936
2	CSA1	0,692195		0,075225	0,014107
3	Saco	0,339619	0,075225		0,633901
4	Rasa	0,064936	0,014107	0,633901	

Ocorrem diferenças significativas entre as áreas CSA1 e a Ponta Rasa.

Para nitrogénio:

Normalidade: Shapiro-Wilk $W=,87645$, $p=,07895$

Homogeneidade (teste de Levene): Degrees of freedom for all F's: 3, 8

Tabela AII-39: Teste de Levene para $\delta^{15}\text{N}$ de N.meinerti.

	MS effect	MS error	F	p
$\delta^{15}\text{N}$	5,611654	0,926067	6,059661	0,018644

Distribuição não homogénea e não normal; fez-se com uma transformação logarítmica ($x' = \ln x$) dos dados e testaram-se os pressupostos de normalidade e homogeneidade novamente:

Normalidade: Shapiro-Wilk $W=,89187$, $p=,12457$

Homogeneidade (Teste de Levene): Degrees of freedom for all F's: 3, 8

Tabela All-40: Teste de Levene para $\delta^{15}\text{N}$ de N.meinerti.

	MS	MS	F	p
$\delta^{15}\text{N}$	0,016965	0,004411	3,846061	0,056655

A distribuição é, agora, homogénea e normal, podendo-se proceder com teste paramétrico ANOVA Univariada:

Tabela All-41: Teste ANOVA Univariada para $\delta^{15}\text{N}$ de N.meinerti.

	SS	Degr. of	MS	F	p
Intercept	69,44728	1	69,44728	3574,304	0,000000
"Var2"	1,48416	3	0,49472	25,462	0,000191
Error	0,15544	8	0,01943		

Existem diferenças significativas entre as áreas, prosseguir com teste de Tukey HSD, para saber em que área reside a diferença significativa:

Tabela All-42: Teste de Tukey HSD para $\delta^{15}\text{N}$ de N.meinerti, Error: Between MS = ,01943, df = 8,0000

	Var2	{1}	{2}	{3}	{4}
1	CSA1		0,003098	0,000932	0,993879
2	Saco	0,003098		0,626790	0,002358
3	Rasa	0,000932	0,626790		0,000766
4	CSA2	0,993879	0,002358	0,000766	

Existem diferenças significativas entre as áreas CSA1 e Saco, CSA1 e Ponta Rasa, CSA2 e o Saco e CSA2 e a Ponta Rasa.

7) *Paraesarma catenata*

Para Carbono:

Normalidade: Shapiro-Wilk $W=,81730$, $p=,03212$

Homogeneidade (teste de Levene): Degrees of freedom for all F's: 2, 6

Tabela AII-43: Teste de Levene para $\delta^{13}\text{C}$ de P.catenata.

	MS effect	MS error	F	p
$\delta^{13}\text{C}$	0,147376	0,131025	1,124797	0,384730

Distribuição não homogénea e não normal; transformação dos dados inútil, proceder ao teste não paramétrico Kruskal- Wallis ANOVA:

Tabela AII-44: Teste Kruskal-Wallis ANOVA Univariada: $H(2, N=9) = 5,600000$; $p = 0,0608$; para $\delta^{13}\text{C}$ de P.catenata,

	Code	Valid N	Sum of ranks
CSA2	101	3	12,00000
CSA1	102	3	24,00000
Saco	103	3	9,00000

Embora o teste estatístico de comparação de amostras múltiplas ter mostrado não haver diferenças significativas, os dados brutos parecem apresentar uma certa diferença. Resolveu-se então comparar as áreas duas a duas, tendo em conta que aumenta a probabilidade de errar.

Comparação entre CSA1 e CSA2

Normalidade: Shapiro-Wilk $W = 0,84993$, $p = 0,15721$

Homogeneidade (teste de Levene):

Tabela AII-45: Teste de Levene para $\delta^{13}\text{C}$ de P.catenata.

	Levene	df	p
Var2	2,190035	4	0,213006

Distribuição homogénea e normal, prosseguir com teste paramétrico t

Tabela AII-46: Teste t para $\delta^{13}\text{C}$ de P.catenata.

	Mean	Mean	t-value	df	p	Valid N	Valid N
--	------	------	---------	----	---	---------	---------

Var2	-20,6653	-15,7783	-7,31273	4	0,001860	3	3
------	----------	----------	----------	---	----------	---	---

Ocorrem diferenças significativas ($p < 0.05$) entre as áreas CSA1 e CSA2 em termos de $\delta^{13}\text{C}$.

Comparação entre a "não limpa" CSA1 e "limpa" (Saco)

Normalidade: Shapiro-Wilk $W = ,81900$, $p = ,08651$

Homogeneidade:

Tabela All-47: Teste de Levene para $\delta^{13}\text{C}$ de P.catenata.

	Levene	df	p
Var4	0,139313	4	0,727903

Distribuição homogênea e normal, prosseguir com teste paramétrico t

Tabela All-48: Teste t para $\delta^{13}\text{C}$ de P.catenata.

	Mean	Mean	t-value	df	p	Valid N	Valid N
Var4	14,77349	8,516709	12,58878	4	0,000229	3	3

Existem diferenças significativas ($p < 0.05$) entre a área "não limpa" CSA1 e a "limpa" Saco em termos de $\delta^{13}\text{C}$.

Comparação entre área "não limpa" CSA2 e "limpa" Saco

Normalidade: Shapiro-Wilk $W = ,94692$, $p = ,71528$

Homogeneidade (teste de Levene):

Tabela All-49: Teste de Levene para $\delta^{13}\text{C}$ de P.catenata.

	Levene	df	p
Var3	0,699888	4	0,449889

Distribuição homogênea e normal, prosseguir com teste paramétrico t

Tabela All-50: Teste t para $\delta^{13}\text{C}$ de P.catenata.

	Mean	Mean	t-value	df	p	Valid N	Valid N
Var3	-20,6653	-21,0683	0,547706	4	0,613021	3	3

Não existem diferenças significativas ($p > 0.05$) entre a área "não limpa" CSA2 e a "limpa" Saco em termos de $\delta^{13}\text{C}$.

Para nitrogénio:

Normalidade: Shapiro-Wilk $W = ,90063$, $p = ,25565$

Homogeneidade (teste de Levene): Degrees of freedom for all F's: 2, 6

Tabela All-51: Teste de Levene para $\delta^{15}\text{N}$ de P.catenata.

	MS effect	MS error	F	p
$\delta^{15}\text{N}$	1,372284	0,382700	3,585795	0,094523

Distribuição Homogénea e normal, proceder ao teste paramétrico ANOVA Univariada:

Tabela All-52: Teste ANOVA Univariada para $\delta^{15}\text{N}$ de P.catenata.

	SS	Degr. Of freedom	MS	F	p
Intercept	1384,672	1	1384,672	740,9568	0,000000
"Var2"	69,080	2	34,540	18,4829	0,002723
Error	11,213	6	1,869		

Existem diferenças significativas entre as áreas, prosseguir com teste de Tukey HSD, para saber em que área reside a diferença significativa:

Tabela All-53: Teste de Tukey HSD para $\delta^{15}\text{N}$ de P.catenata, Error: Between MS = 1,8688, df = 6,0000

	Área	{1}	{2}	{3}
1	CSA2		0,737162	0,007020
2	CSA1	0,737162		0,003470
3	Saco	0,007020	0,003470	

Ocorrem diferenças significativas entre as áreas CSA1 e o Saco e entre a CSA2 e o Saco.

8) *Perisesarma gutatum*

Para Carbono:

Normalidade: Shapiro-Wilk $W=,84085$, $p=,05903$

Homogeneidade (teste de Levene): Degrees of freedom for all F's: 2, 6

Tabela AII-54: Teste de Levene para $\delta^{13}\text{C}$ de *P.gutatum*.

	MS effect	MS error	F	p
$\delta^{13}\text{C}$	0,046690	0,100270	0,465642	0,648653

Distribuição Homogénea e normal, proceder ao teste paramétrico ANOVA Univariada:

Tabela AII-55: Teste ANOVA Univariada para $\delta^{13}\text{C}$ de *P.gutatum*.

	SS	Degr. Of freedom	MS	F	p
Intercept	3446,175	1	3446,175	10571,75	0,000000
"Área"	55,539	2	27,769	85,19	0,000039
Error	1,956	6	0,326		

Existem diferenças significativas entre as áreas, prosseguir com teste de Tukey HSD, para saber em que área reside a diferença significativa:

Tabela AII-56: Teste de Tukey HSD para $\delta^{13}\text{C}$ de *P.gutatum*, Error: Between MS = ,32598, df = 6,0000

	Área	{1}	{2}	{3}
1	CSA2		0,087099	0,000244
2	CSA1	0,087099		0,000367
3	Saco	0,000244	0,000367	

Ocorrem diferenças significativas entre as áreas CSA1 e o Saco e entre a CSA2 e o Saco.

Para nitrogénio:

Normalidade: Shapiro-Wilk $W=,83666$, $p=,05302$

Homogeneidade (teste de Levene): Degrees of freedom for all F's: 2, 6

Tabela AII-57: Teste de Levene para $\delta^{15}\text{N}$ de *P.gutatum*.

	MS	MS	F	p
Var5	0,256455	0,046712	5,490118	0,044119

Distribuição não homogénea e normal; transformação de dados inútil; Prosseguir com teste não paramétrico Kruskal-Wallis ANOVA:

Tabela AII-58: Teste Kruskal-Wallis ANOVA Univariada: $H(2, N=9) = 7,200000$ $p = ,0273$; para $\delta^{15}\text{N}$ de *P.gutatum*.

	Code	Valid	Sum of
CSA1	101	3	15,00000
Saco	102	3	6,00000
CSA2	104	3	24,00000

Existem diferenças significativas entre as áreas, segue-se o teste de comparações múltiplas (*Post-hoc*) para se descobrir que áreas apresentam diferença significativas entre si:

Tabela AII-59: Teste Post-hoc de Kruskal-Wallis para $\delta^{15}\text{N}$ de *P.gutatum*; $\alpha = 0.05$; $Z_{\text{valor.critico}} = 2.394$; valor critico para comparação = 5.3531.

área	Mean	CSA1	CSA2
CSA1	5.0000		
CSA2	8.0000	3.0000	
Saco	2.0000	3.0000	6.0000*

Existem diferenças significativas entre as áreas CSA2 e o Saco.

9) *Liza richardsonii*

Para carbono:

Normalidade: Shapiro-Wilk $W=,95241$, $p=,46401$

Homogeneidade (teste de Levene): Degrees of freedom for all F's: 2, 15

Tabela AII-60: Teste de Levene para $\delta^{13}\text{C}$ de *L.richardsonii*.

	MS effect	MS error	F	p
$\delta^{13}\text{C}$	0,023143	0,242054	0,095612	0,909366

Distribuição Homogénea e normal, proceder ao teste paramétrico ANOVA Univariada:

Tabela AII-60: Teste ANOVA Univariada para $\delta^{13}\text{C}$ de *L.richardsonii*.

	SS	Degr. Of freedom	MS	F	p
Intercept	4277,567	1	4277,567	9328,981	0,000000
"Área"	31,816	2	15,908	34,694	0,000002
Error	6,878	15	0,459		

Existem diferenças significativas entre as áreas, prosseguir com teste de Tukey HSD, para saber em que área reside a diferença significativa:

Tabela AII-61: Teste Tukey HSD para $\delta^{13}\text{C}$ de *L.richardsonii*, Error: Between MS = ,45852, df = 15,000

	Var2	{1}	{2}	{3}
1	CSA2		0,000928	0,001437
2	CSA1	0,000928		0,000178
3	Rasa	0,001437	0,000178	

Ocorrem diferenças significativas entre as áreas CSA1 e CSA2, entre a CSA1 e a Ponta Rasa e CSA2 e a Ponta Rasa.

Para nitrogénio:

Normalidade: Shapiro-Wilk $W=,84249$, $p=,00646$

Homogeneidade (teste de Levene): Degrees of freedom for all F's: 2, 15

Tabela All-62: Teste Tukey HSD para $\delta^{15}\text{N}$ de *L.richardsonii*.

	MS effect	MS error	F	p
$\delta^{15}\text{N}$	4,082182	0,672610	6,069171	0,011717

Distribuição não homogénea e normal; transformação de dados inútil; Prosseguir com teste não paramétrico Kruskal-Wallis ANOVA:

Tabela All-63: Teste Kruskal-Wallis ANOVA Univariada: $H(2, N=18) = 10,49812$ $p = ,0053$; para $\delta^{15}\text{N}$ de *L.richardsonii*.

	Code	Valid N	Sum of Ranks
CSA2	101	7	96,00000
CSA1	102	8	69,00000
Rasa	104	3	6,00000

Existem diferenças significativas entre as áreas, segue-se o teste de comparações múltiplas (*Post-hoc*) para se descobrir que áreas apresentam diferença significativas entre si:

Tabela All-64: Teste Post-hoc de Kruskal-Wallis Univariada para $\delta^{15}\text{N}$ de *L.richardsonii*; $\alpha = 0.05$; Critical $Z_{\text{value}} = 2.394$

Area	Mean	CSA1	CSA2
CSA1	8.6250		
CSA2	13.714	5.089	
Rasa	2.0000	6.625	11.714*

Ocorrem diferenças significativas entre as áreas CSA2 e Ponta Rasa.

10) *Cerithidea decollata*

Para Carbono:

Normalidade: Shapiro-Wilk $W=,86750$, $p=,06075$

Homogeneidade (teste de Levene): Degrees of freedom for all F's: 3, 8

Tabela All-65: Teste de Levene para $\delta^{13}\text{C}$ de C.decollata

	MS effect	MS error	F	p
$\delta^{13}\text{C}$	0,207523	0,150397	1,379839	0,317235

Distribuição Homogénea e normal, proceder ao teste paramétrico ANOVA Univariada:

Tabela All-66: Teste ANOVA Univariada para $\delta^{13}\text{C}$ de C.decollata

	SS	Degr. Of freedom	MS	F	p
Intercept	4395,080	1	4395,080	6997,222	0,000000
"Var2"	125,675	3	41,892	66,694	0,000005
Error	5,025	8	0,628		

Existem diferenças significativas entre as áreas, prosseguir com teste de Tukey HSD, para saber em que área reside a diferença significativa:

Tabela All-67: Teste Tukey HSD para $\delta^{13}\text{C}$ de C.decollata; Error: Between MS = ,62812, df = 8,0000

	Var2	{1}	{2}	{3}	{4}
1	CSA2		0,599078	0,003673	0,000231
2	CSA1	0,599078		0,018115	0,000234
3	Saco	0,003673	0,018115		0,000475
4	Rasa	0,000231	0,000234	0,000475	

Ocorrem diferenças significativas entre CSA1 e Saco, CSA1 e Ponta rasa, entre CSA2 e Saco, CSA2 e Ponta Rasa, e entre o Saco e a Ponta Rasa

Para Nitrogénio:

Normalidade: Shapiro-Wilk W=,77064, p=,00443

Homogeneidade (teste de Levene): Degrees of freedom for all F's: 3, 8

Tabela All-68: Teste de Levene para $\delta^{15}\text{N}$ de C.decollata

	MS effect	MS error	F	p
--	-----------	----------	---	---

$\delta^{15}\text{N}$	0,284492	0,227415	1,250983	0,354081
-----------------------	----------	----------	----------	----------

Distribuição homogénea e não normal, transformações inúteis; proceder ao teste não paramétrico Kruskal- Wallis ANOVA:

Kruskal- Wallis ANOVA: $H(3, N= 12) = 8,538462$ $p = ,0361$

Tabela All-69: Teste Kruskal-Wallis ANOVA Univariada para $\delta^{15}\text{N}$ de *C.decollata*

	Code	Valid N	Sum of Ranks
CSA2	101	3	30,00000
CSA1	102	3	27,00000
Saco	103	3	9,00000
Rasa	104	3	12,00000

Existem diferenças significativas entre as áreas, segue-se o teste de comparações múltiplas (*Post-hoc*) para se descobrir que áreas apresentam diferença significativas entre si:

Post-hoc de Kruskal-Wallis

Tabela All-70: Teste *Post-hoc* de Kruskal-Wallis ANOVA para $\delta^{15}\text{N}$ de *C.decollata*; $\alpha = 0.05$; Critical Z Value = 2.638; Valor crítico para comparação = 7.7668

Area	Mean	CSA1	CSA2	Rasa
CSA1	9.0000			
CSA2	10.000	1.000		
Rasa	4.0000	5.000	6.000	
Saco	3.0000	6.000	7.000	1.000

O teste estatístico de comparações múltiplas não é sensível o suficiente para apresentar as diferenças significativas entre as áreas, como os dados brutos parecem apresentar uma certa diferença, resolveu-se comparar as áreas duas a duas, tendo em conta que este processo aumenta a probabilidade de errar.

Comparação entre CSA1 e CSA2

Normalidade: Shapiro-Wilk $W = ,94480$, $p = ,69804$

Homogeneidade (teste de Levene):

Tabela All-71: Teste de Levene para $\delta^{15}\text{N}$ de C.decollata;

	Levene	df	p
$\delta^{15}\text{N}$	0,395354	4	0,563618

Distribuição homogénea e normal, prosseguir com teste paramétrico t

Tabela All-72: Teste t para $\delta^{15}\text{N}$ de C.decollata;

	Mean	Mean	t-value	df	p	Valid N	Valid N
$\delta^{15}\text{N}$	13,52267	13,96600	-0,454122	4	0,673291	3	3

Não ocorrem diferenças significativas ($p > 0.05$) entre as áreas CSA1 e CSA2 em termos de $\delta^{15}\text{N}$.

Comparação entre Saco e Ponta Rasa

Normalidade: Shapiro-Wilk $W = ,92797$, $p = ,56455$

Homogeneidade (teste de Levene):

Tabela All-73: Teste de Levene para $\delta^{15}\text{N}$ de C.decollata;

	Levene	df	p
$\delta^{15}\text{N}$	0,994506	4	0,375084

Distribuição homogénea e normal, prosseguir com teste paramétrico t

Tabela All-74: Teste t para $\delta^{15}\text{N}$ de C.decollata;

	Mean	Mean	t-value	df	p	Valid N	Valid N
$\delta^{15}\text{N}$	3,962333	3,814333	0,367712	4	0,731718	3	3

Não ocorrem diferenças significativas ($p > 0.05$) entre as áreas do Saco e da Ponta Rasa em termos de $\delta^{15}\text{N}$.

Comparação entre CSA1 e Saco

Normalidade: Shapiro-Wilk $W=,79301$, $p=,05080$

Homogeneidade (teste de Levene):

Tabela All-75: Teste de Levene para $\delta^{15}\text{N}$ de C.decollata;

	Levene	df	p
Var4	0,330973	4	0,595900

Distribuição homogénea e normal, prosseguir com teste paramétrico t

Tabela All-76: Teste t para $\delta^{15}\text{N}$ de C.decollata;

	Mean	Mean	t-value	df	p	Valid N	Valid N
Var4	13,52267	3,814333	14,68615	4	0,000125	3	3

Ocorrem diferenças significativas ($p<0.05$) entre as áreas CSA1 e do Saco em termos de $\delta^{15}\text{N}$.

Comparação entre CSA1 e Ponta Rasa

Normalidade: Shapiro-Wilk $W=,77389$, $p=,03379$

Homogeneidade (teste de Levene):

Tabela All-77: Teste de Levene para $\delta^{15}\text{N}$ de C.decollata;

	Levene	df	p
Var4	1,393774	4	0,303176

Distribuição homogénea e não normal, prosseguir com teste não paramétrico U de Mann-Whitney:

Tabela All-78: Teste U de Mann-Whitney para $\delta^{15}\text{N}$ de C.decollata;

	Rank Sum	Rank Sum	U	Z	p-level	Z	p-level	Valid N	Valid N
Var4	15,00000	6,000000	0,00	1,963961	0,049535	1,963961	0,049535	3	3

Ocorrem diferenças significativas ($p<0.05$) entre as áreas CSA1 e a Ponta Rasa em termos de $\delta^{15}\text{N}$.

Comparação entre CSA2 e Saco

Normalidade: Shapiro-Wilk $W=,79466$, $p=,05259$

Homogeneidade (teste de Levene):

Tabela All-79: Teste de Levene para $\delta^{15}\text{N}$ de C.decollata;

	Levene	df	p
Var4	3,004302	4	0,158073

Distribuição homogénea e normal, prosseguir com teste paramétrico t

Tabela All-80: Teste t para $\delta^{15}\text{N}$ de C.decollata;

	Mean	Mean	t-value	df	p	Valid N	Valid N
Var4	13,96600	3,962333	12,14860	4	0,000263	3	3

Ocorrem diferenças significativas ($p<0.05$) entre as áreas CSA2 e do Saco em termos de $\delta^{15}\text{N}$.

Comparação entre CSA2 e Ponta Rasa

Normalidade: Shapiro-Wilk $W=,81300$, $p=,07669$

Homogeneidade:

Tabela All-81: Teste de Levene para $\delta^{15}\text{N}$ de C.decollata;

	Levene	df	p
Var4	1,481554	4	0,290430

Distribuição homogénea e normal, prosseguir com teste paramétrico t:

Tabela All-82: Teste t para $\delta^{15}\text{N}$ de C.decollata;

	Mean	Mean	t-value	df	p	Valid N	Valid N
Var4	13,96600	3,814333	11,61864	4	0,000314	3	3

Ocorrem diferenças significativas ($p<0.05$) entre as áreas CSA2 e a Ponta Rasa em termos de $\delta^{15}\text{N}$.

11) *Littoraria scabra*

Para carbono:

Normalidade: Shapiro-Wilk $W=,92883$, $p=,36786$

Homogeneidade: Degrees of freedom for all F's: 3, 8

Tabela All-83: Teste de Levene para $\delta^{13}\text{C}$ de *L.scabra*.

	MS effect	MS error	F	p
$\delta^{13}\text{C}$	0,327004	0,123344	2,651145	0,120153

Distribuição Homogênea e normal, proceder ao teste paramétrico ANOVA Univariada:

ANOVA Univariada

Tabela All-84: Teste ANOVA Univariada para $\delta^{13}\text{C}$ de *L.scabra*.

	SS	Degr. Of freedom	MS	F	p
Intercept	6175,651	1	6175,651	7496,437	0,000000
"Var2"	4,869	3	1,623	1,970	0,197115
Error	6,590	8	0,824		

Não ocorrem diferenças significativas entre as áreas.

Para nitrogénio:

Normalidade: Shapiro-Wilk $W=,84582$, $p=,03261$

Homogeneidade: Degrees of freedom for all F's: 3, 8

Tabela All-85: Teste de Levene para $\delta^{15}\text{N}$ de *L.scabra*.

	MS effect	MS error	F	p
$\delta^{15}\text{N}$	0,263344	0,141407	1,862312	0,214292

Distribuição homogénea e não normal, transformações inúteis; proceder ao teste não paramétrico Kruskal- Wallis ANOVA:

Tabela All-86: Teste Kruskal-Wallis ANOVA Univariada $H(3, N= 12) = 9,666667$; $p = ,0216$, para $\delta^{15}N$ de L.scabra.

	Code	Valid N	Sum of Ranks
CSA2	101	3	33,00000
CSA1	102	3	24,00000
Saco	103	3	8,00000
Rasa	104	3	13,00000

Existem diferenças significativas entre as áreas, segue-se o teste de comparações múltiplas (*Post-hoc*) para se descobrir que áreas apresentam diferença significativas entre si:

Tabela All-87: Teste de Post hoc de Kruskal-Wallis ANOVA $\delta^{15}N$ de L.scabra; $\alpha = 0,05$; $Z_{\text{valor.critico}} = 2,638$; Valor critico para comparação = 7.7668.

Area	Mean	CSA1	CSA2	Rasa
CSA1	8.0000			
CSA2	11.000	3.000		
Rasa	4.3333	3.667	6.667	
Saco	2.6667	5.333	8.333*	1.667

Existem diferenças significativas entre as áreas CSA2 e o Saco.

12) Sedimento

Para Carbono:

Normalidade: Shapiro-Wilk $W = ,82554$, $p = ,01856$

Homogeneidade (teste de Levene): Degrees of freedom for all F's: 3, 8

Tabela All-88: Teste de Levene para $\delta^{13}C$ de sedimento.

	MS effect	MS error	F	p
$\delta^{13}C$	0,677322	0,106400	6,365785	0,016332

Distribuição não homogénea e não normal, transformações de dados inúteis, proceder ao teste não paramétrico Kruskal- Wallis ANOVA:

Tabela All-89: Teste de Kruskal- Wallis ANOVA: $H(3, N= 12) = 8,948718$
 $p=0,0300$, para $\delta^{13}C$ de sedimento.

	Code	Valid N	Sum of Ranks
CSA2	101	3	28,00000
CSA1	102	3	29,00000
Saco	103	3	14,00000
Rasa	104	3	7,00000

Existem diferenças significativas entre as áreas, segue-se o teste de comparações múltiplas (*Post-hoc*) para se descobrir que áreas apresentam diferença significativas entre si:

Tabela All-90: Teste de Post hoc de Kruskal-Wallis ANOVA $\delta^{15}N$ de L.scabra; $\alpha = 0.05$; $Z_{\text{valor.critico}} = 2.638$; Valor critico para comparação = 7.7668.

Area	Mean	CSA1	CSA2	Rasa
CSA1	9.6667			
CSA2	9.3333	0.3333		
Rasa	2.3333	7.3333	7.0000	
Saco	4.6667	5.0000	4.6667	2.3333

O teste estatístico de comparações múltiplas não é sensível o suficiente para apresentar as diferenças significativas entre as áreas, como os dados brutos parecem apresentar uma certa diferença, resolveu-se comparar as áreas duas a duas, tendo em conta que este processo aumenta a probabilidade de errar.

Comparação entre CSA1 e CSA2

Normalidade: Shapiro-Wilk $W=,91989$, $p=,50456$

Homogeneidade (teste de Levene):

Tabela All-91: Teste de Levene para $\delta^{13}C$ de sedimento.

	Levene	df	p
Var4	0,065778	4	0,810238

Distribuição homogénea e normal prosseguir com o teste paramétrico t:

Tabela AII-92: Teste t para $\delta^{13}\text{C}$ de sedimento.

	Mean	Mean	t-value	df	p	Valid N	Valid N
Var4	-20,4450	-20,5687	0,272772	4	0,798531	3	3

Não Ocorrem diferenças significativas ($p > 0.05$) entre as áreas CSA1 e CSA2 em termos de $\delta^{13}\text{C}$.

Comparação entre Ponta Rasa e Saco

Normalidade: Shapiro-Wilk $W = ,72098$, $p = ,01021$

Homogeneidade (teste de Levene):

Tabela AII-93: Teste de Levene para $\delta^{13}\text{C}$ de sedimento.

	Levene	df	p
13C	11,74614	4	0,026602

Distribuição não homogénea e não normal prosseguir com teste não paramétrico teste U de Mann – Whitney:

Tabela AII-94: Teste U de Mann-Whitney para $\delta^{13}\text{C}$ de sedimento.

	Rank Sum Rasa	Rank Sum Saco	U	Z	p-level	Z adjusted	p-level Adjusted	Valid N Rasa	Valid N Saco
13C	7,000000	14,00000	1,000000	-1,52753	0,126631	-1,52753	0,126631	3	3

Não existem diferenças significativas ($p > 0.05$) entre as áreas do Saco e da Ponta Rasa em termos de $\delta^{13}\text{C}$.

Comparação entre a área “não limpa” CSA1 e a “limpa” Ponta Rasa

Normalidade: Shapiro-Wilk $W = ,79160$, $p = ,04932$

Homogeneidade (teste de Levene):

Tabela All-95: Teste de Levene para $\delta^{13}\text{C}$ de sedimento.

	Levene	df	p
Var4	1,474150	4	0,291471

Distribuição homogénea e não normal \rightarrow teste não paramétrico teste U de Mann-Whitney:

Tabela All-96: Teste U de Mann-Whitney para $\delta^{13}\text{C}$ de sedimento.

	Rank Sum	Rank Sum	U	Z	p-level	Z	p-level	Valid N	Valid N
Var4	15,00000	6,000000	0,00	1,963961	0,049535	1,963961	0,049535	3	3

Existem diferenças significativas ($p < 0.05$) entre a área CSA1 e da Ponta Rasa em termos de $\delta^{13}\text{C}$.

Comparação entre a área "não limpa" CSA1 e a "limpa" Saco

Normalidade: Shapiro-Wilk $W = ,88665$, $p = ,30099$

Homogeneidade (teste de Levene):

Tabela All-97: Teste de Levene para $\delta^{13}\text{C}$ de sedimento.

	Levene	df	p
Var4	6,063079	4	0,069517

Distribuição homogénea e normal, prosseguir com o teste paramétrico t:

Tabela All-98: Teste t para $\delta^{13}\text{C}$ de sedimento.

	Mean	Mean	t-value	df	p	Valid N	Valid N
Var4	-20,4450	-22,8180	2,405048	4	0,073951	3	3

Não existem diferenças significativas ($p > 0.05$) entre a área CSA1 e a do Saco em termos de $\delta^{13}\text{C}$.

Comparação entre a área "não limpa" CSA2 e a "limpa" Ponta Rasa

Normalidade: Shapiro-Wilk $W=,78603$, $p=,04384$

Homogeneidade (teste de Levene):

Tabela All-99: Teste de Levene para $\delta^{13}\text{C}$ de sedimento.

	Levene	df	p
Var4	4,090508	4	0,113175

Distribuição homogénea e não normal, prosseguir com o teste não paramétrico teste U de Mann-Whitney:

Tabela All-100: Teste U de Mann-Whitney para $\delta^{13}\text{C}$ de sedimento.

	Rank Sum	Rank Sum	U	Z	p-level	Z	p-level	Valid N	Valid N
Var4	15,00000	6,000000	0,00	1,963961	0,049535	1,963961	0,049535	3	3

Existem diferenças significativas ($p>0.05$) entre a área CSA2 e da Ponta Rasa em termos de $\delta^{13}\text{C}$.

Comparação entre a área "não limpa" CSA2 e a "limpa" Saco

Normalidade: Shapiro-Wilk $W=,86430$, $p=,20442$

Homogeneidade (teste de Levene):

Tabela All-101: Teste de Levene para $\delta^{13}\text{C}$ de sedimento.

	Levene	df	p
Var4	5,966912	4	0,070999

Distribuição homogénea e normal, prosseguir com teste paramétrico t

Tabela All-102: Teste t para $\delta^{13}\text{C}$ de sedimento.

	Mean	Mean	t-value	df	p	Valid N	Valid N
Var4	-20,5687	-22,8180	2,269988	4	0,085729	3	3

Não existem diferenças significativas ($p>0.05$) entre a área CSA2 e a do Saco em termos de $\delta^{13}\text{C}$.

Para nitrogénio:

Normalidade: Shapiro-Wilk $W=,94365$, $p=,54678$

Homogeneidade (teste de Levene): Degrees of freedom for all F's: 3, 8

Tabela AII-103: Teste de Levene para $\delta^{15}\text{N}$ de sedimento.

	MS effect	MS error	F	p
$\delta^{15}\text{N}$	0,698401	0,455617	1,532866	0,279198

Distribuição Homogénea e normal, proceder ao teste paramétrico ANOVA Univariada:

ANOVA Univariada

Tabela AII-104: Teste ANOVA Univariada para $\delta^{15}\text{N}$ de sedimento.

	SS	Degr. Of freedom	MS	F	p
Intercept	1079,865	1	1079,865	355,4583	0,000000
"Área"	111,529	3	37,176	12,2373	0,002334
Error	24,304	8	3,038		

Existem diferenças significativas entre as áreas, prosseguir com teste de Tukey HSD, para saber em que área reside a diferença significativa:

Tukey HSD: Error: Between MS = 3,0380, $df = 8,0000$

Tabela AII-105: Teste Tukey HSD para $\delta^{15}\text{N}$ de sedimento.

	Área	{1}	{2}	{3}	{4}
1	CSA2		0,996394	0,026600	0,007820
2	CSA1	0,996394		0,019950	0,006024
3	Saco	0,026600	0,019950		0,789132
4	Rasa	0,007820	0,006024	0,789132	

Existem diferenças significativas entre as áreas CSA1 e Saco, CSA1 e Ponta Rasa, CSA2 e Saco e CSA2 e Ponta Rasa.

Tabela AII-106: Comparação estatística dos valores de $\delta^{13}\text{C}$ e $\delta^{15}\text{N}$ entre as 4 áreas para as diferentes espécies comuns. Testes estatísticos usados: ^a Teste ANOVA Univariada, ^b ANOVA Kruskal-Wallis. *p* significativo para $p < 0.05$; S-significativo; NS-não significativo. *Teste estatístico não apresentou diferenças, sendo *p* baixo, compararam-se as áreas duas a duas; ***Post-hoc* não detectou as diferenças, compararam-se as áreas duas a duas.

Espécies	Áreas				<i>p</i>		
	CSA1	CSA2	Saco	P.Rasa			
$\delta^{13}\text{C}$							
<i>A. marina</i>	-27,64	-27,30	-27,52	-24,87	0,0040	^a	S
<i>C. tagal</i>	-24,74	-	-25,15	-25,83	0,0553	^a	NS
<i>R. mucronata</i>	-26,65	-	-26,67	-24,64	0,0027	^a	S
<i>C. diffusa</i>	-27,45	-	-27,44	-26,14	0,0608	^b	NS
<i>S. Portulacastrum</i>	-24,75	-	-24,25	-21,91	0,0003	^a	S
<i>N. meinerti</i>	-19,55	-20,88	-23,04	-24,50	0,0138	^a	S
<i>P. catenata</i>	-15,78	-20,67	-21,07	-	0,0608	^b	NS*
<i>P. gutatum</i>	-18,46	-17,24	-23,01	-	0,0000	^a	S
<i>L. richardsonii</i>	-15,12	-16,76	-	-18,83	0,0000	^a	S
<i>C. decollata</i>	-16,84	-16,01	-19,39	-24,31	0,0000	^a	S
<i>L. scabra</i>	-22,40	-21,89	-23,63	-22,82	0,1971	^a	NS
Sedimento	-20,54	-20,57	-22,82	-24,90	0,0300	^b	S**
$\delta^{15}\text{N}$							
<i>A. marina</i>	10,35	12,57	4,59	4,41	0,0000	^a	S
<i>C. tagal</i>	6,83	-	0,50	4,08	0,0036	^a	S
<i>R. mucronata</i>	8,41	-	2,09	3,03	0,0004	^a	S
<i>C. diffusa</i>	8,32	-	8,84	4,54	0,0442	^a	S**
<i>S. Portulacastrum</i>	4,98	-	4,86	2,05	0,0286	^a	S
<i>N. meinerti</i>	15,48	16,28	8,40	7,33	0,0002	^a	S
<i>P. catenata</i>	14,77	13,92	8,52	-	0,0027	^a	S
<i>P. gutatum</i>	14,30	16,85	8,43	-	0,0273	^b	S
<i>L. richardsonii</i>	17,04	19,37	-	9,59	0,0053	^b	S
<i>C. decollata</i>	13,52	13,97	3,81	3,96	0,0361	^b	S**
<i>L. scabra</i>	7,82	9,70	0,47	1,71	0,0216	^b	S
Sedimento	15,86	12,35	7,14	5,81	0,0023	^a	S
TOC/TN							
Sedimento	10,4188	7,07124	5,49628	9,26438	0,0020	^a	S

ANEXO III – DADOS GERAIS DO IRMS CORRIGIDOS

id1	id2	Rt N2	Area N2	d15N	Area CO2	d13C	date	d15N blank	
								corrected	d15N final
1ª Análise									
cup 1 (vazio)	control	215,4	0,108	-10,537			11/08/05		
nitrogen 1	standard	208,1	23,715	0,188			11/08/05		
nitrogen 2	standard	208,2	23,593	0,147			11/08/05		
nitrogen 3	standard	207,7	34,015	0,25			11/08/05		
nitrogen 4	standard	206,8	31,385	0,289			11/08/05		
nitrogen 5	standard	207,3	28,464	0,275			11/08/05		
		avg		0,23					
		stdev		0,05					
		ref		0,42					
		diff		0,19					
sucrose 1	standard	208,9	0,45	0,882	20,201		11/08/05		
Sucrose 2	standard	214,6	0,121	1,617	32,045		11/08/05		
sucrose 3	standard	212,9	0,183		21,796		11/08/05		
sucrose 4	standard	212,8	0,115	-0,935	22,109		11/08/05		
sucrose 5	standard	211,4	0,178	-1,51	18,509		11/08/05		
	avg		0,15	0,01					
	stdev		0,03	1,28					
				avg					
				stdev					
				ref					
				diff					
A.marina 1	CSA2	209,8	3,523	12,621	16,566		11/09/05	13,37	-27,10
A.marina 2	CSA2	209,1	4,658	11,809	15,182		11/09/05	12,39	-26,86
A.marina 3	CSA2	209,7	3,331	11,242	15,207		11/09/05	11,96	-27,93
								12,57	-27,30
								0,72	0,56
								avg	
								stdev	
A.natalensis 1	CSA2	209,4	33,871	20,463	20,66		11/09/05	20,74	-18,35
A.natalensis 2	CSA2	208,2	41,946	19,103	26,121		11/09/05	19,36	-16,34
A.natalensis 3	CSA2	208,5	40,344	19,131	26,973		11/09/05	19,39	-16,62
								19,83	-17,10
								0,79	1,09
								avg	
								stdev	

ANEXO III

Trabalho de Licenciatura

id1	id2	Rt N2	Area N2	d15N	Area CO2	d13C	date	d15N blank		d15N final	d13C final
								corrected	stdev		
A.marina 1	CSA1	207,5	6,085	9,875	24,54		-27,215	10,12296005	10,31	-27,45	
	CSA1	208,6	4,813	9,364	19,026		-27,031	9,663236049	9,85	-27,26	
	CSA1	208,9	7,634	10,472	32,415		-27,969	10,6805482	10,87	-28,20	
								avg	10,35	-27,64	
								stdev	0,51	0,50	
Bruguiera 1	CSA1	208,3	4,248	8,376	37,648		-27,213	8,680508234	8,87	-27,44	
	CSA1	208,1	3,323	5,679	33,365		-33,485	5,945428003	6,14	-33,72	
	CSA1	209,4	2,583	6,31	25,705		-27,003	6,69613359	6,89	-27,23	
								avg	7,30	-29,46	
								stdev	1,41	3,68	
Ceriops 2	CSA1	207,5	4,161	5,968	35,59		-24,783	6,189526547	6,38	-25,01	
	CSA1	208,4	3,274	6,202	30,736		-24,646	6,497586407	6,69	-24,88	
	CSA1	208,2	5,02	7,025	38,467		-24,107	7,239847072	7,43	-24,34	
								avg	6,83	-24,74	
								stdev	0,54	0,36	
Chenolea 2	CSA1	210	4,157	6,278	12,159		-27,265	6,511292153	6,70	-27,50	
	CSA1	208,5	7,522	10,158	28,986		-27,179	10,36335982	10,55	-27,41	
	CSA1	208,8	5,943	7,326	18,841		-27,204	7,514373786	7,70	-27,43	
								avg	8,32	-27,45	
								stdev	2,00	0,04	
L.richardsonii 1	CSA1	206,9	62,37	14,239	34,906		-13,475	14,27312296	14,46	-13,71	
	CSA1	207	43,782	19,543	29,878		-14,709	19,60980253	19,80	-14,94	
	CSA1	208,1	30,029	18,939	20,91		-14,879	19,03353328	19,22	-15,11	
	CSA1	207,1	37,043	18,754	24,324		-14,958	18,82981283	19,02	-15,19	
	CSA1	208,3	45,517	17,489	27,076		-14,628	17,54649058	17,74	-14,86	
	CSA1	208,4	32,574	17,036	22,296		-15,08	17,11435398	17,30	-15,31	
	CSA1	209,5	29,39	13,764	19,279		-16,45	13,834185	14,02	-16,68	
								avg	17,37	-15,11	
								stdev	2,30	0,87	

id1	id2	Rt N2	Area N2	d15N	Area CO2	d13C	date	d15N blank		d13C final
								corrected	d15N final	
N.meinerti 1	CSA1	209,3	27,234	14,928	15,605		-20,225	15,01018607	15,20	-20,46
N.meinerti 3	CSA1	208,4	23,269	15,344	13,817		-20,017	15,44296634	15,63	-20,25
P.gutatum 1	CSA1	207,9	61,578	13,299	37,085		-18,182	13,33127904	13,52	-18,41
P.gutatum 2	CSA1	207,3	61,624	14,461	35,796		-17,692	14,49607602	14,69	-17,92
P.gutatum 3	CSA1	207,9	39,196	14,435	29,014		-18,812	14,49012389	14,68	-19,04
								avg	14,30	-18,46
								stdev	0,67	0,56
Rhizophora 1	CSA1	208,9	2,876	8,444	20,66		-26,135	8,905447557	9,10	-26,37
Rhizophora 2	CSA1	209,6	2,595	6,167	22,158		-26,77	6,542512573	6,73	-27,00
Rhizophora 3	CSA1	209,7	2,624	8,691	18,272		-26,344	9,214332407	9,40	-26,57
								avg	8,41	-26,65
								stdev	1,46	0,32
T.jarbua 1	CSA2	207,5	43,846	23,697	28,805		-19,19	23,77789303	23,97	-19,42
T.jarbua 2	CSA2	208,7	49,097	23,092	31,373		-18,384	23,16237026	23,35	-18,61
U.annulipes	CSA1	208	20,723	16,732	13,541		-13,058	16,85328251	17,04	-13,29
Análise de MOPS										
nitrogen 1	standard	208,1	23,715	0,188						11/08/05
nitrogen 2	standard	208,2	23,593	0,147						11/08/05
nitrogen 3	standard	207,7	34,015	0,25						11/08/05
nitrogen 4	standard	206,8	31,385	0,289						11/08/05
nitrogen 5	standard	207,3	28,464	0,275						11/08/05
			avg	0,2298						
			stdev	0,053961						
			ref	0,42						
			diff	0,1902						
sucrose 1	standard	208,9	0,45	0,882	20,201		-9,937			11/08/05
Sucrose 2	standard	214,6	0,121	1,617	32,045		-10,254			11/08/05

id1	id2	Rt N2	Area N2	d15N	Area CO2	d13C	date	d15N blank	
								corrected	d15N final
sucrose 3	standard	212,9	0,183		21,796		-10,159		d13C final
sucrose 4	standard	212,8	0,115	-0,935	22,109		-10,242		
sucrose 5	standard	211,4	0,178	-1,51	18,509		-10,254		
	avg		0,14925	0,0135			-10,1692		
	stdev		0,031372	1,279278			0,121410708		
				ref			-10,4		
				diff			-0,2308		
Filtro CSA1 1	CSA1	208,7	2,943	6,542	3,235		-18,359	6,89	7,1
Filtro CSA2 2	CSA2	209,8	5,899	12,488	7,745		-21,726	12,81	13,0
Filtro Saco 1	Saco	208,7	3,11	3,842	7,341		-25,008	4,03	4,2
Filtro Saco 2	Saco	209,3	2,674	3,55	6,278		-24,523	3,759059362	3,949259362
Filtro P.Rasa 1	P.Rasa	210,8	4,983	3,109	14,881		-25,547	3,204578666	3,394778666
Filtro P.Rasa 2	P.Rasa	209,2	5,037	3,637	14,07		-25,238	3,747645466	3,937845466
2ª Análise									
cup 1	control		0,136204	-5,745		0,572198	-13,276		11/11/05
cup 2	control		0,149067	8,635					11/11/05
nitrogen 1	standard		29,2894	0,072					11/11/05
nitrogen 2	standard		28,26172	-0,049					11/11/05
nitrogen 3	standard		42,37184	0,301					11/11/05
nitrogen 4	standard		40,44094	0,169					11/11/05
nitrogen 5	standard		35,74446	0,338					11/11/05
			avg	0,1662					
			stdev	0,160374					
			ref	0,42					
			diff	0,2538					
sucrose 1	standard		0,146988	-15,992		25,07675	-10,296		11/11/05
sucrose 2	standard		0,196656	16,887		22,172249	-10,411		11/11/05
sucrose 3	standard		0,137494	2,54		22,88359	-10,422		11/11/05
sucrose 4	standard		0,167262	-18,17		29,20793	-10,489		11/11/05
sucrose 5	standard					23,069229	-11,918		

id1	id2	Rt N2	Area N2	d15N	Area CO2	d13C	date	d15N blank		d15N final	d13C final
								corrected			
		avg	0,1621	-3,69625	avg	-10,7072					
		stdev	0,02617	16,54469	stdev	0,680405541					
		ref			ref	-10,4					
		diff			diff	0,3072					
Avicennia 1	Saco		4,741278	4,814	22,213349		-28,476	11/10/05	-10,3685867	-10,3550867	-28,476
Avicennia 2	Saco		4,628746	5,343	29,402974		-27,786	11/10/05	-9,798305772	-9,784805772	-27,786
Avicennia 3	Saco		5,399897	2,04	35,450268		-27,224	11/10/05	-12,77555728	-12,76205728	-27,224
		avg					avg		avg		avg
		stdev					stdev		stdev		stdev
Cerriops 1	Saco		1,811782	-1,197	20,803385		-25,631	11/10/05	26,07644529	26,08994529	-25,631
Cerriops 2	Saco		2,520034	-0,431	26,055682		-25,876	11/10/05	47,51523079	47,52873079	-25,876
Cerriops 3	Saco		2,314418	1,512	29,291482		-24,871	11/11/05	33,39396328	33,40746328	-24,871
		avg					avg		avg		avg
		stdev					stdev		stdev		stdev
Cerriops 1	P.Rasa		2,142335	-0,071	21,515949		-25,695	11/11/05	31,63145864	31,64495864	-25,695
Cerriops 2	P.Rasa		2,147275	32,911	22,563875		-26,446	11/11/05	-28,06552664	-28,05202664	-26,446
Cerriops 3	P.Rasa		1,400353	-3,075	20,385405		-26,271	11/11/05	21,62652597	21,64002597	-26,271
		avg					avg		avg		avg
		stdev					stdev		stdev		stdev
Chenolea 1	Saco		8,438121	8,851	29,605703		-27,682	11/11/05	7,291526277	7,305026277	-27,682
Chenolea 2	Saco		5,477809	10,038	18,433083		-27,622	11/11/05	8,169867344	8,183367344	-27,622
Chenolea 3	Saco		6,278734	5,938	22,951396		-27,941	11/11/05	-0,055629005	-0,042129005	-27,941
		avg					avg		avg		avg
		stdev					stdev		stdev		stdev
Filter 1	CSA2		10,26285	14,715	16,17647		-25,709	11/10/05	16,38390051	16,39740051	-25,709
Filter 2	CSA1		5,416035	9,091	6,556033		-21,391	11/10/05	5,654615958	5,668115958	-21,391
L.richardsonii	Saco		64,47798	8,229	40,143636		-16,328	11/11/05	8,064865925	8,078365925	-16,328
N.meinerti 2	CSA1		64,7875	15,296	37,059656		-18,246	11/10/05	15,5157306	15,5292306	-18,246
N.meinerti 1	Saco		51,38589	8,194	32,006354		-23,771	11/11/05	7,982723108	7,996223108	-23,771

id1	id2	Rt N2	Area N2	d15N	Area CO2	d13C	date	d15N Blank		d13C final
								corrected	d15N final	
N.meinerti 2	Saco		44,54586	8,394	27,268361		-22,804	8,163823608	8,177323608	-22,804
N.meinerti 3	Saco		55,74798	7,735	33,907952		-23,465	7,512136783	7,525636783	-23,465
								avg	7,90	-23,35
								stdev	0,34	0,49
Ramalina 1	Saco		3,668155	-9,903	20,797588		-28,39	-218,8098678	-218,7963678	-28,39
Ramalina 2	Saco		3,855188	-9,731	24,343727		-28,279	-143,0058232	-142,9923232	-28,279
Ramalina 3	Saco		4,794989	-10,474	28,753157		-28,428	-59,88420458	-59,87070458	-28,428
								avg	-140,55	-28,37
								stdev	79,49	0,08
Rhizophora 1	Saco		4,084673	2,004	43,345852		-27,208	-38,8250837	-38,8115837	-27,208
Rhizophora 2	Saco		2,400235	1,609	25,624969		-27,46	36,08335497	36,09685497	-27,46
Rhizophora 3	Saco		3,252112	1,031	24,063455		-26,271	432,1845468	432,1980468	-26,271
								avg	143,16	-26,98
								stdev	253,10	0,63
Rhizophora 1	P.Rasa		2,856401	2,799	17,386101		-24,506	62,05667437	62,07017437	-24,506
Rhizophora 2	P.Rasa		1,371596	1,27	18,335024		-25,297	18,22246718	18,23596718	-25,297
Rhizophora 3	P.Rasa		2,845734	2,815	18,805552		-25,047	60,66025806	60,67375806	-25,047
								avg	46,99	-24,95
								stdev	24,91	0,40
Salicornia 1	Saco		7,888948	3,263	19,040619		-27,193	-2,568143532	-2,554643532	-27,193
Salicornia 2	Saco		4,77447	3,578	10,238624		-26,393	-14,10770459	-14,09420459	-26,393
Salicornia 3	Saco		4,528633	2,761	8,896033		-25,973	-20,82737056	-20,81387056	-25,973
								avg	-12,49	-26,52
								stdev	9,24	0,62
U.inversa 1	Saco		27,11928	5,574	16,631484		-13,411	4,780327384	4,793827384	-13,411
U.inversa 2	Saco		36,20584	5,43	22,357925		-13,814	4,841106767	4,854606767	-13,814
U.inversa 3	Saco		48,60828	5,829	29,999079		-13,888	5,430771524	5,444271524	-13,888
								avg	5,03	-13,70
								stdev	0,36	0,26
L.richardsonii Big 1	CSA1		82,37953	14,431	50,859811		-15,453	14,56538022	14,57888022	-15,453

3ª Análise

nitrogen 1 standard 219,5 25,52223 0,12 11/11/05

AIII-6

Ana Alexandra Araújo do Rosário

id1	id2	Rt N2	Area N2	d15N	Area CO2	d13C	date	d15N blank		d13C final
								corrected	d15N final	
nitrogen 2	standard	218,6	35,64594	0,257			11/11/05			
nitrogen 3	standard	219,6	35,37028	0,304			11/11/05			
nitrogen 4	standard	219,3	33,50404	0,01			11/11/05			
nitrogen 5	standard	218,1	32,40399	0,031			11/11/05			
		avg	0,14							
		stdev	0,13							
		ref	0,42							
		diff	0,28							
sucrose 1	standard		227	0,198265	20,362068		-9,969	11/11/05		
sucrose 2	standard		227,5	0,122339	21,545355		-9,931	11/11/05		
sucrose 3	standard				21,834755		-9,982	11/11/05		
sucrose 4	standard				28,612993		-10,052	11/11/05		
sucrose 5	standard				xx		-9,801	11/11/05		
		avg	0,16	-6,29	avg		-9,95			
		stdev	0,04	2,96	stdev		0,09			
					ref		-10,4			
					diff		-0,45			
A.natalensis 1	P.Rasa	220,2	34,41565	9,485	21,389214		-17,271	11/11/05	9,60	-27,67
A.natalensis 2	P.Rasa	219,2	31,93319	9,427	20,539893		-17,407	11/11/05	9,54	-27,81
Avicennia 1	P.Rasa	218,9	6,379017	4,837	33,981908		-24,52	11/11/05	5,073151164	-34,92
Avicennia 2	P.Rasa	218,8	9,495497	3,723	26,221063		-23,333	11/11/05	3,876931137	-33,733
Avicennia 3	P.Rasa	221,3	5,570351	3,113	25,479218		-25,385	11/11/05	3,319564665	-35,785
									avg	-34,81
									stdev	1,03
Chenolea 1	P.Rasa	219,9	9,746916	3,761	21,536336		-25,445	11/11/05	3,859050605	-35,845
Chenolea 2	P.Rasa	218,4	10,99336	3,823	26,846194		-26,5	11/11/05	3,910770879	-36,9
Chenolea 3	P.Rasa	219,1	7,557817	4,65	17,049854		-25,105	11/11/05	4,79857821	-35,505
									avg	-36,08
									stdev	0,73
L.argentinacults 1	CSA2	218,3	47,17282	19,642	29,197294		-17,92	11/11/05	19,72211641	-28,32
L.argentinacults 2	CSA2	219,7	33,84515	18,825	20,400088		-17,548	11/11/05	18,93251222	-27,948

id1	id2	Rt N2	Area N2	d15N	Area CO2	d13C	d15N blank		date	d13C final
							corrected	d15N final		
L.argentinacults 3	CSA2	219,5	39,20867	18,225	24,163509	-18,177	18,3150018	11/11/05	18,36896252	-28,577
							avg		19,04	-28,28
							stdev		0,71	0,32
L.richardsonii 1	P.Rasa	219,2	28,24896	9,138	18,406521	-18,593	9,205519752	11/11/05	9,259480479	-28,993
L.richardsonii 2	P.Rasa	218,7	27,51227	9,388	17,398664	-17,902	9,458967478	11/11/05	9,512928205	-28,302
L.richardsonii 3	P.Rasa	219,2	29,13343	9,145	19,241272	-18,645	9,210500313	11/11/05	9,26446104	-29,045
							avg		9,35	-28,78
							stdev		0,14	0,41
N.meinerti 1	P.Rasa	218,9	47,21778	6,136	27,979538	-24,255	6,164932706	11/11/05	6,218893433	-34,655
N.meinerti 2	P.Rasa	221	43,58559	7,251	25,316113	-24,005	7,286925933	11/11/05	7,34088666	-34,405
N.meinerti 3	P.Rasa	219,9	33,25558	7,607	19,230451	-23,877	7,656061206	11/11/05	7,710021932	-34,277
							avg		7,09	-34,45
							stdev		0,78	0,19
N.meinerti 1	CSA2	219,5	54,23016	20,5	30,930983	-22,792	20,57248147	11/11/05	20,6264422	-33,192
N.meinerti 2	CSA2	220,1	45,22482	14,988	25,69035	-20,729	15,05319092	11/11/05	15,10715165	-31,129
N.meinerti 3	CSA2	219	34,55753	12,272	20,060005	-17,765	12,3433563	11/11/05	12,39731703	-28,165
							avg		16,04	-30,83
							stdev		4,19	2,53
P.catenata 1	P.Rasa	219,7	25,58378	6,644	15,154368	-19,196	6,701129213	11/11/05	6,75508994	-29,596
P.catenata 2	P.Rasa	219,2	33,03446	5,623	20,197355	-20,466	5,661643051	11/11/05	5,715603777	-30,866
P.catenata 1	CSA2	221,4	50,35841	11,672	30,314637	-21,141	11,7187592	11/11/05	11,77271993	-31,541
P.catenata 2	CSA2	219,3	48,56036	13,086	29,256089	-20,449	13,13969908	11/11/05	13,19365981	-30,849
P.catenata 3	CSA2	219,2	32,67872	15,947	20,469016	-19,047	16,04260852	11/11/05	16,09656925	-29,447
							avg		13,69	-30,61
							stdev		2,20	1,07
P.gutatum 1	P.Rasa	220,6	49,48786	6,82	29,722065	-23,707	6,850069847	11/11/05	6,904030574	-34,107
P.gutatum 2	P.Rasa	220,5	41,33092	6,566	25,537666	-23,354	6,60093137	11/11/05	6,654892096	-33,754
Ramalina 1	P.Rasa	221,1	4,126739	-9,202	24,964537	-27,622	-9,548737528	11/11/05	-9,494776802	-38,022
Ramalina 2	P.Rasa	222,4	4,21256	-7,932	27,344232	-27,498	-8,21533102	11/11/05	-8,161370294	-37,898

id1	id2	Rt N2	Area N2	d15N	Area CO2	d13C	date	d15N blank		d15N final	d13C final
								corrected	avg		
Ramalina 3	P. Rasa	221,5	3,51621	-8,459	22,489628	-27,333	11/11/05	-8,829534508	-8,81	-8,775573782	-37,733
								avg			-37,88
								stdev	0,67		0,14
U. annulipes 1	P. Rasa	218,5	26,62927	6,096	16,206891	-18,201	11/11/05	6,147183476	6,201144203		-28,601
U. annulipes 2	P. Rasa	219,5	30,77345	6,677	18,726199	-18,928	11/11/05	6,724630802	6,778591528		-29,328
U. annulipes 3	P. Rasa	220	33,2379	5,708	20,382508	-19,088	11/11/05	5,746862914	5,80082364		-29,488
								avg	6,26		-29,14
								stdev	0,49		0,47
U. inversa 1	P. Rasa	218,3	42,25835	8,073	25,938523	-17,403	11/11/05	8,11353612	8,167496847		-27,803
U. inversa 2	P. Rasa	219,7	46,8792	7,858	28,734487	-18,284	11/11/05	7,89370581	7,947666537		-28,684
U. inversa 3	P. Rasa	219,4	38,13283	8,135	23,372721	-17,908	11/11/05	8,180232982	8,234193708		-28,308
								avg	8,12		-28,27
								stdev	0,15		0,44

4ª Análise

nitrogen 1	standard	219,1	28,60662	0,186							
nitrogen 2	standard	220,3	28,23858	0,38							
nitrogen 3	standard	218,7	30,74822	0,276							
			avg	0,28							
			stdev	0,10							
			ref	0,42							
			diff	0,14							
sucrose 1	standard				28,837431		-10,13	11/16/05			
sucrose 2	standard				19,512914		-9,938	11/16/05			
sucrose 3	standard				19,124607		-9,834	11/16/05			
			avg				-9,967333333				
			stdev				0,150164354				
			ref				-10,4				
			diff				-0,432666667				
sediment 1	CSA1	3,68	6,049203	2,987	2,961701		-20,827	11/16/05		3,28	-30,99
sediment 2	CSA1	3,22	4,153806	9,645	3,404271		-21,955	11/16/05		9,93	-32,11
sediment 3	CSA1	2,39	2,259599	12,61	2,246018		-22,398	11/16/05		12,90	-32,56

id1	id2	Rt N2	Area N2	d15N	Area CO2	d13C	date	d15N blank		d15N final	d13C final
								corrected	stdev		
sediment 1	CSA2	3,26	3,29477	11,312	4,294388		-19,715	11,60	8,70	-31,89	
	CSA2	2,11	2,357491	13,975	2,985417		-20,78	14,26	4,93	0,81	
	CSA2	3,83	3,737988	11,332	5,220171		-19,913	11,62			
sediment 2	Saco	6,27	1,460488	6,662	1,372644		-24,256	6,95	12,50	-30,30	
	Saco	5,64	1,675734	6,01	1,916577		-21,434	6,30	1,53	0,57	
	Saco	5,06	1,367276	8,328	1,366631		-21,466	8,62			
sediment 3	P.Rasa	4,25	1,31951	7,124	1,777823		-24,618	7,41	7,29	-32,54	
	P.Rasa	5,02	1,198948	4,408	2,111928		-24,212	4,70	1,20	1,62	
	P.Rasa	6,16	1,834212	5,487	3,829065		-24,557	5,78			
Cerithidea decollata 1	CSA1	219,4	39,96932	14,352	26,262202		-15,284	14,64	5,96	-34,78	
	CSA1	219	26,77613	12,413	18,553773		-17,703	12,70	1,37	0,22	
	CSA1	219,5	30,23902	13,385	21,236745		-16,232	13,67			
Littoraria scabra 1	P.Rasa	219,7	17,96141	2,185	15,542285		-21,796	2,47	13,67	-26,57	
	P.Rasa	218,9	16,73834	2,104	16,545383		-22,557	2,39	0,97	1,22	
	P.Rasa	218,3	30,14355	0,429	25,382857		-22,801	0,72			
L.richardsonii 1	CSA2	220,9	42,26634	16,605	26,493948		-16,489	16,73557268	1,86	-32,54	
	CSA2	219,5	37,56711	17,788	23,851488		-16,695	18,08	0,99	0,52	
	CSA2	219,8	39,95893	19,761	25,410676		-16,073	20,05	16,68161196	-26,889	
	CSA2	218,8	48,12207	19,303	29,511346		-15,419	19,59			
	CSA2	218	34,16318	20,605	21,4052		-16,083	20,89			
	CSA2	218,4	49,24356	20,246	31,417452		-17,241	20,54			
	CSA2	219,3	31,29349	20,061	19,238976		-16,276	20,35			

id1	id2	Rt N ²	Area N2	d15N	Area CO2	d13C	date	d15N blank		d13C final
								corrected	d15N final	
Sucrose 1	standard	222,6	0,83634	0,423	43,801527		-18,471 11/17/05			
Sucrose 2	standard	225	0,147734	15,391	23,336018		-11,176 11/17/05			
Sucrose 3	standard	225,2	0,229405	6,609	20,929251		-10,807 11/17/05			
					avg		-10,9915			
					stdev		0,260922402			
					ref		-10,4			
					diff		0,5915			
Sesuvium 1	CSA1	219,6	7,039306	3,626	15,394768		-25,583 11/17/05		3,9010	-35,8250
Sesuvium 2	CSA1	219,7	6,953886	5,233	14,128548		-25,016 11/17/05		5,5080	-35,2580
Sesuvium 3	CSA1	219,2	10,41335	6,8	22,594037		-25,412 11/17/05		7,0750	-35,6540
								avg	5,4947	-35,5790
								stdev	1,5870	0,2908
Sesuvium 1	Saco	220,9	7,418034	6,308	15,999378		-24,872 11/17/05		6,5830	-35,1140
Sesuvium 2	Saco	219,2	7,91124	4,627	16,90919		-25,175 11/17/05		4,9020	-35,4170
Sesuvium 3	Saco	219	8,157977	4,388	18,473973		-24,465 11/17/05		4,6630	-34,7070
								avg	5,3827	-35,0793
								stdev	1,0464	0,3563
Salicornia 1	P.rasa	218,6	4,173688	6,001	15,606468		-27,189 11/17/05		6,2760	-37,4310
Salicornia 2	P.rasa	219,2	3,847009	5,906	16,303863		-27,151 11/17/05		6,1810	-37,3930
Salicornia 3	P.rasa	220	5,996115	4,376	21,260293		-28,129 11/17/05		4,6510	-38,3710
								avg	5,7027	-37,7317
								stdev	0,9120	0,5540
Grass 1	Saco	218,8	3,887571	2,959	16,510849		-13,654 11/17/05		3,2340	-23,8960
Grass 2	Saco	220,1	6,045396	3,005	25,211156		-13,929 11/17/05		3,2800	-24,1710
Grass 3	Saco	218,3	4,353588	3,858	18,521318		-13,766 11/17/05		4,1330	-24,0080
								avg	3,5490	-24,0250
								stdev	0,5063	0,1383
Grass 1	P.rasa	218,6	3,941412	2,656	22,468971		-13,434 11/17/05		2,9310	-23,6760
Grass 2	P.rasa	220,6	4,465895	2,625	19,846512		-13,323 11/17/05		2,9000	-23,5650
Grass 3	P.rasa	219,5	5,125176	2,637	23,017801		-13,737 11/17/05		2,9120	-23,9790
								avg	2,9143	-23,7400
								stdev	0,0156	0,2143

id1	id2	Rt N2	Area N2	d15N	Area CO2	d13C	date	d15N blank		d13C final
								corrected	d15N final	
Littoraria 1	CSA2	219,1	21,43108	9,723	18,767208	-23,053	11/17/05		9,980	-33,2950
Littoraria 2	CSA2	218,2	22,23976	10,071	20,323026	-22,121	11/17/05		10,3460	-32,3630
Littoraria 3	CSA2	219,4	27,61792	10,044	22,336121	-22,281	11/17/05		10,3190	-32,5230
								avg	10,2210	-32,7270
								stdev	0,1936	0,4984
Cerithidea 1	Saco	219,2	20,03351	3,512	14,731317	-19,613	11/17/05		3,7870	-29,8550
Cerithidea 2	Saco	218,6	12,29953	4,715	8,597154	-19,87	11/17/05		4,9900	-30,1120
Cerithidea 3	Saco	218	15,6629	3,947	10,731906	-20,462	11/17/05		4,2220	-30,7040
								avg	4,3330	-30,2237
								stdev	0,6091	0,4354
Cerithidea 1	CSA2	218,9	30,24879	15,67	21,653554	-16,144	11/17/05		15,9450	-26,3860
Cerithidea 2	CSA2	218,7	31,30167	14,045	22,858074	-16,735	11/17/05		14,3200	-26,9770
Cerithidea 3	CSA2	218,7	21,66777	12,914	15,732724	-16,928	11/17/05		13,1890	-27,1700
								avg	14,4847	-26,8443
								stdev	1,3854	0,4085
Shrimp one 1	CSA1	217,9	26,92608	20,218	16,808596	-17,467	11/17/05		20,4930	-27,7090
Shrimp one 2	CSA1	219,2	45,55277	18,823	27,91734	-16,422	11/17/05		19,0980	-26,6640
Shrimp two 1	CSA1	218,6	33,2403	19,382	20,792403	-16,329	11/17/05		19,6570	-26,5710
Shrimp two 2	CSA1	219,6	52,33891	18,608	32,844445	-17,364	11/17/05		18,8830	-27,6060
Shrimp one 1	CSA2	217,4	49,81026	21,751	30,518048	-18,196	11/17/05		22,0260	-28,4380
Shrimp one 2	CSA2	218,4	26,83886	21,642	16,807628	-18,518	11/17/05		21,9170	-28,7600
Shrimp one 3	CSA2	217,9	34,04857	20,956	20,974936	-18,011	11/17/05		21,2310	-28,2530
								avg	21,7247	-28,4837
								stdev	0,4310	0,2566
Shrimp four 1	P.rasa	218,6	32,44425	8,551	20,611067	-20,624	11/17/05		8,8260	-30,8660
Shrimp four 2	P.rasa	217,6	27,56435	9,147	18,217878	-21,23	11/17/05		9,4220	-31,4720
Shrimp four 3	P.rasa	219	42,40179	8,38	26,411134	-18,751	11/17/05		8,6550	-28,9930
								avg	8,9677	-30,4437
								stdev	0,4026	1,2923
Shrimp four 1	Saco	218,2	44,2919	7,305	28,405798	-20,054	11/17/05		7,5800	-30,2960
Shrimp four 2	Saco	218,5	33,84224	7,843	21,286979	-19,585	11/17/05		8,1180	-29,8270

ANEXO III

Trabalho de Licenciatura

id1	id2	Rt N2	Area N2	d15N	Area CO2	d13C	date	d15N blank		d13C final
								corrected	d15N final	
Shrimp four 3	Saco	217,2	31,37399	7,341	19,77693	-20,686	11/17/05			
ceriops 1	p.rasa	220,1	6,169997	2,614				avg	7,6160	-30,9280
ceriops 2	p.rasa	219,8	6,582746	4,27				stddev	7,7713	-30,3503
ceriops 3	p.rasa	218,7	3,691691	6,082					0,3008	0,5525
									2,89	
									4,55	
									6,36	
									4,60	
									1,734584677	
6ª Análise										
blank Ag 1			0,456936			-8,226				
blank Ag 2			0,428049			-3,252				
blank Ag 3			0,460369			-21,436				
blank Ag 4			0,49245			-16,959				
blank Ag 5			0,758896		3,059046	-46,365	-25,228			
blank Ag 6			0,416853		0,222064	-8,214	-46,993			
blank Ag 7			0,483126			-8,243				
blank Ag 8			0,47771			-9,631				
blank Ag 9			0,435419			-7,551				
		Avg	0,462008		0	-10,75686	0			
		Stdev	0,026121		0	1,05923	0			
std C1			0,221147		32,094789	476,9825	-9,868			
std C2			0,169005		22,466892	417,7486	-9,659			
std C3			0,237221		50,440335	600,1367	-10,162			
std N1			99,71337		0	0,116146				
std N2			73,45591		0	0,198474				
std N3			133,5613		0	0,275029				
		avg	0,19655				-9,896333333			
		ref	0,42				-10,4			
		diff	0,22345				-0,503666667			
sediment 1	CSA1		9,292876		16,840	9,54	-19,90		10,60	10,82
sediment 2	CSA1		9,396391		17,915	14,06	-20,51		15,34	15,56

id1	id2	Rt N2	Area N2	d15N	Area CO2	d13C	date	d15N blank		d13C final
								corrected	d15N final	
sediment 3	CSA1		7,21449	9,92	12,494		-19,42	11,33	11,56	-19,92
shrimp 3-1	Saco		124,3391	9,21	80,523		-19,11		2,55	0,54
shrimp 3-2	Saco		119,1793	9,67	78,069		-19,91	9,28	9,51	-19,61
shrimp 3-3	Saco		126,9719	9,85	82,689		-20,67	9,75	9,98	-20,41
								9,92	10,15	-21,17
									9,88	-20,40
P. gutattum 1	Saco		163,8848	8,07	103,247		-22,51		0,33	0,78
P. gutattum 2	Saco		240,1534	8,24	153,565		-22,87	8,13	8,35	-23,01
P. gutattum 3	Saco		179,4108	8,16	108,314		-22,14	8,27	8,50	-23,37
								8,21	8,44	-22,65
									8,43	-23,01
									0,07	0,36
P. catenata 1	Saco		176,7137	7,63	112,905		-20,50	7,67	7,90	-21,01
P. catenata 2	Saco		114,7475	8,11	77,434		-21,29	8,19	8,41	-21,79
P. catenata 3	Saco		85,13112	8,91	53,913		-19,90	9,02	9,24	-20,40
									8,52	-21,07
									0,68	0,70
P. gutattum 1	CSA2		114,5414	15,63	75,768		-16,00	15,74	15,96	-16,50
P. gutattum 2	CSA2		148,1313	16,83	94,732		-17,45	16,92	17,14	-17,95
P. gutattum 3	CSA2		139,183	17,13	87,324		-16,75	17,22	17,45	-17,25
									16,85	-17,24
									0,78	0,73
P. catenata 1	CSA1		73,65219	14,83	52,600		-15,08	14,99	15,21	-15,58
P. catenata 2	CSA1		52,17248	13,74	35,046		-15,79	13,96	14,18	-16,29
P. catenata 3	CSA1		92,07108	14,58	71,107		-14,96	14,71	14,93	-15,46
									14,77	-15,78
									0,53	0,45
M. depressus 1	CSA1		60,38427	14,15	43,484		-13,46	14,34	14,56	-13,96
M. depressus 2	CSA1		53,85558	14,28	39,484		-13,74	14,49	14,72	-14,25
M. depressus 3	CSA1		77,15001	13,57	68,337		-11,51	13,72	13,94	-12,02
									14,41	-13,41
									0,41	1,21